



**МИНИСТЕРСТВО
СТРОИТЕЛЬСТВА И ЖИЛИЩНО-КОММУНАЛЬНОГО
ХОЗЯЙСТВА РОССИЙСКОЙ ФЕДЕРАЦИИ
(МИНСТРОЙ РОССИИ)**

ПРИКАЗ

от «20» декабря 2022 г.

№ 9092/пф

Москва

**Об утверждении Изменения № 2 к СП 367.1325800.2017
«Здания жилые и общественные. Правила проектирования
естественного и совмещенного освещения»**


В соответствии с Правилами разработки, утверждения, опубликования, изменения и отмены сводов правил, утвержденными постановлением Правительства Российской Федерации от 1 июля 2016 г. № 624, подпунктом 5.2.9 пункта 5 Положения о Министерстве строительства и жилищно-коммунального хозяйства Российской Федерации, утвержденного постановлением Правительства Российской Федерации от 18 ноября 2013 г. № 1038, пунктом 20 Плана разработки и утверждения сводов правил и актуализации ранее утвержденных сводов правил на 2022 г., утвержденного приказом Министерства строительства и жилищно-коммунального хозяйства Российской Федерации от 8 декабря 2021 г. № 909/пр (в редакции приказов Министерства строительства и жилищно-коммунального хозяйства Российской Федерации от 28 марта 2022 г. № 199/пр, от 1 апреля 2022 г. № 235/пр, от 15 апреля 2022 г. № 289/пр, от 7 июля 2022 г. № 553/пр, от 20 сентября 2022 г. № 770/пр), **п р и к а з ы в а ю:**

1. Утвердить и ввести в действие через 1 месяц со дня издания настоящего приказа прилагаемое Изменение № 2 к СП 367.1325800.2017 «Здания жилые и общественные. Правила проектирования естественного и совмещенного освещения», утвержденному приказом Министерства строительства и жилищно-коммунального хозяйства Российской Федерации от 5 декабря 2017 г. № 1618/пр.
2. Департаменту градостроительной деятельности и архитектуры Министерства строительства и жилищно-коммунального хозяйства Российской Федерации:

а) в течение 15 дней со дня издания приказа направить утвержденное Изменение № 2 к СП 367.1325800.2017 «Здания жилые и общественные. Правила проектирования естественного и совмещенного освещения» на регистрацию в федеральный орган исполнительной власти в сфере стандартизации;

б) обеспечить опубликование на официальном сайте Министерства строительства и жилищно-коммунального хозяйства Российской Федерации в информационно-телекоммуникационной сети «Интернет» утвержденного Изменения № 2 к СП 367.1325800.2017 «Здания жилые и общественные. Правила проектирования естественного и совмещенного освещения» в электронно-цифровой форме в течение 10 дней со дня регистрации свода правил федеральным органом исполнительной власти в сфере стандартизации.

Министр



И.Э. Файзуллин

УТВЕРЖДЕНО
приказом Министерства строительства и
жилищно-коммунального хозяйства
Российской Федерации
от «20» декабря 2022 г. № 1092/пр

ИЗМЕНЕНИЕ № 2 К СП 367.1325800.2017
«ЗДАНИЯ ЖИЛЫЕ И ОБЩЕСТВЕННЫЕ.
ПРАВИЛА ПРОЕКТИРОВАНИЯ ЕСТЕСТВЕННОГО
И СОВМЕЩЕННОГО ОСВЕЩЕНИЯ»

Изменение № 2 к СП 367.1325800.2017

ОКС 91.160.01

Изменение № 2 к СП 367.1325800.2017 Здания жилые и общественные. Правила проектирования естественного и совмещенного освещения

Утверждено и введено в действие приказом Министерства строительства и жилищно-коммунального хозяйства Российской Федерации (Минстрой России) от 20 декабря 2022 г. № 1092/пр

Дата введения – 2023–01–21

Содержание

Раздел 8. Дополнить наименованием подраздела 8.7 в следующей редакции:

«8.7 Расчет КЕО от световодов естественного света в общественных и жилых зданиях.....».

Приложение А. Наименование. Изложить в новой редакции:

«Приложение А Методика расчета естественного освещения жилых и общественных помещений.....».

Дополнить наименованием приложения В в следующей редакции:

«Приложение В Расчет КЕО от световодов естественного света инженерным методом

Библиография. Исключить.».

Введение

Дополнить пятым абзацем в следующей редакции:

«Изменение № 2 к СП 367.1325800.2017 разработано авторским коллективом федерального государственного бюджетного учреждения «Научно-исследовательский институт строительной физики Российской академии архитектуры и строительных наук» (канд. техн. наук *И.А. Шмаров*, *В.В. Земцов*, *Л.В. Бражникова*, канд. техн. наук *Е.В. Коркина*) и ООО «ЦЕРЕРА-ЭКСПЕРТ»

В НАБОР

(Е.А. Литвинская), при участии ФГБОУ ВО МГСУ (А.К. Соловьев), ООО «РусКЕО» (А.В. Нахалов), ООО «СОЛАРЖИ 18» (А.И. Стерхов).».

1 Область применения

Первый абзац. Заменить слова: «работы зрения» на «зрительных работ».

Дополнить область применения вторым абзацем в следующей редакции:

«Проектируемые и реконструируемые здания не должны ухудшать существующего положения помещений окружающей застройки в пределах нормируемых значений.».

2 Нормативные ссылки

СП 50.13330.2012. Заменить слова «(с изменением № 1)» на «(с изменениями № 1, № 2)».

СП 52.13330.2016. Заменить слова: «(с изменением № 1)» на «(с изменениями № 1, № 2)».

СП 363.1325800.2017. Дополнить ссылку словами: «(с изменением № 1)».

СП 370.1325800.2017. Дополнить ссылку словами: «(с изменением № 1)».

Заменить ссылочные документы:

«ГОСТ 23166–99 Блоки оконные. Общие технические условия» на «ГОСТ 23166–2021 Конструкции оконные и балконные светопрозрачные ограждающие. Общие технические условия»;

«СП 54.13330.2016 «СНиП 31-01-2003 Здания жилые многоквартирные» (с изменениями № 1, № 2, № 3)» на «СП 54.13330.2022 «СНиП 31-01-2003 Здания жилые многоквартирные»»;

«СП 118.13330.2012 «СНиП 31-06-2009 Общественные здания и сооружения» (с изменениями № 1, № 2, № 3, № 4)» на «СП 118.13330.2022 «СНиП 31-06-2009 Общественные здания и сооружения» (с изменением № 1)»;

«СП 131.13330.2018 «СНиП 23-01-99* Строительная климатология» на «СП 131.13330.2020 «СНиП 23-01-99* Строительная климатология» (с изменением № 1)»;

«СП 426.1325800.2018 Конструкции фасадные светопрозрачные зданий и сооружений. Правила проектирования» на «СП 426.1325800.2020 Конструкции ограждающие светопрозрачные зданий и сооружений. Правила проектирования».

Исключить нормативные ссылки:

«СанПиН 2.2.1/2.1.1.1278–03 Гигиенические требования к естественному, искусственному и совмещенному освещению жилых и общественных зданий»;

«СанПиН 2.2.1/2.1.1.2585–10 Изменения и дополнения № 1 к санитарным правилам и нормам СанПиН 2.2.1/2.1.1.1278–03 «Гигиенические требования к естественному, искусственному и совмещенному освещению жилых и общественных зданий»»;

«СанПиН 2.2.4.3359–16 Санитарно-эпидемиологические требования к физическим факторам на рабочих местах»;

«СанПиН 2.4.2.2821–10 Санитарно-эпидемиологические требования к условиям и организации обучения в общеобразовательных учреждениях».

Дополнить нормативными ссылками в следующей редакции:

«СанПиН 1.2.3685–21 Гигиенические нормативы и требования к обеспечению безопасности и (или) безвредности для человека факторов среды обитания»;

«СП 2.4.3648–20 Санитарно-эпидемиологические требования к организациям воспитания и обучения, отдыха и оздоровления детей и молодежи».

4 Обозначения

После обозначения $r_{ф.н}$ дополнить обозначением r_2 и пояснениями к нему в следующей редакции:

« r_2 – коэффициент учитывающий повышение КЕО при верхнем освещении благодаря свету, отраженному от поверхностей помещения;».

После обозначения β_v дополнить обозначением γ и пояснениями к нему в следующей редакции:

« γ – угол, под которым видна середина участка неба из расчетной точки на поперечном разрезе помещения, градусы;».

Обозначение θ и пояснения к нему. Исключить.

5 Общие положения

Пункт 5.1. Первый абзац. Заменить ссылки: «СанПиН 2.2.4.3359, СанПиН 2.2.1/2.1.1.1278» на «СанПиН 1.2.3685».

6 Естественное освещение

6.1 Выбор значений КЕО

Пункт 6.1.3. Заменить ссылки: «СанПиН 2.2.4.3359, СанПиН 2.2.1/2.1.1.1278, СанПиН 2.2.1/2.1.1.2585» на «СанПиН 1.2.3685».

8 Расчет естественного освещения

Пункт 8.1. Дополнить вторым абзацем в следующей редакции:

«Для освещения жилых и общественных зданий применяют преимущественно боковое освещение. В случае технико-экономической целесообразности применяют верхнее и комбинированное освещение.».

8.2 Предварительный расчет площади световых проемов и КЕО при боковом освещении

Пункт 8.2.1. Первый абзац. Заменить слова: «помещений жилых зданий» на «жилых помещений»; «кабинетов и офисов» на «административных помещений»; дополнить слово: «учебных» словами: «классов и».

Рисунки 8.1–8.3. Изложить в новой редакции:

«

$S_{c.o}/S_{п}, \%$

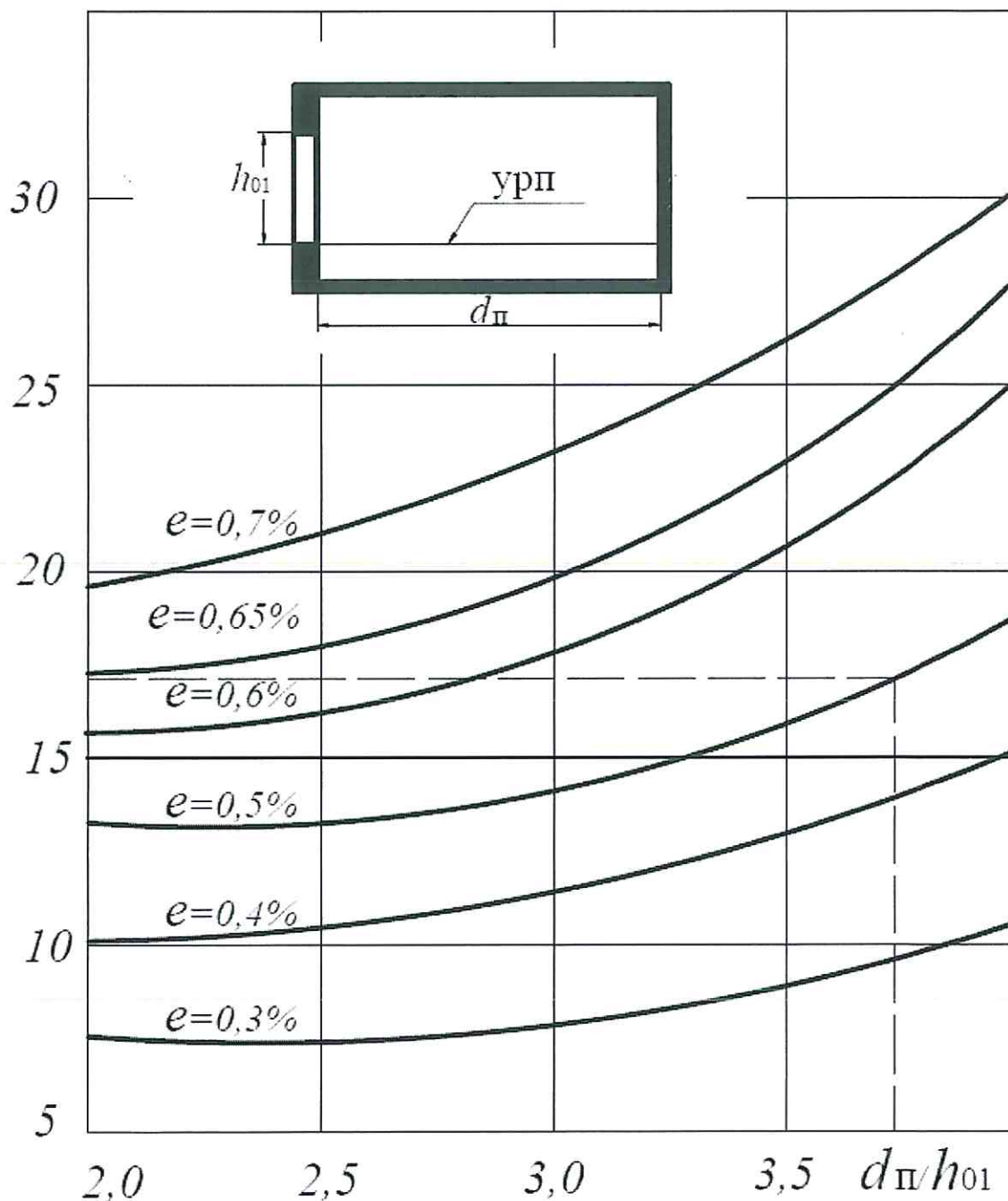


Рисунок 8.1 – График для определения относительной площади световых проемов $S_{c.o}/S_{п}$ при боковом освещении жилых помещений

В НАБОР

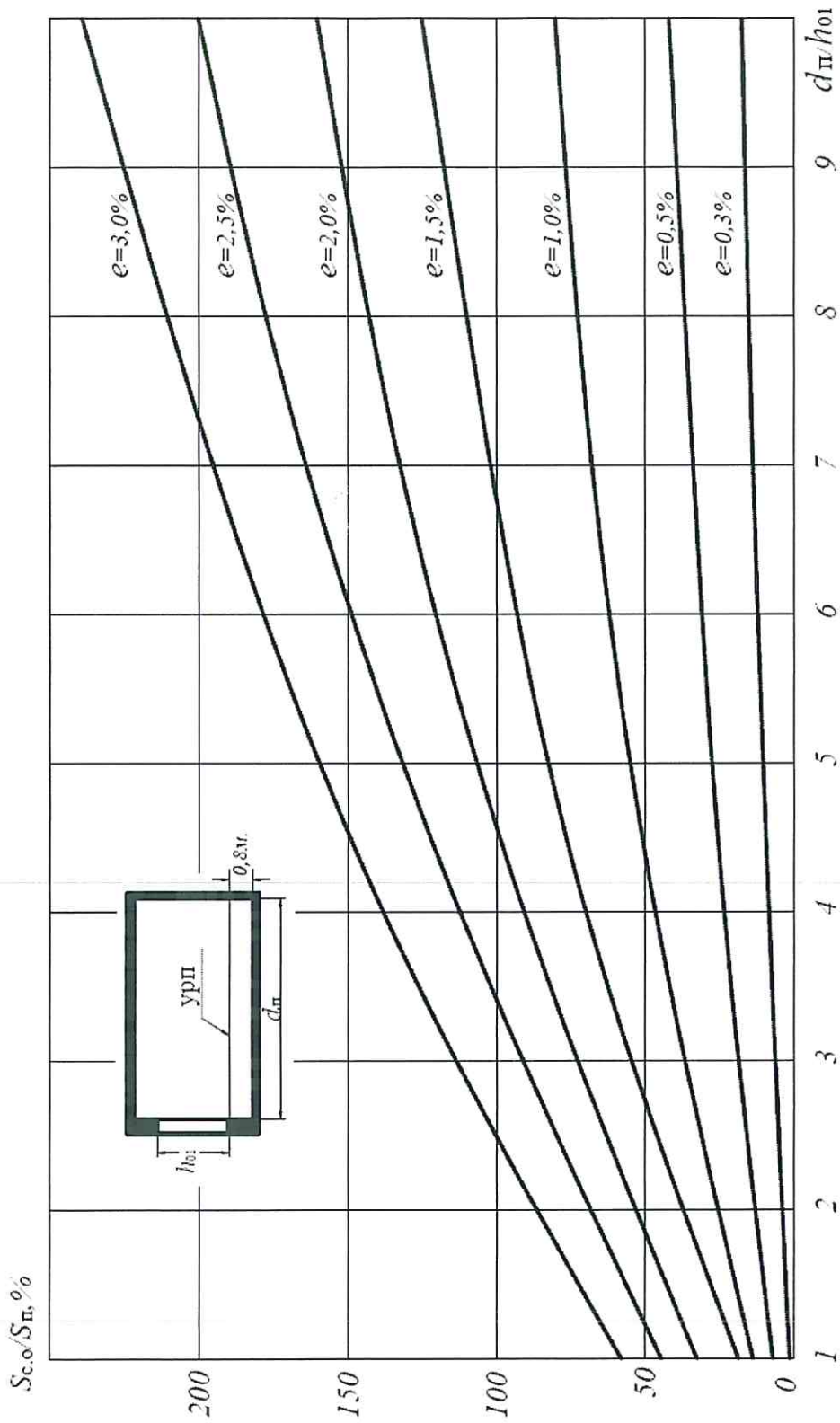


Рисунок 8.2 – График для определения относительной площади световых проемов $S_{c.o}/S_{п}$ при боковом освещении административных помещений

В НАБОР

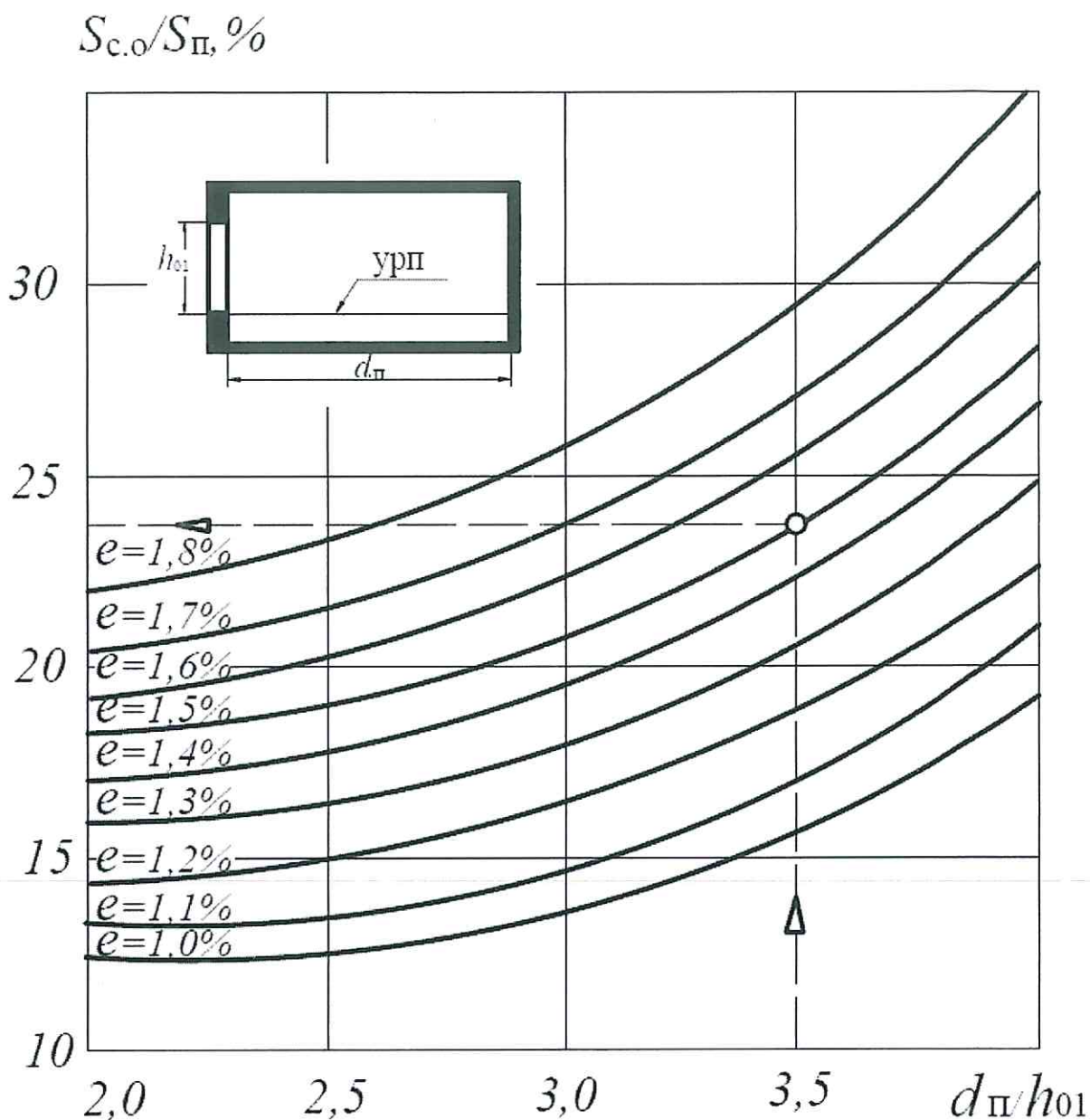


Рисунок 8.3 – График для определения относительной площади световых проемов $S_{c.o./S_{\Pi}}$ при боковом освещении учебных классов и кабинетов общеобразовательных организаций

».

Пункт 8.2.2. Второй абзац. Исключить слова: «– деревянным спаренным открывающимся переплетам».

Третий абзац. Изложить в новой редакции:

«Найденные по рисункам 8.1–8.3 значения относительной площади световых проемов следует делить, а значение КЕО – умножать на коэффициент K_1 по таблице 8.1.».

Таблица 8.1. Изложить в новой редакции:

«Таблица 8.1 – Поправочные коэффициенты для учета заполнений оконных проемов

| Тип заполнения | Значения коэффициента K_1 для графиков на рисунках | |
|------------------------------------------------------------------------------------------------------------------------------------|------------------------------------------------------|----------|
| | 8.1 | 8.2, 8.3 |
| Деревянные переплеты – одно стекло | | |
| Одинарные открывающиеся переплеты | 1,13 | 1,05 |
| Деревянные переплеты – два стекла | | |
| Спаренные открывающиеся переплеты | 1,00 | 1,00 |
| Деревянные переплеты – три стекла | | |
| Раздельно-спаренные открывающиеся переплеты | 0,63 | 0,59 |
| Стальные переплеты – одно стекло | | |
| Один слой оконного стекла в одинарных глухих переплетах | – | 1,26 |
| То же, в открывающихся переплетах | – | 1,05 |
| Стальные переплеты – два стекла | | |
| Двойные открывающиеся переплеты | – | 0,75 |
| То же, в глухих переплетах | – | – |
| Стальные переплеты – три стекла | | |
| Раздельно-спаренные открывающиеся переплеты | – | 0,82 |
| Стальные переплеты – стеклопакеты | | |
| Два слоя остекления в одинарных открывающихся переплетах* | – | 1,00 |
| То же, в глухих переплетах* | – | 1,15 |
| Три слоя остекления в глухих спаренных переплетах* | – | 1,00 |
| Поливинилхлоридные переплеты – однокамерный стеклопакет | | |
| Флоат-стекло (стекло листовое бесцветное) | 0,83 | 0,77 |
| Флоат-стекло (стекло многослойное бесцветное) | 0,79 | 0,73 |
| Стекло с низкоэмиссионными мягкими покрытиями | 0,63 | 0,59 |
| Поливинилхлоридные переплеты – двухкамерный стеклопакет | | |
| Флоат-стекло (стекло листовое бесцветное) | 0,72 | 0,67 |
| Флоат-стекло (стекло многослойное бесцветное) | 0,66 | 0,61 |
| Стекло с низкоэмиссионными мягкими покрытиями | 0,49 | 0,46 |
| Стекланные блоки | | |
| Бесцветные пустотелые стекланные блоки | – | 0,70 |
| * При применении других видов переплетов коэффициент K_1 принимают по настоящей таблице до проведения соответствующих испытаний. | | |

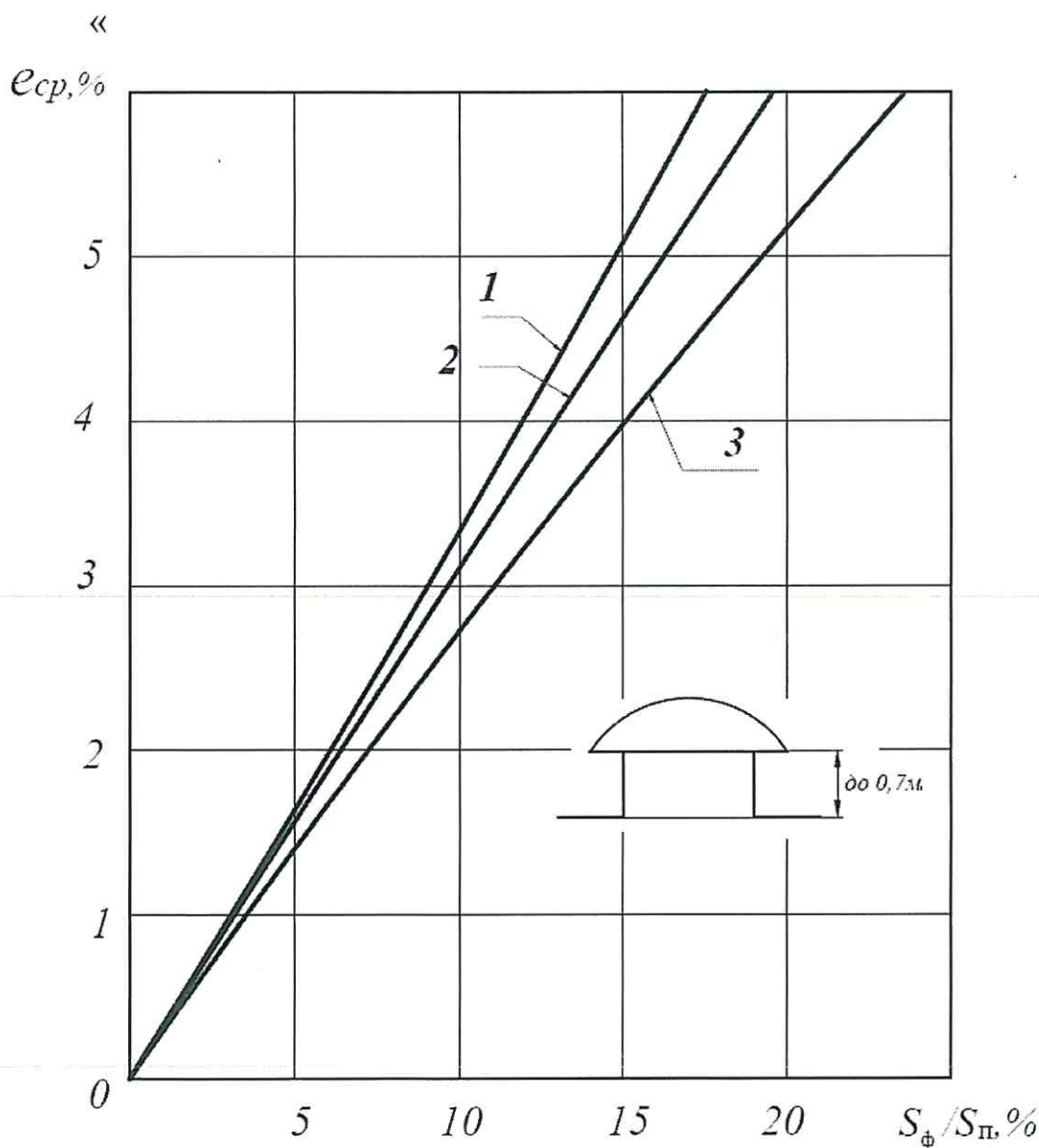
».

8.3 Предварительный расчет площади световых проемов и КЕО при верхнем освещении

Пункт 8.3.1. Второй абзац. Перечисление б). Заменить обозначение: « $S_{c.o}$ » на « S_{ϕ} ».

Перечисление в). Заменить обозначение: « $S_{c.o}$ » на « S_{ϕ} ».

Рисунки 8.4–8.7. Изложить в новой редакции:



**Рисунок 8.4 – График для определения среднего значения КЕО $e_{ср}$ в общественных и жилых помещениях с зенитными фонарями с глубиной светового проема до 0,7 м и размерами, м,
в плане: 1 – 2,9×5,9;
2 – 2,7×2,7; 2,9×2,9; 1,5×5,9;
3 – 1,5×1,7**

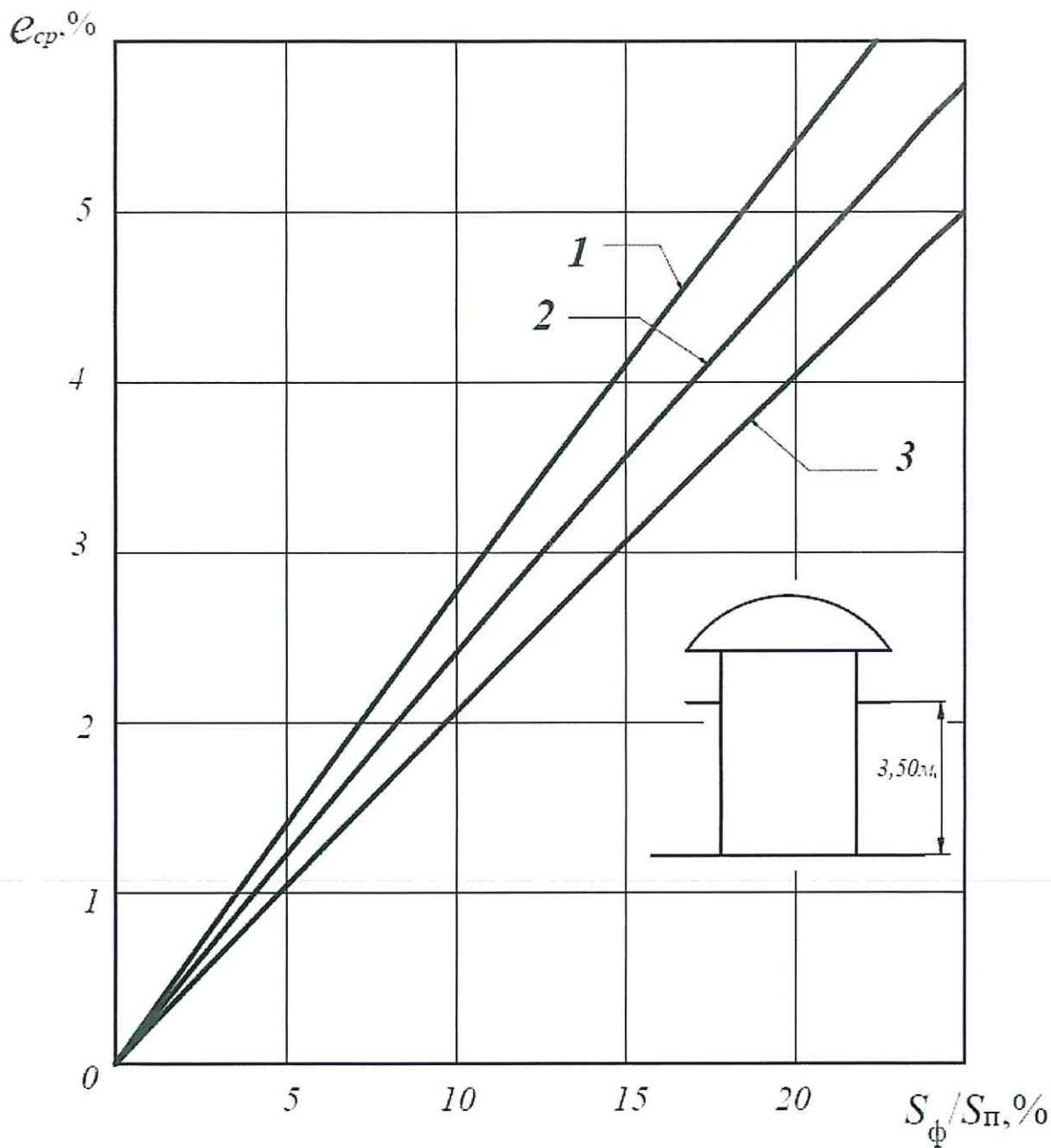


Рисунок 8.5 – График для определения среднего значения КЕО e_{cp} в общественных помещениях с шахтными фонарями с глубиной светопроводной шахты 3,50 м и размерами, м, в плане:
 1 – 2,9×5,9;
 2 – 2,7×2,7; 2,9×2,9; 1,5×5,9;
 3 – 1,5×1,7

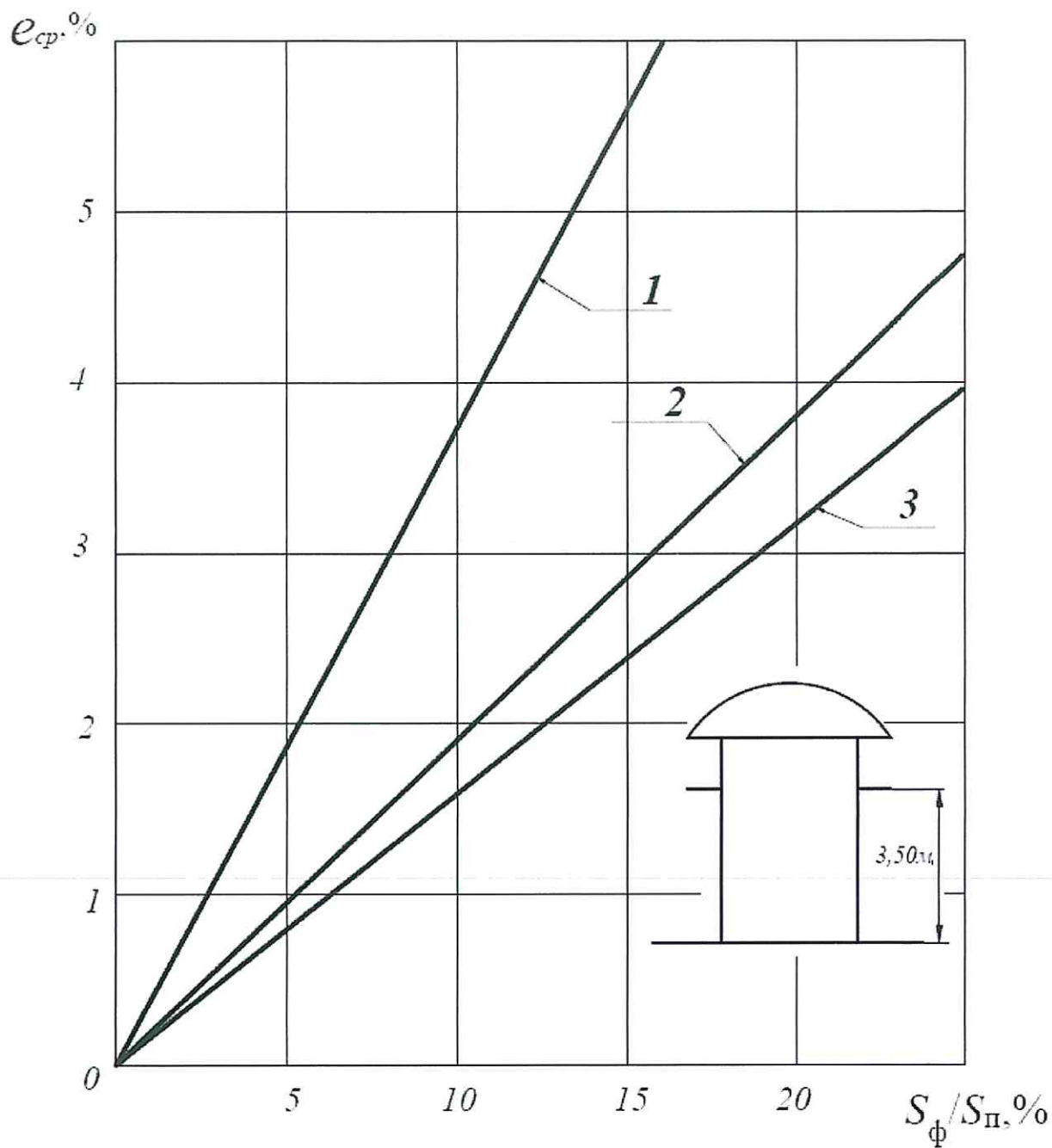


Рисунок 8.6 – График для определения среднего значения КЕО e_{cp} в общественных помещениях с шахтными фонарями диффузного света с глубиной светопроводной шахты 3,50 м и размерами, м,

**в плане: 1 – 2,9×5,9;
 2 – 2,7×2,7; 2,9×2,9; 1,5×5,9;
 3 – 1,5×1,7**

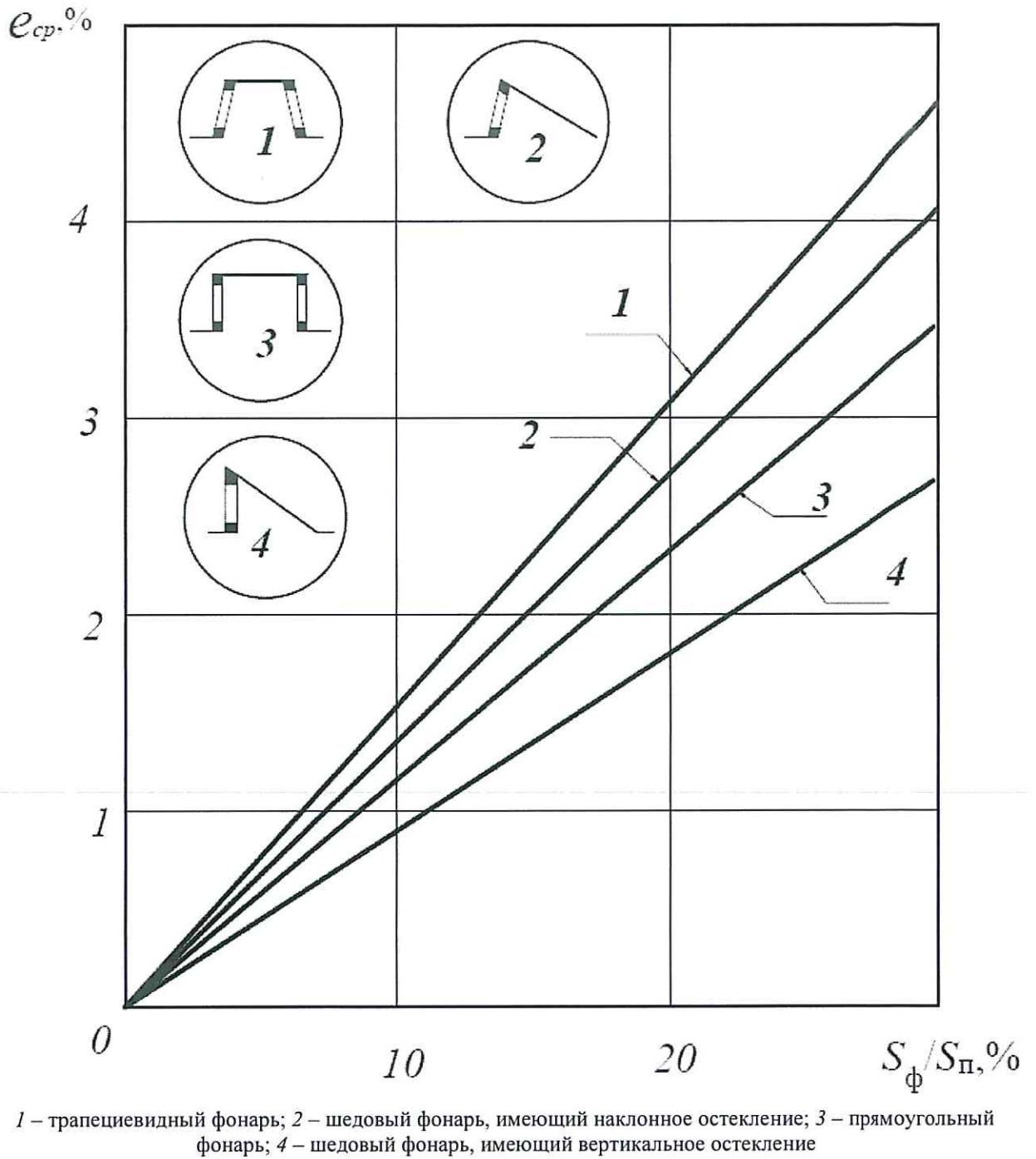


Рисунок 8.7 – График для определения среднего значения КЕО e_{cp} в общественных помещениях с фонарями

».

8.4 Проверочный расчет КЕО при боковом освещении

Пункт 8.4.1. Второй абзац. Перечисление л). Изложить в новой редакции:

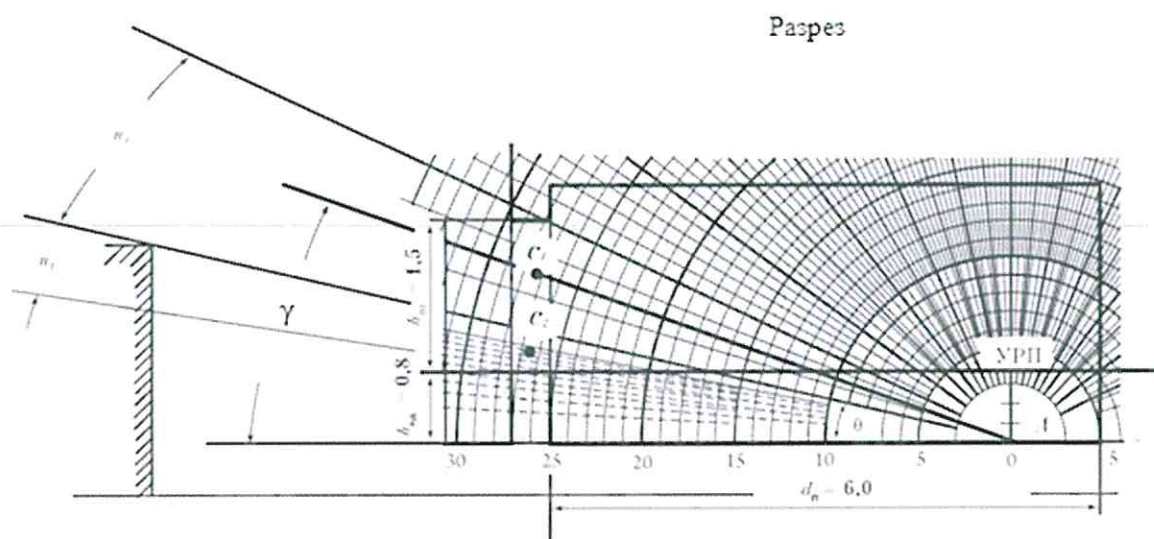
«л) определяют значение угла γ , под которым видна середина участка неба из расчетной точки на поперечном разрезе помещения (рисунок 8.9);».

Перечисление м). Изложить в новой редакции:

«м) по значению угла γ и заданным параметрам помещения и окружающей застройки в соответствии с приложением А определяют значения коэффициентов C_N , $q(\gamma)$, $b_{\text{ф}}$, $K_{\text{зд}}$, r_o , τ_o и MF , подставляют в формулу (А.1) и вычисляют значение КЕО в расчетной точке помещения.».

Рисунок 8.9. Элемент «Разрез». Изложить в новой редакции:

«



».

Пункт 8.4.2. Первый абзац. Заменить слова: «таблицам А.10а–А.10г» на «таблицам А.21–А.24».

8.5 Проверочный расчет КЕО при верхнем освещении

Пункт 8.5.1. Второй абзац. Перечисление б). Изложить в новой редакции:

«б) определяют углы γ_1 , γ_2 , γ_3 и т. д. между нижней линией графика I и линией, соединяющей полюс (центр) графика I с серединой первого, второго, третьего световых проемов и т. д.;».

Перечисление г). Изложить в новой редакции:

«г) вычисляют значение геометрического КЕО $\varepsilon_{в1}$ в первой точке характерного разреза помещения по формуле

$$\varepsilon_{в1} = 0,01((n_1 q(\gamma_1) n_2)_1 + (n_1 q(\gamma_2) n_2)_2 + (n_1 q(\gamma_3) n_2)_3 + \dots + (n_1 q(\gamma_i) n_2)_i), \quad (8.1)$$

где i – число световых проемов;

$q(\gamma)$ – коэффициент, учитывающий неравномерную яркость участка небосвода, видимого из первой точки соответственно под углами $\gamma_1, \gamma_2, \gamma_3$ и т. д.;».

Перечисление ж). Изложить в новой редакции:

«ж) по заданным параметрам помещения и световых проемов в соответствии с приложением А определяют значения r_2, k_{ϕ}, τ_0 ;».

Раздел 8 после подраздела 8.6 дополнить подразделом 8.7 в следующей редакции:

«8.7 Расчет КЕО от световодов естественного света в общественных и жилых зданиях

8.7.1 Световоды естественного света применяют для передачи естественного света с наружных ограждающих конструкций зданий в помещениях, имеющих недостаточное естественное освещение в системе комбинированного освещения, или в помещениях без естественного света.

В комплект световода входят приемный купол естественного излучения, трубчатый световод (при необходимости с угловыми адаптерами) с высоким коэффициентом зеркального отражения (0,92–0,99) и рассеиватель (диффузор), располагаемый в освещаемом помещении. Также в комплект световода могут входить концентратор солнечного света и термобарьер для снижения теплотерь.

Световоды естественного света для жилых и общественных зданий обладают меньшим диаметром по сравнению со световодами для промышленных помещений.

Рассеяние света на выходе световода в помещение характеризуется фотометрическим телом или индикатрисой рассеяния.

8.7.2 Общий коэффициент передачи светового потока световодом определяют по формуле

$$K_{\text{по}} = \tau_{11} \cdot \tau_{12} \cdot K_{\text{п}}, \quad (8.11)$$

где τ_{11} – коэффициент пропускания купола трубчатого световода естественного света. Коэффициент пропускания купола ряда устройств лежит в диапазоне 0,89–0,92 (допускается применение иного значения коэффициента, отличающегося от указанного диапазона, по данным производителя);

τ_{12} – коэффициент пропускания рассеивателя световода (диффузора) на выходе световода. Коэффициент пропускания рассеивателя световода лежит в диапазоне 0,8–0,92 (допускается применение иного значения коэффициента, отличающегося от указанного диапазона, по данным производителя);

$K_{\text{п}}$ – коэффициент передачи светового потока;

L – сумма длин участков трубчатого световода с учетом длин углового адаптера.

8.7.3 Коэффициент передачи светового потока $K_{\text{п}}$ зависит от коэффициента отражения зеркального покрытия световодной трубы ρ и от отношения длины световода L к его диаметру D и определяется по формуле

$$K_{\text{п}} = \frac{e^{\frac{L}{D} \text{tg} \theta \ln \rho}}{\left(1 - \frac{L}{D} \text{tg} \theta \ln \rho\right)^{1/2}}, \quad (8.12)$$

где θ – средний угол между осью световода и световым лучом в расчетную точку M (угол входа света) согласно рисунку 8.16.

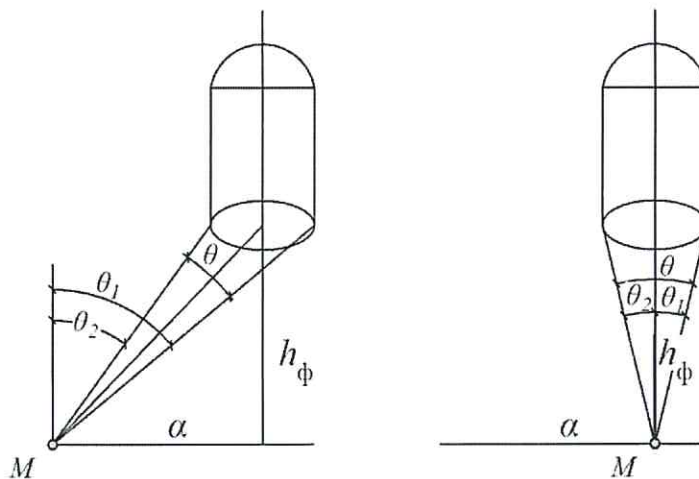


Рисунок 8.16 – К расчету КЕО от световода естественного света

8.7.4 Средний коэффициент передачи светового потока определяют для угла $\theta = 30^\circ$.

Для упрощения расчетов используют таблицу 8.2.

Таблица 8.2 – Коэффициент передачи светового потока K_n

| L/D | K_n при коэффициенте отражения зеркального покрытия световодной трубы ρ , равном | | | |
|-------|-----------------------------------------------------------------------------------------|------|------|-------|
| | 0,92 | 0,95 | 0,98 | 0,995 |
| 0,3 | 0,98 | 0,99 | 1,00 | 1,00 |
| 0,4 | 0,96 | 0,98 | 0,99 | 1,00 |
| 0,7 | 0,95 | 0,97 | 0,99 | 1,00 |
| 1,1 | 0,92 | 0,95 | 0,98 | 1,00 |
| 1,4 | 0,91 | 0,93 | 0,98 | 0,99 |
| 1,6 | 0,90 | 0,92 | 0,97 | 0,99 |
| 2,2 | 0,85 | 0,90 | 0,96 | 0,99 |
| 3,2 | 0,79 | 0,85 | 0,94 | 0,98 |
| 3,4 | 0,77 | 0,85 | 0,94 | 0,98 |
| 6,6 | 0,65 | 0,73 | 0,90 | 0,97 |
| 8,0 | 0,58 | 0,69 | 0,87 | 0,96 |
| 8,6 | 0,56 | 0,68 | 0,86 | 0,96 |
| 11,4 | 0,46 | 0,62 | 0,82 | 0,95 |
| 14,3 | 0,39 | 0,55 | 0,78 | 0,94 |
| 16,0 | 0,35 | 0,50 | 0,76 | 0,93 |
| 18,0 | 0,30 | 0,46 | 0,73 | 0,92 |
| 19,4 | 0,27 | 0,43 | 0,71 | 0,92 |
| 50,0 | 0,05 | 0,14 | 0,44 | 0,80 |

При отношениях длины световода L к его диаметру D , отличающихся от представленных в таблице 8.2, коэффициент передачи светового потока K_{Π} определяют по графику на рисунке 8.17.

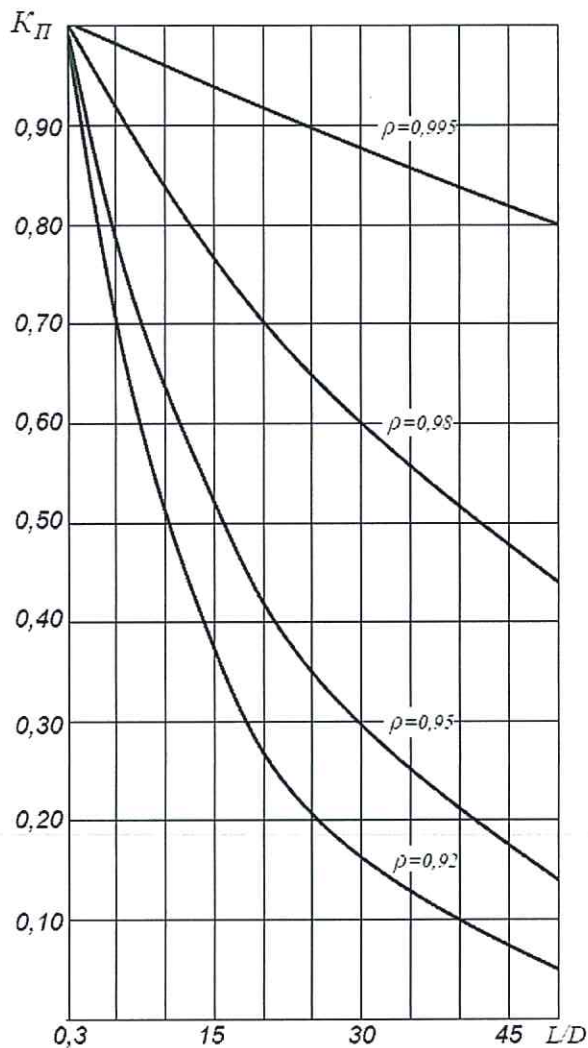


Рисунок 8.17 – График для определения коэффициента передачи светового потока K_{Π} , зависящий от коэффициента отражения зеркального покрытия световодной трубы ρ и от отношения длины световода L к его диаметру D

8.7.5 Для изменения направления светового потока в здании используют угловые адаптеры. Длину углового адаптера определяют по таблице 8.3.

Таблица 8.3 – Длина углового адаптера

| Угол поворота, градусы | Диаметр, мм | | | | | | |
|------------------------|-------------|--------|------|-------|-------|-------|------|
| | 250 | 375 | 400 | 530 | 650 | 750 | 900 |
| 15 | 0,4 | 0,525 | 0,55 | 0,73 | 0,85 | 0,95 | 1,1 |
| 30 | 0,55 | 0,675 | 0,7 | 0,93 | 1,05 | 1,15 | 1,3 |
| 45 | 0,825 | 1,0125 | 1,05 | 1,395 | 1,525 | 1,725 | 1,95 |
| 60 | 1,1 | 1,35 | 1,4 | 1,86 | 2 | 2,3 | 2,6 |

| | | | | | | | |
|----|-----|------|-----|-------|-----|-------|------|
| 75 | 1,1 | 1,35 | 1,4 | 2,325 | 2,5 | 2,875 | 3,25 |
| 90 | 1,1 | 1,35 | 1,4 | 2,79 | 3 | 3,45 | 3,9 |

8.7.6 Геометрический КЕО $\varepsilon_{\text{св}}$, в процентах, для круглого или прямоугольного диффузного излучателя в расчетной точке помещения определяется по формуле

$$\varepsilon_{\text{св}} = K_{\text{по}} [(180 - \alpha)/180] \cdot \sin^2(\theta/2) \cdot 100, \quad (8.13)$$

где $[(180 - \alpha)/180]$ – входной коэффициент световода;

α – угол отклонения оси трубы от зенита.

8.7.7 Поскольку при верхнем освещении нормируется среднее значение КЕО, определяют суммарное значение геометрического КЕО $\varepsilon_{\text{св}}$ в расчетных точках от всей системы трубчатых световодов естественного света, расположенных в помещении, обозначаемого как $\Sigma\varepsilon_{\text{св}}$.

Среднее значение геометрического КЕО от системы световодов на линии пересечения условной рабочей поверхности (0,8 м от пола) и плоскости характерного вертикального разреза помещения определяют по формуле

$$\varepsilon_{\text{св.ср}} = (\Sigma\varepsilon_{\text{св}1} + \Sigma\varepsilon_{\text{св}2} + \Sigma\varepsilon_{\text{св}3} + \Sigma\varepsilon_{\text{св}4} + \Sigma\varepsilon_{\text{св}5} + \dots + \Sigma\varepsilon_{\text{св}N})/N, \quad (8.14)$$

где N – количество расчетных точек;

$(\Sigma\varepsilon_{\text{св}1} + \Sigma\varepsilon_{\text{св}2} + \Sigma\varepsilon_{\text{св}3} + \Sigma\varepsilon_{\text{св}4} + \Sigma\varepsilon_{\text{св}5} + \dots + \Sigma\varepsilon_{\text{св}N})$ – значения геометрического КЕО в расчетных точках от системы световодов в расчетных точках 1, 2, ..., N).

8.7.8 Коэффициент естественной освещенности в расчетной точке e^{p} определяют по формуле

$$e^{\text{p}} = C_N \cdot [\Sigma\varepsilon_{\text{св}} + \varepsilon_{\text{св.ср}} \cdot (r_2 - 1)] \cdot MF, \quad (8.15)$$

где C_N – коэффициент светового климата, принимают по таблице 5.1 СП 52.13330.2016;

r_2 – коэффициент, учитывающий повышение КЕО при верхнем освещении благодаря свету, отраженному от поверхностей помещения;

MF – коэффициент эксплуатации (учитывает загрязнение световода при эксплуатации). Купола световодов следует чистить один-два раза в год. Согласно таблице 4.3 СП 52.13330.2016 при чистке купола один раз в год наибольшее значение MF составляет 0,77.

8.7.9 Среднее значение КЕО e_{cp} при верхнем или комбинированном освещении определяют по формуле

$$e_{cp} = \frac{1}{N-1} \left(\frac{e_1 + e_N}{2} + \sum_{i=2}^{N-1} e_i \right), \quad (8.16)$$

где e_1 и e_N – значения КЕО при верхнем или комбинированном освещении в первой и последней точках характерного разреза помещения;

e_i – значения КЕО в остальных точках характерного разреза помещения ($i = 2, 3, \dots, N-1$).

Пример расчета приведен в В.1 приложения В.».

9 Проектирование естественного и совмещенного освещения некоторых типовых помещений

9.3 Учебные кабинеты и помещения

Пункт 9.3.5. Заменить слова: «СанПиН 2.4.2.2821 должны лежать в диапазоне значений,» на «пункту 2.8.8 СП 2.4.3648–20 должны быть не менее».

Таблица 9.3. Изложить в новой редакции:

«Таблица 9.3 – Коэффициенты отражения света внутренними поверхностями учебных кабинетов помещений

| Внутренние поверхности помещений | Коэффициент отражения внутренних поверхностей помещений ρ , отн. ед. |
|-------------------------------------------------------------------------------------------------------------------------------------------|---------------------------------------------------------------------------|
| Потолок, верхняя часть стен, оконные откосы | 0,70–0,87 |
| Стены | 0,55–0,65 |
| Пол | 0,4–0,5 |
| Примечание – Конкретные значения коэффициентов отражения внутренних поверхностей помещений принимают по данным измерений по ГОСТ Р 56709. | |

».

Пункт 9.3.6. Изложить в новой редакции:

В НАБОР

«9.3.6 При использовании декоративных элементов с яркой цветовой палитрой их площадь не должна превышать 25 % общей площади поверхности стен помещения.».

11 Расчет времени использования естественного освещения в помещениях

Пункт 11.4. Экспликация к формуле (11.6). Обозначение $E_{\text{в}}^{\text{я}}$ и пояснения к нему. Заменить слова: «таблице Б.3» на «таблице Б.4».

Обозначение $b_{\text{фи}}$ и пояснения к нему. Заменить слова: «таблице А.2» на «таблицам А.2–А.6».

Обозначение $\rho_{\text{ф}}$ и пояснения к нему. Заменить слова: «таблице А.3» на «таблицам А.7, А.8».

Экспликация к формуле (11.10). Обозначение r_2 и пояснения к нему. Заменить слова: «таблице А.11» на «таблице А.25».

Обозначение $k_{\text{ф}}$ и пояснения к нему. Заменить слова: «таблице А.12» на «таблице А.26».

12 Технико-экономическая оценка систем естественного освещения по энергетическим затратам

Пункт 12.4. Перечисление в). Формула (12.4). Экспликация. Заменить ссылку: «[1]» на «СП 345.1325800».

Приложение А Методика расчета естественного освещения помещений

Изложить в новой редакции:

«Приложение А

Методика расчета естественного освещения жилых и общественных помещений

А.1 Методика предназначена для расчета коэффициента естественной освещенности КЕО при боковой системе освещения помещений с различными схемами расположения зданий в условиях застройки, а также для расчета КЕО в помещениях с верхней (через фонари различных конструкций) и комбинированной (верхней и боковой) системами естественного освещения.

А.2 Расчет коэффициента естественной освещенности

А.2.1 Расчет коэффициента естественной освещенности КЕО следует проводить:

а) при боковом освещении по формуле

$$e_p^b = C_N \left(\sum_{i=1}^L \epsilon_{6i} q(\gamma)_i + \sum_{j=1}^M \epsilon_{здj} b_{фj} k_{здj} \right) r_o \tau_o KMF; \tag{A.1}$$

б) при верхнем освещении по формуле

$$e_p^B = C_N \left[\sum_{i=1}^T \epsilon_{vi} q(\gamma)_i + \epsilon_{cp} (r_2 k_\phi - 1) \right] \tau_o MF; \tag{A.2}$$

в) при комбинированном (верхнем и боковом) освещении по формуле

$$e_p^k = e_p^B + e_p^b, \tag{A.3}$$

где C_N – коэффициент, учитывающий особенности светового климата, принимают по таблице 5.1 СП 52.13330.2016 в зависимости от номера группы административных районов Российской Федерации;

L – число участков небосвода, видимых через световой проем из расчетной точки;

В НАБОР

$\varepsilon_{\delta i}$ – геометрический КЕО в расчетной точке при боковом освещении, учитывающий прямой свет от i -го участка неба, определяемый по формуле (А.10);

$q(\gamma)_i$ – коэффициент, учитывающий неравномерную яркость i -го участка облачного неба МКО, определяемый по таблице А.1;

k_{ϕ} – коэффициент, принимаемый в зависимости от типа фонаря, определяемый по таблице А.26;

M – число участков фасадов зданий противостоящей застройки, видимых через световой проем из расчетной точки;

T – число световых проемов в покрытии;

$\varepsilon_{здj}$ – геометрический КЕО в расчетной точке при боковом освещении, учитывающий свет, отраженный от j -го участка фасадов зданий противостоящей застройки, определяемый по формуле (А.11);

$b_{\phi j}$ – средняя относительная яркость j -го участка противостоящего (экранирующего) здания, расположенного параллельно исследуемому зданию (помещению), определяемая по таблице А.2; для иных схем застройки – по таблицам А.3–А.6;

r_0 – коэффициент, учитывающий повышение КЕО при боковом освещении благодаря свету, отраженному от поверхностей помещения и подстилающего слоя, прилегающего к зданию, принимаемый по таблицам А.10 и А.11;

r_2 – коэффициент, учитывающий повышение КЕО при верхнем освещении благодаря свету, отраженному от поверхностей помещения;

K – коэффициент, учитывающий потери света в архитектурных элементах фасадов зданий;

MF – коэффициент эксплуатации, определяемый по таблице 4.3 СП 52.13330.2016;

$\varepsilon_{\delta i}$ – геометрический КЕО в расчетной точке при верхнем освещении от i -го проема.

А.2.2 При расчете средней относительной яркости фасадов $b_{\phi j}$ по

В НАБОР

таблицам А.2–А.6 коэффициент отражения строительных и облицовочных материалов ρ для фасадов противостоящих зданий без оконных проемов, а также средневзвешенный коэффициент отражения фасадов $\rho_{\text{ф}}$ с учетом оконных проемов следует принимать по таблицам А.7, А.8. Для строящихся зданий допускается принимать $\rho_{\text{ф}}$ по данным, приведенным в документации на отделочный материал фасада, или по данным измерений.

А.2.3 Средневзвешенный коэффициент отражения оконных проемов с учетом переплетов $\rho_{\text{ок}}$ в расчетах принимают равным 0,20.

А.2.4 Средневзвешенный коэффициент отражения фасадов $\rho_{\text{ф}}$ с отделочными материалами, отличающимися от приведенных в таблицах А.7 и А.8, с учетом оконных блоков следует определять по формуле

$$\rho_{\text{ф}} = \frac{\rho_{\text{ок}} S_{\text{ок}} + \rho S_{\text{фас}}}{S_{\text{ок}} + S_{\text{фас}}}, \quad (\text{А.4})$$

где ρ и $\rho_{\text{ок}}$ – коэффициент отражения отделочного материала фасада и коэффициент отражения оконных блоков соответственно;

$S_{\text{фас}}$ и $S_{\text{ок}}$ – площадь фасада без учета оконных блоков и площадь оконных блоков соответственно.

Допускается коэффициент отражения оконных блоков $\rho_{\text{ок}}$ определять по формуле

$$\rho_{\text{ок}} = \frac{\rho_{\text{им}} S_{\text{им}} + \rho_{\text{ост}} S_{\text{ост}}}{S_{\text{им}} + S_{\text{ост}}}, \quad (\text{А.5})$$

где $\rho_{\text{им}}$ и $\rho_{\text{ост}}$ – коэффициент отражения отделочного материала импостов и коэффициент отражения материала остекления соответственно;

$S_{\text{им}}$ и $S_{\text{ост}}$ – площадь импостов оконного блока без учета остекления и площадь остекления соответственно.

А.2.5 $K_{\text{зд}j}$ – коэффициент, учитывающий изменения внутренней отраженной составляющей КЕО в помещении при наличии противостоящих зданий, определяемый по формуле

$$K_{здj} = 1 + (K_{зд0} - 1) \frac{\sum_{j=1}^M \varepsilon_{здj}}{\sum_{i=1}^L \varepsilon_{6i} + \sum_{j=1}^M \varepsilon_{здj}}, \quad (\text{A.6})$$

здесь $K_{зд0}$ – коэффициент, учитывающий изменения внутренней отраженной составляющей КЕО в помещении при полном закрытии небосвода зданиями, видимыми из расчетной точки, определяемый по таблицам А.12–А.16.

А.2.6 Для наиболее часто встречающихся в практике строительства схем застройки зданий, отличающихся от приведенных на рисунке А.1, коэффициент $K_{зд}$ определяют согласно схемам, приведенным на рисунках А.2–А.8.

А.2.7 τ_0 – общий коэффициент пропускания света, определяемый по формуле

$$\tau_0 = \tau_1 \tau_2 \tau_3 \tau_4 \tau_5, \quad (\text{A.7})$$

где τ_1 – коэффициент светопропускания материала, определяемый по таблицам А.17 и А.18;

τ_2 – коэффициент, учитывающий потери света в переплетах светового проема, определяемый по таблице А.19. Размеры светового проема принимают равными размерам коробки переплета по наружному обмеру;

τ_3 – коэффициент, учитывающий потери света в несущих конструкциях, определяемый по таблице А.20 (при боковом освещении $\tau_3 = 1$);

τ_4 – коэффициент, учитывающий потери света в солнцезащитных устройствах, определяемый в соответствии с таблицей А.20;

τ_5 – коэффициент, учитывающий потери света в защитной сетке, устанавливаемой под фонарями, принимаемый равным 0,9.

А.2.8 $\varepsilon_{ср}$ – среднее значение геометрического КЕО при верхнем освещении на линии пересечения УРП и плоскости характерного вертикального разреза помещения, определяемое из соотношения

$$\varepsilon_{ср} = \frac{1}{N} \sum_{i=1}^N \varepsilon_{vi}, \quad (\text{A.8})$$

где N – число расчетных точек.

А.2.9 Среднее значение КЕО e_{cp} при верхнем или комбинированном освещении определяют по формуле

$$e_{cp} = \frac{1}{N - 1} \left(\frac{e_1 + e_N}{2} + \sum_{i=2}^{N-1} e_i \right), \tag{A.9}$$

где e_1 и e_N – значения КЕО при верхнем или комбинированном освещении в первой и последней точках характерного разреза помещения;

e_i – значения КЕО в остальных точках характерного разреза помещения ($i = 2, 3, \dots, N - 1$).

А.2.10 Геометрический коэффициент естественной освещенности, учитывающий прямой свет неба от равнояркого небосвода в какой-либо точке помещения при боковом освещении, определяют по формуле

$$\varepsilon_{6i} = 0,01(n_1 n_2)_i, \tag{A.10}$$

где n_1 – число лучей по графику I (рисунок 8.8), проходящих от неба через световые проемы в расчетную точку на поперечном разрезе помещения;

n_2 – число лучей по графику II (рисунок 8.10), проходящих от неба через световые проемы в расчетную точку на плане помещения.

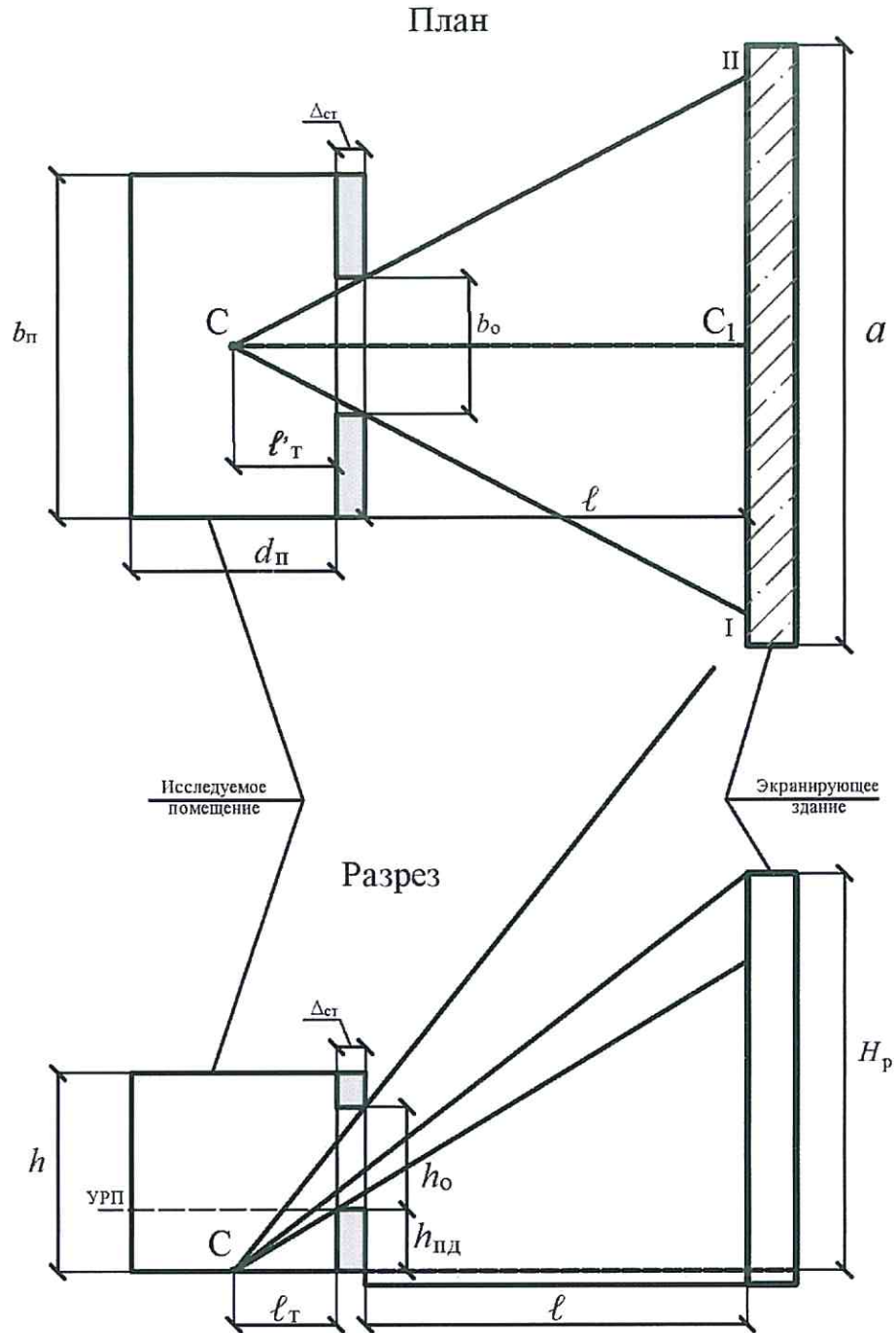
А.2.11 Геометрический коэффициент естественной освещенности $\varepsilon_{здж}$, учитывающий свет, отраженный от противостоящего здания при боковом освещении, определяют по формуле

$$\varepsilon_{здж} = 0,01(n'_1 n'_2)_j, \tag{A.11}$$

где n'_1 – число лучей по графику I (рисунок 8.8), проходящих от противостоящего здания через световые проемы в расчетную точку на поперечном разрезе помещения;

n'_2 – число лучей по графику II (рисунок 8.10), проходящих от противостоящего здания через световой проем в расчетную точку на плане помещения.

А.2.12 Расчетные значения КЕО e_p , полученные по формулам (А.1)–(А.3), (А.8), (А.9), следует округлять до сотых долей.



$$z_1 = \frac{a(l_{\text{т}} + \Delta_{\text{ст}})}{(l + l_{\text{т}} + \Delta_{\text{ст}})b_0} \quad z_2 = \frac{H_p(l_{\text{т}} + \Delta_{\text{ст}})}{(l + l_{\text{т}} + \Delta_{\text{ст}})(h_0 + h_{\text{пд}})}$$

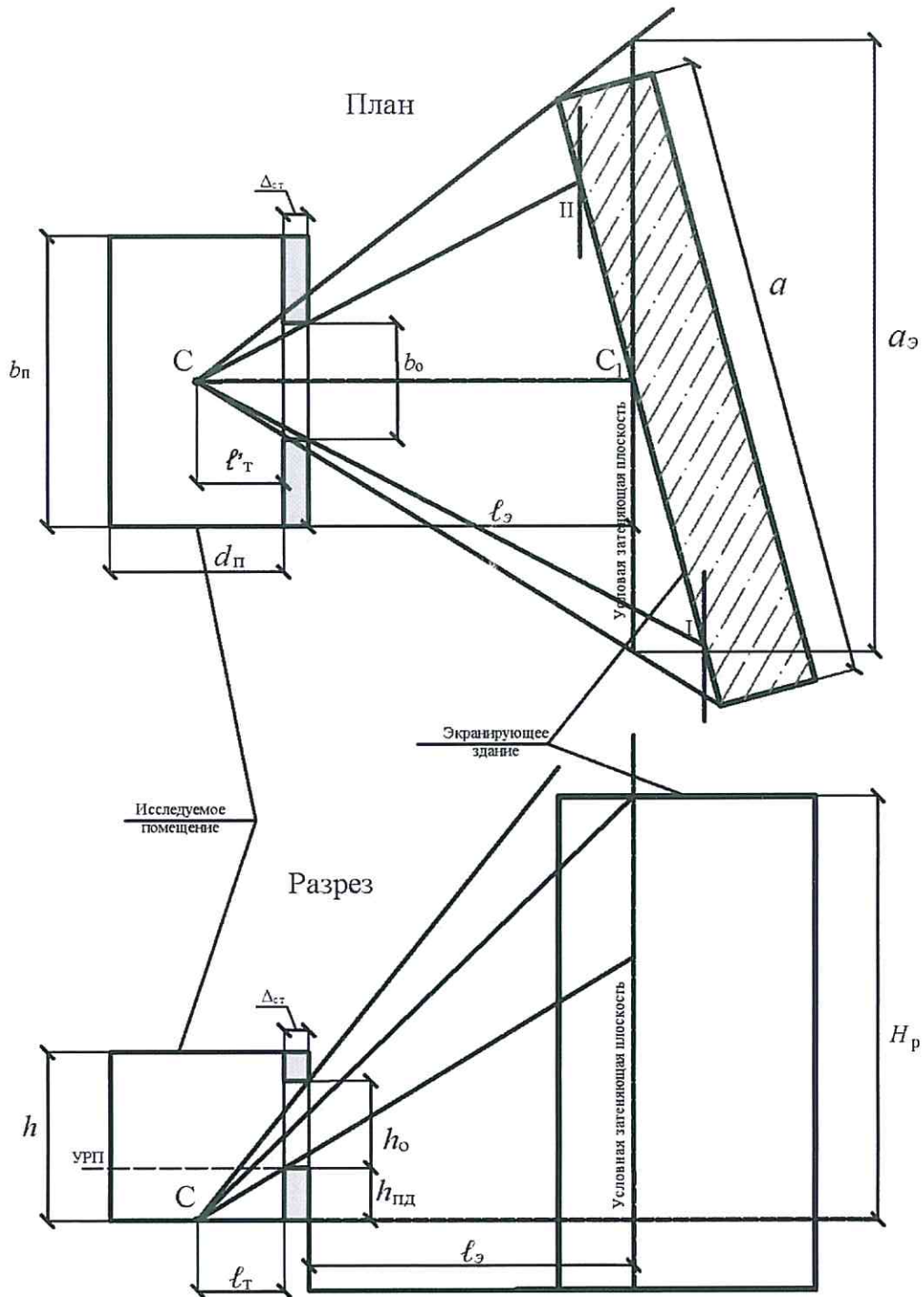
C – расчетная точка (расчетная точка смещается с наложением графика);

I–II – участок экранирующего здания, видимый из расчетной точки через световой проем;

z_1 – индекс экранирующего здания в плане; z_2 – индекс экранирующего здания в разрезе

Примечание – Другие обозначения см. в разделе 4.

Рисунок А.1 – Схема № 1 к определению параметров застройки при параллельном расположении зданий в застройке

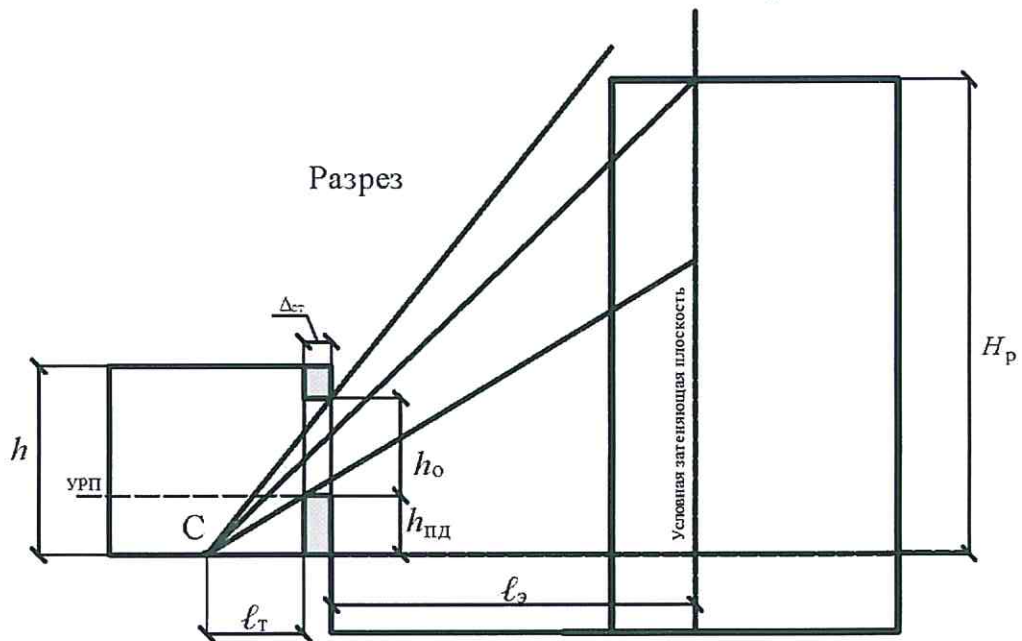
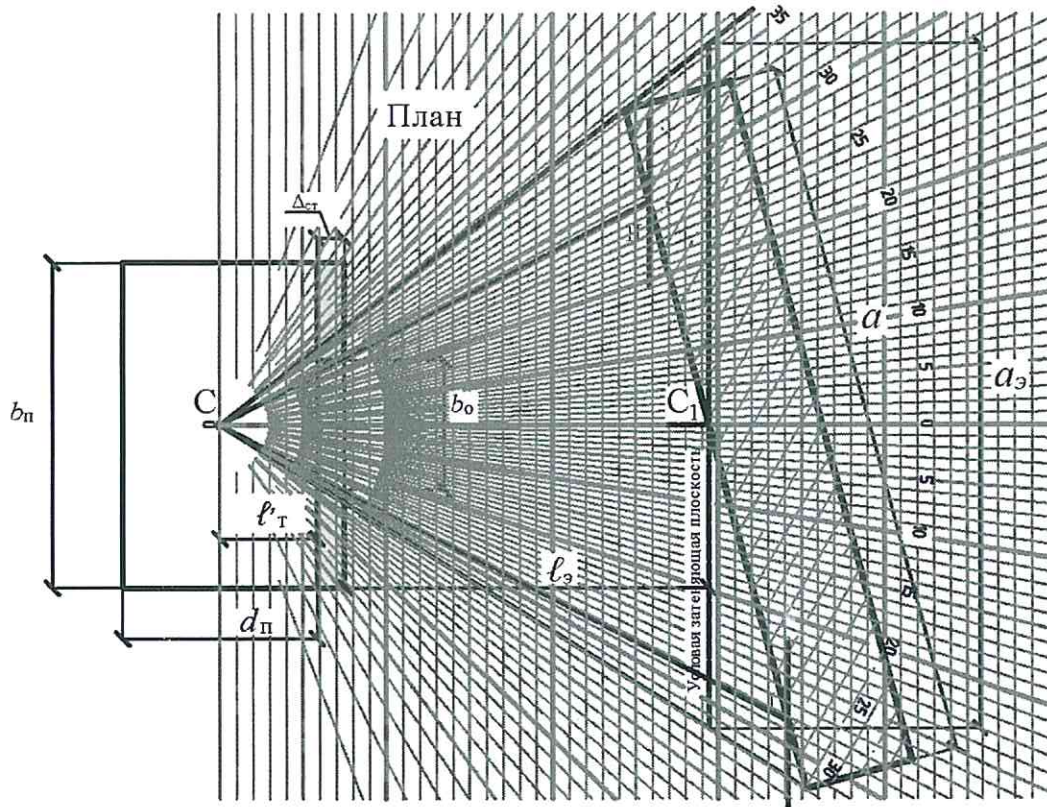


C – расчетная точка (расчетная точка смещается с наложением графика);

I–II – участок экранирующего здания, видимый из расчетной точки через световой проем

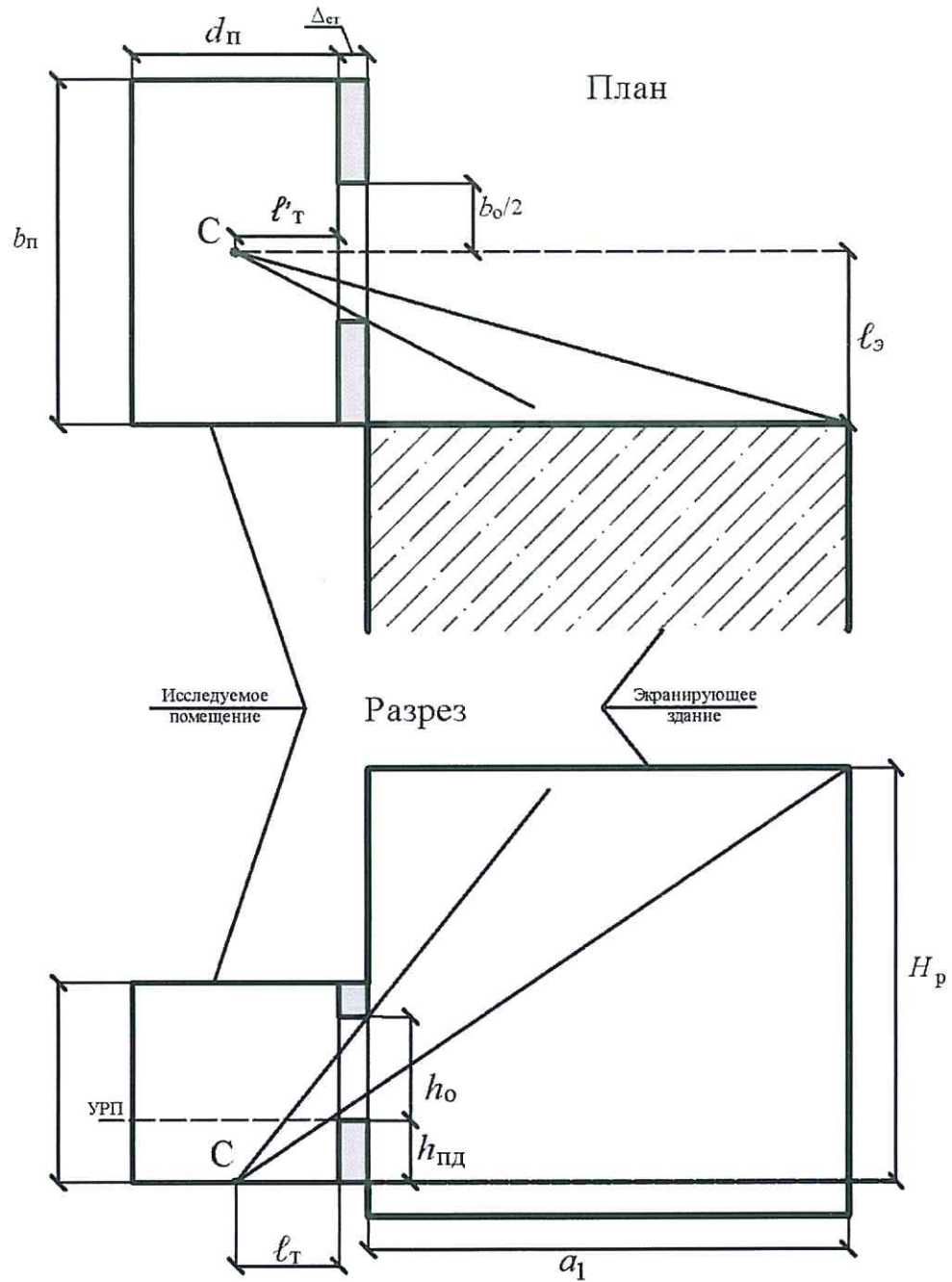
Примечание – Другие обозначения см. в разделе 4 и А.3.

Рисунок А.2 – Схема № 2 к определению параметров застройки при расположении экранирующего здания под углом к исследуемому зданию



C – расчетная точка (расчетная точка смещается с наложением графика);
 I–II – участок экранирующего здания, видимый из расчетной точки через световой проем
 Примечание – Другие обозначения см. в разделе 4 и А.3.

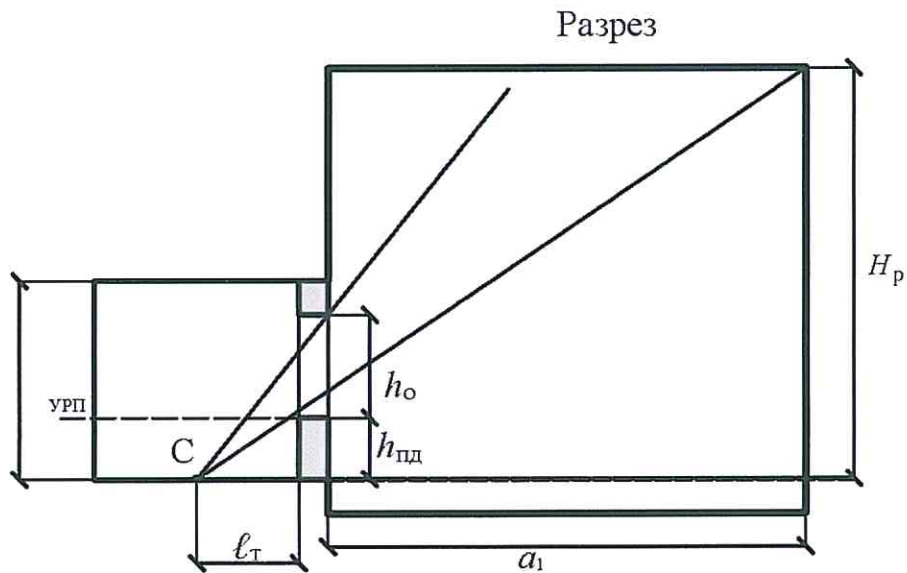
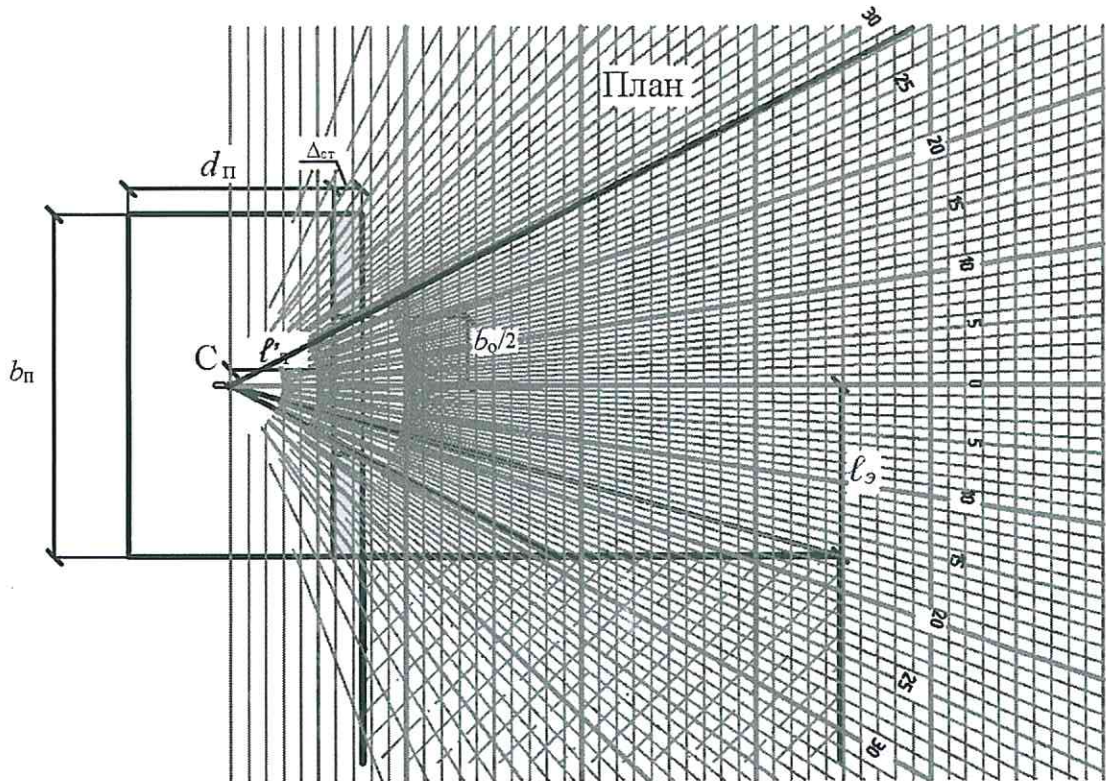
Рисунок А.3 – Определение числа лучей в плане для схемы № 2 при расположении экранирующего здания под углом к исследуемому зданию



C – расчетная точка (расчетная точка смещается с наложением графика);
 z_1 – индекс экранирующего здания в плане; z_2 – индекс экранирующего здания в разрезе
 Примечание – Другие обозначения см. в разделе 4 и А.3.

$$z_1 = \frac{l_э(l'_т + \Delta_{ст})}{(a_1 + l'_т + \Delta_{ст})b_о} \qquad z_2 = \frac{H_p}{(h_о + h_{пд})}$$

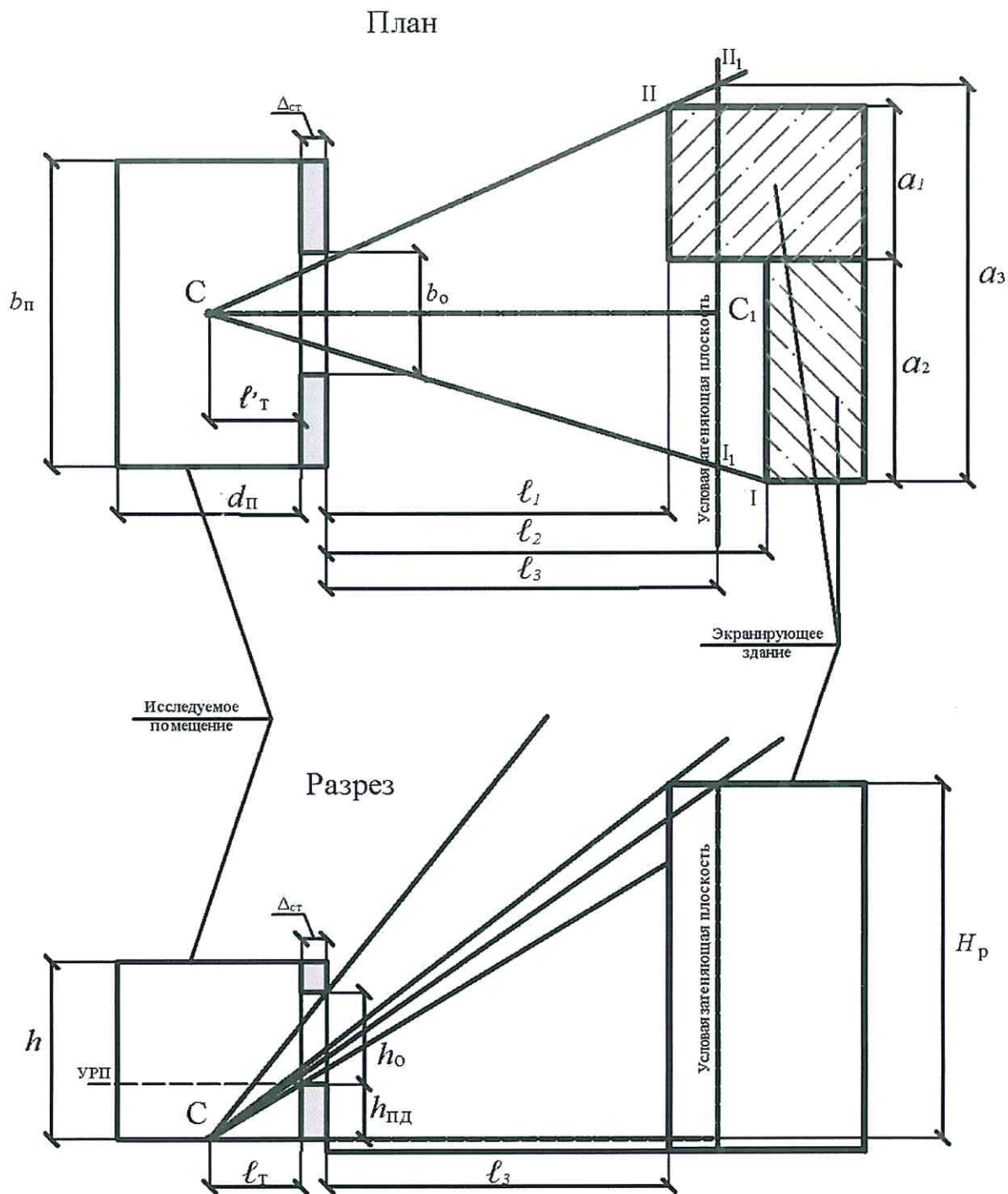
Рисунок А.4 – Схема № 3 к определению параметров Г-образного расположения зданий в застройке



C – расчетная точка (расчетная точка смещается с наложением графика)

Примечание – Другие обозначения см. в разделе 4 и А.3.

Рисунок А.5 – Определение числа лучей в плане для схемы № 3 при Г-образном расположении зданий в застройке

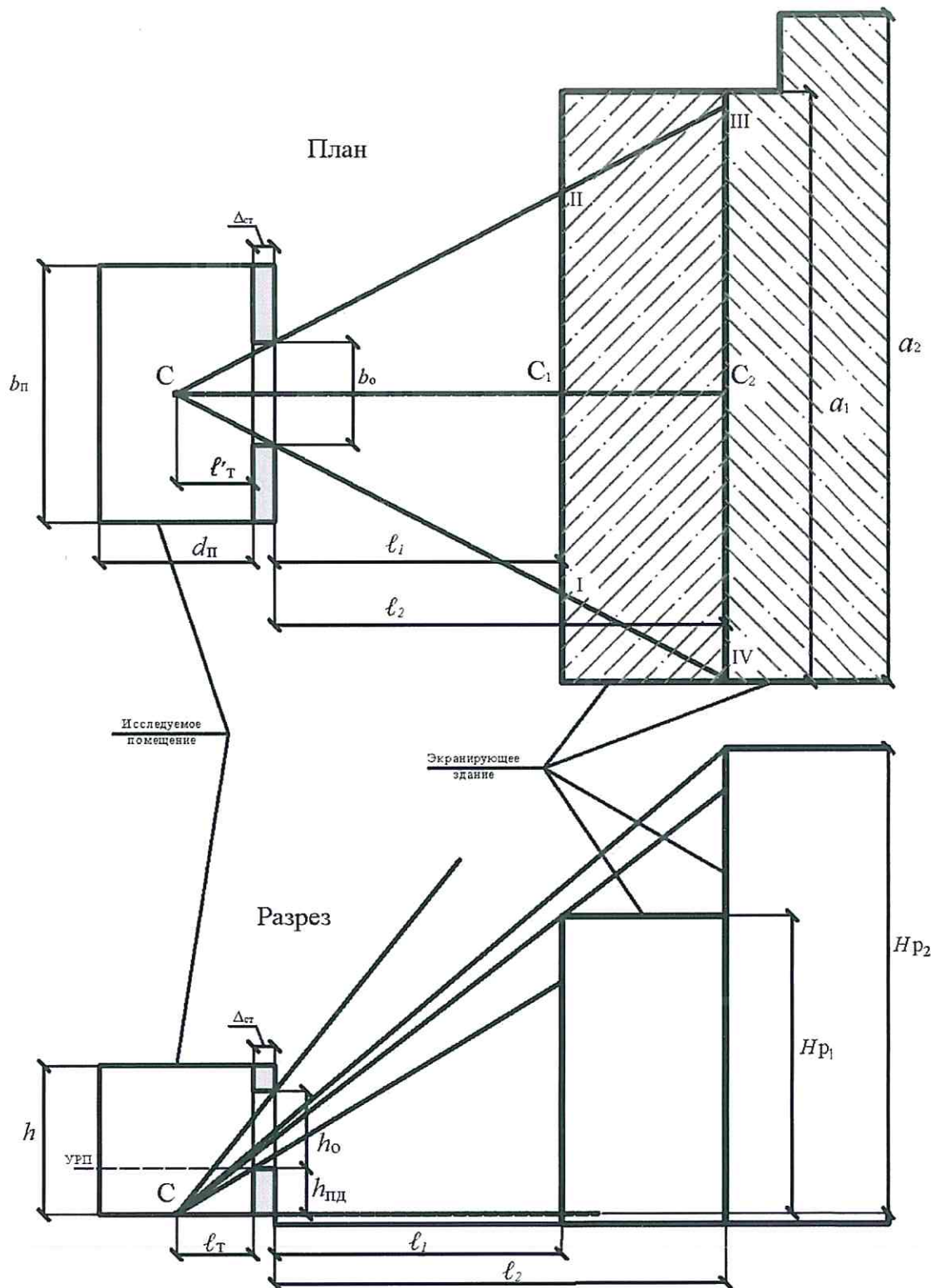


C – расчетная точка (расчетная точка смещается с наложением графика);

a_1 и a_2 – длины участков экранирующего здания; I–II – участки экранирующего здания, видимые из расчетной точки через световой проем

Примечание – Другие обозначения см. в разделе 4 и А.3.

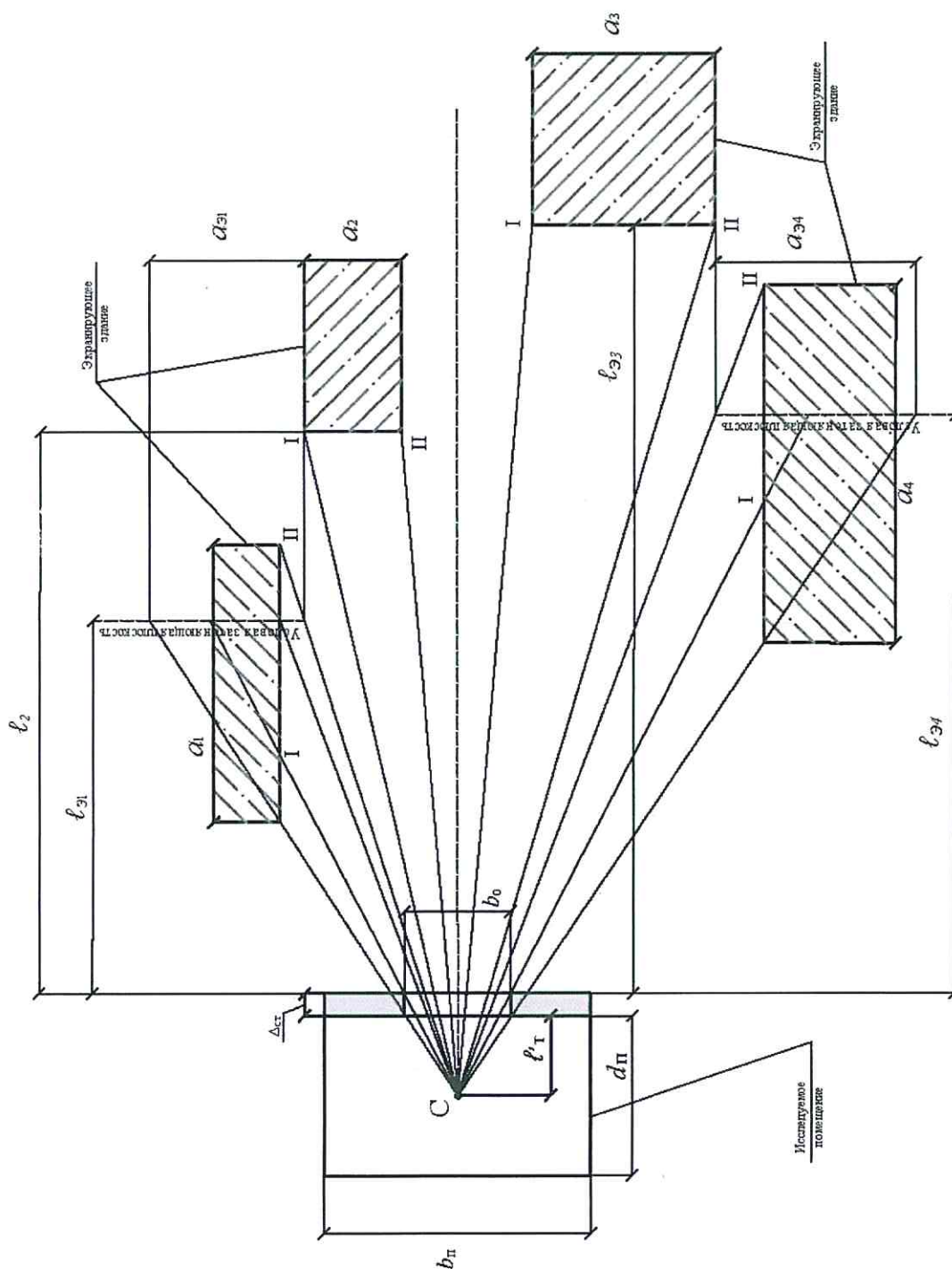
Рисунок А.6 – Схема № 4 к определению параметров застройки со сложной конфигурацией экранирующего здания в плане



C – расчетная точка (расчетная точка смещается с наложением графика);
 I–II, III–IV – участки экранирующего здания, видимые из расчетной точки через световой проем

Примечание – Другие обозначения см. в разделе 4 и А.3.

Рисунок А.7 – Схема № 5 к определению параметров застройки со сложной конфигурацией по высоте экранирующего здания

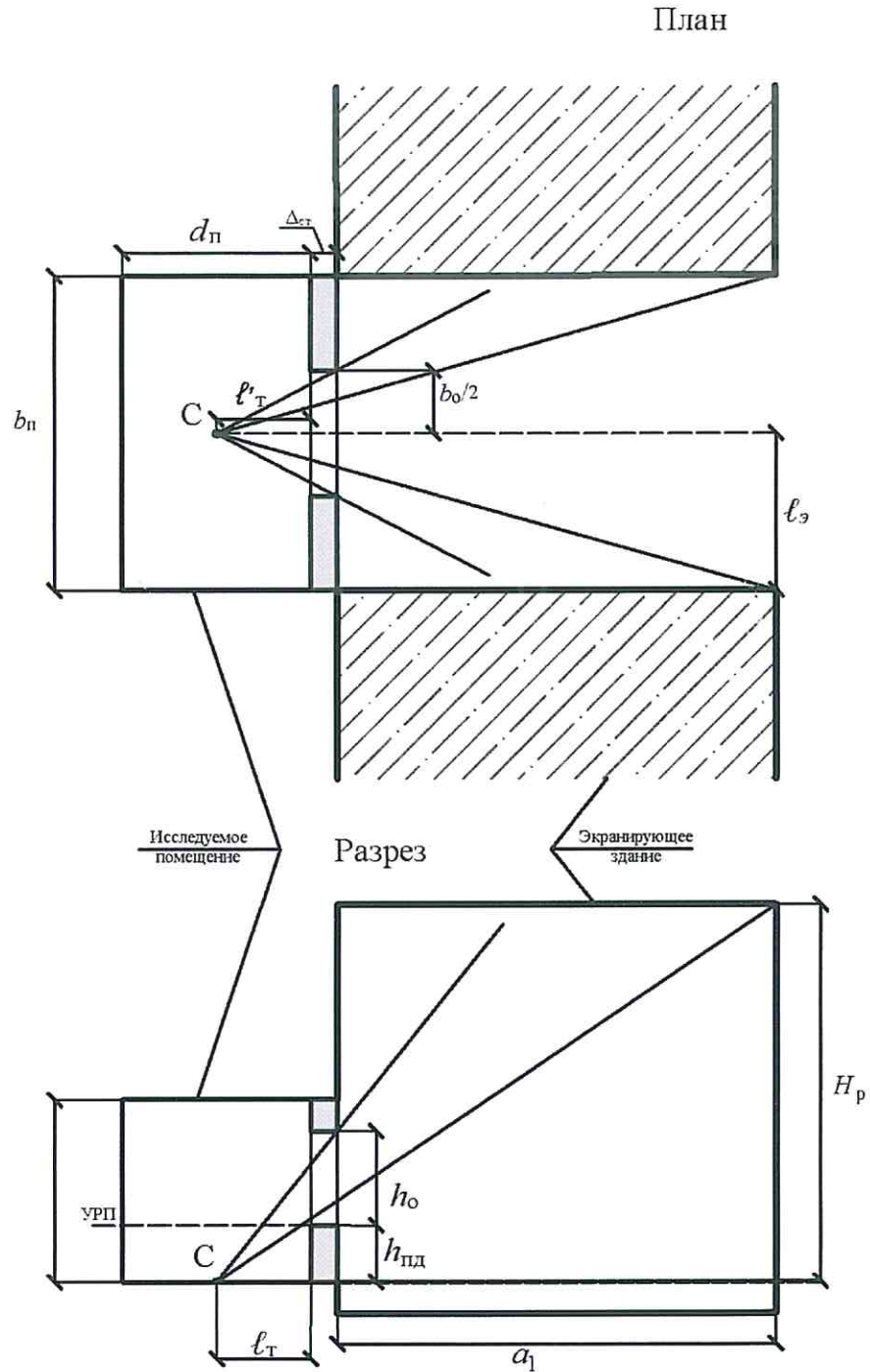


C – расчетная точка;

I–II – участки экранирующих зданий, видимые из расчетной точки через световой проем

Примечание – Другие обозначения см. в разделе 4 и А.3.

Рисунок А.8 – Схема № 6 к определению параметров застройки со смешанным расположением экранирующих зданий



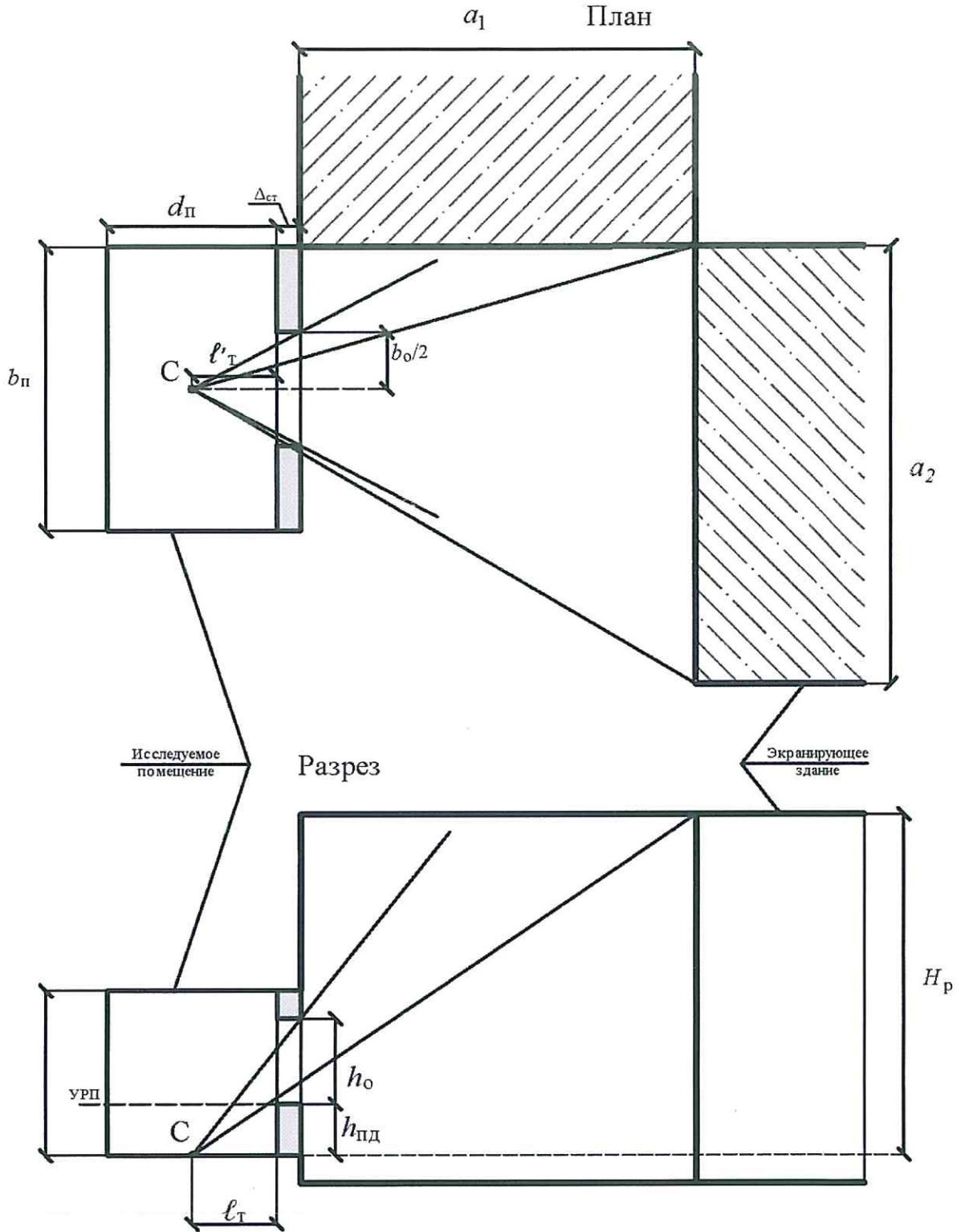
$$z_1 = \frac{2l_3(l_T + \Delta_{CT})}{(a_2 + l_T + \Delta_{CT})b_0}$$

$$z_2 = \frac{H_p}{(h_0 + h_{пд})}$$

C – расчетная точка (расчетная точка смещается с наложением графика);

Примечание – Обозначения см. в разделе 4.

Рисунок А.9 – Схема № 7 к определению параметров П-образной застройки с расчетным зданием, расположенным между двух параллельных зданий

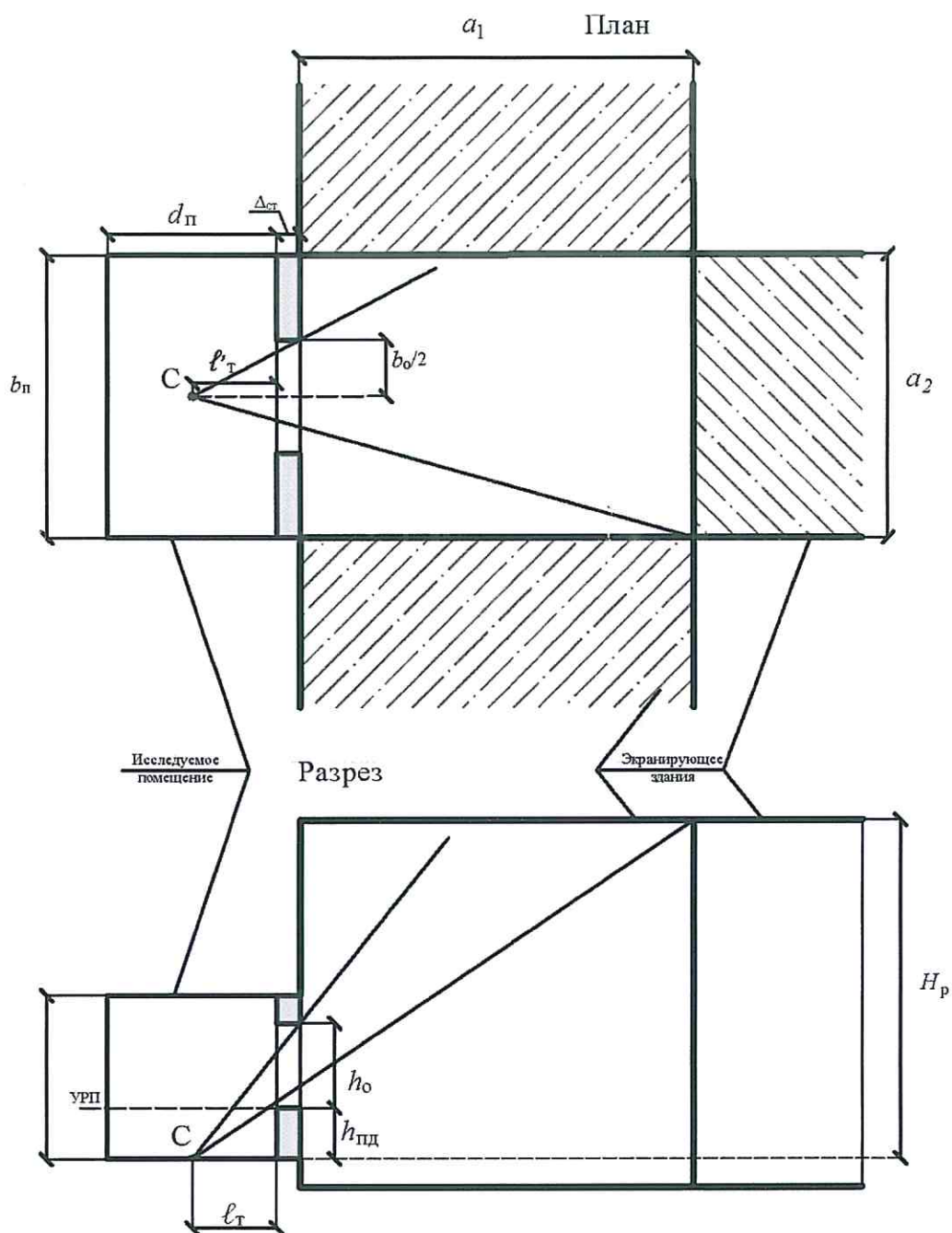


$$z_1 = \frac{a_2(l_T + \Delta_{\text{ст}})}{(a_1 + l_T + \Delta_{\text{ст}})b_0} \quad z_2 = \frac{H_p(l_T + \Delta_{\text{ст}})}{(a_1 + l_T + \Delta_{\text{ст}})(h_0 + h_{\text{пд}})}$$

C – расчетная точка (расчетная точка смещается с наложением графика)

Примечание – Обозначения см. в разделе 4.

Рисунок А.10 – Схема № 8 к определению параметров П-образной застройки с расчетной точкой в одном из параллельных зданий



$$z_1 = \frac{a_2(l_{т} + \Delta_{ст})}{(a_1 + l_{т} + \Delta_{ст})b_0}$$

$$z_2 = \frac{H_p(l_{т} + \Delta_{ст})}{(a_1 + l_{т} + \Delta_{ст})h_1}$$

C – расчетная точка (расчетная точка смещается с наложением графика)

Примечание – Обозначения см. в разделе 4.

Рисунок А.11 – Схема № 9 к определению параметров застройки в форме замкнутого двора

Таблица А.1 – Значения коэффициента $q(\gamma)$

| Угол возвышения середины участка небосвода γ (угловая высота среднего луча i -го участка небосвода), видимого из расчетной точки через световой проем в разрезе помещения, градусы | Значения коэффициента $q(\gamma)$ |
|---------------------------------------------------------------------------------------------------------------------------------------------------------------------------------------------|-----------------------------------|
| 2 | 0,429 |
| 6 | 0,431 |
| 10 | 0,459 |
| 14 | 0,524 |
| 18 | 0,607 |
| 22 | 0,694 |
| 26 | 0,777 |
| 30 | 0,852 |
| 34 | 0,920 |
| 38 | 0,980 |
| 42 | 1,032 |
| 46 | 1,077 |
| 50 | 1,117 |
| 54 | 1,151 |
| 58 | 1,181 |
| 62 | 1,206 |
| 66 | 1,227 |
| 70 | 1,244 |
| 74 | 1,257 |
| 78 | 1,268 |
| 82 | 1,275 |
| 86 | 1,280 |
| 90 | 1,281 |

Примечания

1 При значениях угловых высот среднего луча, отличных от приведенных в настоящей таблице, значения коэффициента $q(\gamma)$ определяют интерполяцией.

2 В практических расчетах угловую высоту среднего луча участка небосвода, видимого из расчетной точки через световой проем в разрезе помещения, следует заменять угловой высотой середины участка небосвода, видимого из расчетной точки через световой проем.

3 При разработке настоящей таблицы частично использованы данные ГОСТ Р 57260.

Таблица А.2 – Средняя относительная яркость фасадов экранирующих (противостоящих) зданий $b_{\text{ф}}$ с параллельным расположением

| Средневзвешенный коэффициент отражения фасада $\rho_{\text{ф}}$ | Отношение расстояния между зданиями l к длине противостоящего здания a | Значение средней относительной яркости фасада $b_{\text{ф}}$ противостоящего здания при отношении длины противостоящего здания a к его расчетной высоте $H_{\text{р}}$ | | | | | | |
|-----------------------------------------------------------------|----------------------------------------------------------------------------|--------------------------------------------------------------------------------------------------------------------------------------------------------------------------|------|------|------|------|------|--------------|
| | | 0,25 и менее | 0,50 | 1,00 | 1,50 | 2,00 | 3,00 | 4,00 и более |
| 0,65 | 2,00 и более | 0,32 | 0,37 | 0,41 | 0,42 | 0,43 | 0,45 | 0,45 |
| 0,65 | 1,00 | 0,27 | 0,30 | 0,35 | 0,37 | 0,39 | 0,40 | 0,40 |
| 0,65 | 0,50 | 0,22 | 0,23 | 0,27 | 0,30 | 0,33 | 0,36 | 0,38 |
| 0,65 | 0,25 | 0,19 | 0,19 | 0,20 | 0,22 | 0,25 | 0,29 | 0,32 |
| 0,60 | 2,00 и более | 0,30 | 0,34 | 0,37 | 0,39 | 0,40 | 0,41 | 0,42 |
| 0,60 | 1,00 | 0,24 | 0,27 | 0,32 | 0,34 | 0,35 | 0,36 | 0,37 |
| 0,60 | 0,50 | 0,20 | 0,20 | 0,24 | 0,28 | 0,30 | 0,33 | 0,34 |
| 0,60 | 0,25 | 0,17 | 0,16 | 0,17 | 0,20 | 0,22 | 0,26 | 0,29 |
| 0,55 | 2,00 и более | 0,27 | 0,31 | 0,34 | 0,36 | 0,37 | 0,37 | 0,38 |
| 0,55 | 1,00 | 0,22 | 0,25 | 0,29 | 0,31 | 0,32 | 0,33 | 0,34 |
| 0,55 | 0,50 | 0,17 | 0,18 | 0,21 | 0,25 | 0,27 | 0,30 | 0,31 |
| 0,55 | 0,25 | 0,14 | 0,14 | 0,15 | 0,17 | 0,19 | 0,23 | 0,26 |
| 0,50 | 2,00 и более | 0,24 | 0,28 | 0,31 | 0,32 | 0,33 | 0,34 | 0,35 |
| 0,50 | 1,00 | 0,19 | 0,22 | 0,26 | 0,28 | 0,29 | 0,30 | 0,30 |
| 0,50 | 0,50 | 0,15 | 0,16 | 0,19 | 0,22 | 0,24 | 0,27 | 0,28 |
| 0,50 | 0,25 | 0,12 | 0,12 | 0,13 | 0,15 | 0,17 | 0,21 | 0,23 |
| 0,45 | 2,00 и более | 0,22 | 0,25 | 0,28 | 0,29 | 0,30 | 0,31 | 0,31 |
| 0,45 | 1,00 | 0,17 | 0,19 | 0,23 | 0,25 | 0,26 | 0,27 | 0,27 |
| 0,45 | 0,50 | 0,13 | 0,14 | 0,17 | 0,19 | 0,21 | 0,24 | 0,25 |
| 0,45 | 0,25 | 0,10 | 0,10 | 0,11 | 0,13 | 0,15 | 0,18 | 0,20 |
| 0,40 | 2,00 и более | 0,19 | 0,22 | 0,25 | 0,26 | 0,26 | 0,27 | 0,28 |
| 0,40 | 1,00 | 0,15 | 0,17 | 0,20 | 0,22 | 0,23 | 0,24 | 0,24 |
| 0,40 | 0,50 | 0,11 | 0,12 | 0,14 | 0,17 | 0,19 | 0,21 | 0,22 |
| 0,40 | 0,25 | 0,09 | 0,09 | 0,10 | 0,11 | 0,13 | 0,16 | 0,18 |
| 0,30 | 2,00 и более | 0,14 | 0,16 | 0,18 | 0,19 | 0,20 | 0,20 | 0,21 |
| 0,30 | 1,00 | 0,11 | 0,12 | 0,15 | 0,16 | 0,17 | 0,18 | 0,18 |
| 0,30 | 0,50 | 0,08 | 0,08 | 0,10 | 0,12 | 0,14 | 0,15 | 0,16 |
| 0,30 | 0,25 | 0,06 | 0,06 | 0,07 | 0,08 | 0,09 | 0,11 | 0,13 |
| 0,20 | 2,00 и более | 0,09 | 0,11 | 0,12 | 0,13 | 0,13 | 0,13 | 0,14 |
| 0,20 | 1,00 | 0,07 | 0,08 | 0,10 | 0,10 | 0,11 | 0,11 | 0,12 |
| 0,20 | 0,50 | 0,05 | 0,05 | 0,07 | 0,08 | 0,09 | 0,10 | 0,10 |
| 0,20 | 0,25 и менее | 0,04 | 0,04 | 0,04 | 0,05 | 0,06 | 0,07 | 0,08 |

Примечание – При значениях параметров $\rho_{\text{ф}}$, l/a , $a/H_{\text{р}}$, отличных от приведенных в настоящей таблице, коэффициент $b_{\text{ф}}$ определяют интерполяцией и экстраполяцией.

Таблица А.3 – Средняя относительная яркость фасадов $b_{\text{ф}}$ экранирующих (противостоящих) зданий в Г-образной застройке для здания a

| Средневзвешенный коэффициент отражения фасада $\rho_{\text{ф}}$ | Отношение длины проектируемого здания a_2 к длине противостоящего здания a_1 | Значение средней относительной яркости фасада $b_{\text{ф}}$ противостоящего здания при отношении длины противостоящего здания a_1 к его расчетной высоте H_p | | | | | | |
|-----------------------------------------------------------------|----------------------------------------------------------------------------------|-------------------------------------------------------------------------------------------------------------------------------------------------------------------|------|------|------|------|------|--------------|
| | | 0,25 | 0,50 | 1,00 | 1,50 | 2,00 | 3,00 | 4,00 и более |
| 0,65 | 2,00 | 0,30 | 0,33 | 0,36 | 0,38 | 0,39 | 0,40 | 0,41 |
| 0,65 | 1,00 | 0,31 | 0,33 | 0,36 | 0,38 | 0,39 | 0,41 | 0,41 |
| 0,65 | 0,50 | 0,33 | 0,34 | 0,36 | 0,38 | 0,39 | 0,41 | 0,41 |
| 0,65 | 0,25 | 0,34 | 0,35 | 0,36 | 0,37 | 0,38 | 0,40 | 0,40 |
| 0,60 | 2,00 | 0,27 | 0,30 | 0,33 | 0,35 | 0,36 | 0,37 | 0,38 |
| 0,60 | 1,00 | 0,28 | 0,30 | 0,33 | 0,35 | 0,36 | 0,37 | 0,38 |
| 0,60 | 0,50 | 0,30 | 0,31 | 0,33 | 0,35 | 0,36 | 0,37 | 0,38 |
| 0,60 | 0,25 | 0,32 | 0,32 | 0,33 | 0,34 | 0,35 | 0,36 | 0,37 |
| 0,55 | 2,00 | 0,25 | 0,27 | 0,30 | 0,32 | 0,33 | 0,34 | 0,34 |
| 0,55 | 1,00 | 0,26 | 0,27 | 0,30 | 0,32 | 0,33 | 0,34 | 0,34 |
| 0,55 | 0,50 | 0,27 | 0,28 | 0,30 | 0,32 | 0,33 | 0,34 | 0,34 |
| 0,55 | 0,25 | 0,29 | 0,29 | 0,30 | 0,31 | 0,32 | 0,33 | 0,34 |
| 0,50 | 2,00 | 0,22 | 0,24 | 0,27 | 0,28 | 0,29 | 0,30 | 0,31 |
| 0,50 | 1,00 | 0,23 | 0,24 | 0,27 | 0,28 | 0,29 | 0,30 | 0,31 |
| 0,50 | 0,50 | 0,25 | 0,25 | 0,27 | 0,28 | 0,29 | 0,30 | 0,31 |
| 0,50 | 0,25 | 0,26 | 0,27 | 0,27 | 0,28 | 0,29 | 0,30 | 0,30 |
| 0,45 | 2,00 | 0,19 | 0,21 | 0,24 | 0,25 | 0,26 | 0,27 | 0,27 |
| 0,45 | 1,00 | 0,20 | 0,21 | 0,24 | 0,25 | 0,26 | 0,27 | 0,28 |
| 0,45 | 0,50 | 0,22 | 0,23 | 0,24 | 0,25 | 0,26 | 0,27 | 0,28 |
| 0,45 | 0,25 | 0,23 | 0,24 | 0,25 | 0,25 | 0,26 | 0,27 | 0,27 |
| 0,40 | 2,00 | 0,17 | 0,18 | 0,21 | 0,22 | 0,23 | 0,24 | 0,24 |
| 0,40 | 1,00 | 0,18 | 0,19 | 0,21 | 0,22 | 0,23 | 0,24 | 0,24 |
| 0,40 | 0,50 | 0,19 | 0,20 | 0,21 | 0,22 | 0,23 | 0,24 | 0,24 |
| 0,40 | 0,25 | 0,20 | 0,21 | 0,22 | 0,22 | 0,23 | 0,24 | 0,24 |
| 0,30 | 2,00 | 0,12 | 0,13 | 0,15 | 0,16 | 0,17 | 0,18 | 0,18 |
| 0,30 | 1,00 | 0,13 | 0,14 | 0,15 | 0,16 | 0,17 | 0,18 | 0,18 |
| 0,30 | 0,50 | 0,14 | 0,15 | 0,16 | 0,17 | 0,17 | 0,18 | 0,18 |
| 0,30 | 0,25 | 0,15 | 0,16 | 0,16 | 0,17 | 0,17 | 0,17 | 0,18 |
| 0,20 | 2,00 | 0,08 | 0,09 | 0,10 | 0,11 | 0,11 | 0,12 | 0,12 |
| 0,20 | 1,00 | 0,08 | 0,09 | 0,10 | 0,11 | 0,11 | 0,12 | 0,12 |
| 0,20 | 0,50 | 0,09 | 0,10 | 0,10 | 0,11 | 0,11 | 0,12 | 0,12 |
| 0,20 | 0,25 | 0,10 | 0,10 | 0,11 | 0,11 | 0,11 | 0,11 | 0,12 |

Примечание – При значениях параметров $\rho_{\text{ф}}$, a_2/a_1 , a_1/H_p , отличных от приведенных в настоящей таблице, коэффициент $b_{\text{ф}}$ определяют интерполяцией и экстраполяцией.

Таблица А.4 – Средняя относительная яркость фасадов $b_{\text{ф}}$ экранирующих (противостоящих) зданий в П-образной застройке для здания, расположенного между двух параллельных зданий

| Средневзвешенный коэффициент отражения фасада $\rho_{\text{ф}}$ | Отношение расстояния между зданиями a_1 к длине противостоящего здания a_2 | Значение средней относительной яркости фасада $b_{\text{ф}}$ противостоящего здания при отношении длины противостоящего здания a_2 к его расчетной высоте $H_{\text{р}}$ | | | | | |
|-----------------------------------------------------------------|--------------------------------------------------------------------------------|----------------------------------------------------------------------------------------------------------------------------------------------------------------------------|------|------|------|------|--------------|
| | | 0,50 | 1,00 | 1,50 | 2,00 | 3,00 | 4,00 и более |
| 0,65 | 2,00 и более | 0,33 | 0,39 | 0,42 | 0,44 | 0,47 | 0,48 |
| 0,65 | 1,00 | 0,23 | 0,34 | 0,41 | 0,46 | 0,52 | 0,55 |
| 0,65 | 0,50 | 0,12 | 0,22 | 0,34 | 0,43 | 0,56 | 0,63 |
| 0,65 | 0,25 | 0,03 | 0,09 | 0,19 | 0,30 | 0,51 | 0,67 |
| 0,60 | 2,00 и более | 0,30 | 0,35 | 0,38 | 0,40 | 0,43 | 0,44 |
| 0,60 | 1,00 | 0,21 | 0,30 | 0,37 | 0,41 | 0,46 | 0,49 |
| 0,60 | 0,50 | 0,11 | 0,20 | 0,30 | 0,38 | 0,49 | 0,56 |
| 0,60 | 0,25 | 0,03 | 0,08 | 0,16 | 0,26 | 0,44 | 0,58 |
| 0,55 | 2,00 и более | 0,27 | 0,32 | 0,35 | 0,36 | 0,38 | 0,40 |
| 0,55 | 1,00 | 0,19 | 0,27 | 0,33 | 0,37 | 0,41 | 0,44 |
| 0,55 | 0,50 | 0,10 | 0,17 | 0,26 | 0,33 | 0,43 | 0,49 |
| 0,55 | 0,25 | 0,03 | 0,07 | 0,14 | 0,22 | 0,37 | 0,49 |
| 0,50 | 2,00 и более | 0,24 | 0,29 | 0,31 | 0,33 | 0,34 | 0,35 |
| 0,50 | 1,00 | 0,17 | 0,24 | 0,29 | 0,32 | 0,36 | 0,39 |
| 0,50 | 0,50 | 0,09 | 0,15 | 0,23 | 0,29 | 0,37 | 0,42 |
| 0,50 | 0,25 | 0,03 | 0,07 | 0,12 | 0,19 | 0,32 | 0,42 |
| 0,45 | 2,00 и более | 0,21 | 0,25 | 0,28 | 0,29 | 0,30 | 0,31 |
| 0,45 | 1,00 | 0,15 | 0,21 | 0,25 | 0,28 | 0,32 | 0,34 |
| 0,45 | 0,50 | 0,08 | 0,13 | 0,19 | 0,25 | 0,32 | 0,36 |
| 0,45 | 0,25 | 0,03 | 0,06 | 0,11 | 0,16 | 0,27 | 0,35 |
| 0,40 | 2,00 и более | 0,19 | 0,22 | 0,24 | 0,25 | 0,27 | 0,27 |
| 0,40 | 1,00 | 0,13 | 0,18 | 0,22 | 0,24 | 0,27 | 0,29 |
| 0,40 | 0,50 | 0,07 | 0,12 | 0,17 | 0,21 | 0,27 | 0,30 |
| 0,40 | 0,25 | 0,03 | 0,05 | 0,09 | 0,14 | 0,22 | 0,29 |
| 0,30 | 2,00 и более | 0,14 | 0,16 | 0,18 | 0,18 | 0,19 | 0,20 |
| 0,30 | 1,00 | 0,09 | 0,13 | 0,16 | 0,17 | 0,19 | 0,20 |
| 0,30 | 0,50 | 0,05 | 0,08 | 0,11 | 0,14 | 0,18 | 0,21 |
| 0,30 | 0,25 | 0,02 | 0,04 | 0,06 | 0,09 | 0,14 | 0,18 |
| 0,20 | 2,00 и более | 0,09 | 0,11 | 0,11 | 0,12 | 0,12 | 0,13 |
| 0,20 | 1,00 | 0,06 | 0,08 | 0,10 | 0,11 | 0,12 | 0,13 |
| 0,20 | 0,50 | 0,03 | 0,05 | 0,07 | 0,09 | 0,11 | 0,12 |
| 0,20 | 0,25 | 0,02 | 0,03 | 0,04 | 0,05 | 0,08 | 0,10 |

Примечание – При значениях параметров $\rho_{\text{ф}}$, a_1/a_2 , $a_2/H_{\text{р}}$, отличных от приведенных в настоящей таблице, коэффициент $b_{\text{ф}}$ определяют интерполяцией и экстраполяцией.

Таблица А.5 – Средняя относительная яркость фасадов $b_{\text{ф}}$ экранирующих (противостоящих) зданий в П-образной застройке для одного из параллельных зданий

| Средневзвешенный коэффициент отражения фасада $\rho_{\text{ф}}$ | Отношение расстояния между зданиями a_1 к длине противостоящего здания a_2 | Значение средней относительной яркости фасада $b_{\text{ф}}$ противостоящего здания при отношении длины противостоящего здания a_2 к его расчетной высоте H_p | | | | | | |
|-----------------------------------------------------------------|--------------------------------------------------------------------------------|-------------------------------------------------------------------------------------------------------------------------------------------------------------------|------|------|------|------|------|--------------|
| | | 0,25 и менее | 0,50 | 1,00 | 1,50 | 2,00 | 3,00 | 4,00 и более |
| 0,65 | 2,00 и более | 0,30 | 0,35 | 0,39 | 0,40 | 0,41 | 0,43 | 0,43 |
| 0,65 | 1,00 | 0,25 | 0,29 | 0,33 | 0,35 | 0,37 | 0,38 | 0,38 |
| 0,65 | 0,50 | 0,21 | 0,22 | 0,26 | 0,28 | 0,32 | 0,34 | 0,36 |
| 0,65 | 0,25 | 0,18 | 0,18 | 0,19 | 0,21 | 0,24 | 0,28 | 0,30 |
| 0,60 | 2,00 и более | 0,29 | 0,32 | 0,35 | 0,37 | 0,38 | 0,39 | 0,40 |
| 0,60 | 1,00 | 0,23 | 0,26 | 0,30 | 0,32 | 0,33 | 0,34 | 0,35 |
| 0,60 | 0,50 | 0,19 | 0,19 | 0,23 | 0,27 | 0,29 | 0,31 | 0,32 |
| 0,60 | 0,25 | 0,16 | 0,16 | 0,19 | 0,19 | 0,21 | 0,25 | 0,28 |
| 0,55 | 2,00 и более | 0,26 | 0,29 | 0,32 | 0,34 | 0,35 | 0,35 | 0,36 |
| 0,55 | 1,00 | 0,21 | 0,24 | 0,28 | 0,29 | 0,30 | 0,31 | 0,32 |
| 0,55 | 0,50 | 0,16 | 0,17 | 0,20 | 0,24 | 0,26 | 0,29 | 0,29 |
| 0,55 | 0,25 | 0,13 | 0,13 | 0,14 | 0,16 | 0,18 | 0,22 | 0,25 |
| 0,50 | 2,00 и более | 0,23 | 0,27 | 0,29 | 0,30 | 0,31 | 0,32 | 0,33 |
| 0,50 | 1,00 | 0,18 | 0,21 | 0,25 | 0,27 | 0,28 | 0,29 | 0,29 |
| 0,50 | 0,50 | 0,14 | 0,15 | 0,17 | 0,21 | 0,23 | 0,26 | 0,27 |
| 0,50 | 0,25 | 0,11 | 0,11 | 0,12 | 0,14 | 0,16 | 0,20 | 0,22 |
| 0,45 | 2,00 и более | 0,21 | 0,24 | 0,27 | 0,28 | 0,29 | 0,29 | 0,29 |
| 0,45 | 1,00 | 0,16 | 0,18 | 0,22 | 0,24 | 0,25 | 0,26 | 0,26 |
| 0,45 | 0,50 | 0,12 | 0,13 | 0,16 | 0,18 | 0,20 | 0,23 | 0,24 |
| 0,45 | 0,25 | 0,10 | 0,10 | 0,10 | 0,12 | 0,14 | 0,17 | 0,19 |
| 0,40 | 2,00 и более | 0,18 | 0,21 | 0,24 | 0,25 | 0,25 | 0,26 | 0,27 |
| 0,40 | 1,00 | 0,14 | 0,16 | 0,19 | 0,21 | 0,22 | 0,23 | 0,23 |
| 0,40 | 0,50 | 0,10 | 0,11 | 0,13 | 0,16 | 0,18 | 0,20 | 0,21 |
| 0,40 | 0,25 | 0,09 | 0,09 | 0,10 | 0,10 | 0,12 | 0,15 | 0,17 |
| 0,30 | 2,00 и более | 0,13 | 0,15 | 0,17 | 0,18 | 0,19 | 0,19 | 0,20 |
| 0,30 | 1,00 | 0,10 | 0,11 | 0,14 | 0,15 | 0,16 | 0,17 | 0,17 |
| 0,30 | 0,50 | 0,08 | 0,08 | 0,10 | 0,11 | 0,13 | 0,14 | 0,15 |
| 0,30 | 0,25 | 0,06 | 0,06 | 0,07 | 0,08 | 0,09 | 0,10 | 0,12 |
| 0,20 | 2,00 и более | 0,09 | 0,10 | 0,11 | 0,12 | 0,12 | 0,12 | 0,13 |
| 0,20 | 1,00 | 0,07 | 0,08 | 0,10 | 0,10 | 0,10 | 0,11 | 0,11 |
| 0,20 | 0,50 | 0,05 | 0,05 | 0,06 | 0,07 | 0,08 | 0,10 | 0,10 |
| 0,20 | 0,25 | 0,04 | 0,04 | 0,04 | 0,05 | 0,06 | 0,07 | 0,08 |

Примечание – При значениях параметров $\rho_{\text{ф}}$, a_1/a_2 , a_2/H_p , отличных от приведенных в настоящей таблице, коэффициент $b_{\text{ф}}$ определяют интерполяцией и экстраполяцией.

Таблица А.6 – Средняя относительная яркость фасадов $b_{\text{ф}}$ экранирующих (противостоящих) зданий в форме замкнутого двора

| Средневзвешенный коэффициент отражения фасада $\rho_{\text{ф}}$ | Отношение расстояния между зданиями a_1 к длине противостоящего здания a_2 | Значение средней относительной яркости фасада $b_{\text{ф}}$ противостоящего здания при отношении длины противостоящего здания a_2 к его расчетной высоте $H_{\text{р}}$ | | | | | |
|-----------------------------------------------------------------|--------------------------------------------------------------------------------|----------------------------------------------------------------------------------------------------------------------------------------------------------------------------|------|------|------|------|--------------|
| | | 0,50 | 1,00 | 1,50 | 2,00 | 3,00 | 4,00 и более |
| 0,65 | 2,00 и более | 0,18 | 0,32 | 0,37 | 0,39 | 0,41 | 0,42 |
| 0,65 | 1,00 | 0,09 | 0,29 | 0,36 | 0,39 | 0,42 | 0,42 |
| 0,65 | 0,50 | 0,04 | 0,21 | 0,32 | 0,37 | 0,41 | 0,43 |
| 0,65 | 0,25 | 0,04 | 0,12 | 0,21 | 0,28 | 0,36 | 0,40 |
| 0,60 | 2,00 и более | 0,15 | 0,28 | 0,33 | 0,35 | 0,37 | 0,38 |
| 0,60 | 1,00 | 0,08 | 0,25 | 0,32 | 0,35 | 0,37 | 0,38 |
| 0,60 | 0,50 | 0,03 | 0,18 | 0,27 | 0,32 | 0,37 | 0,38 |
| 0,60 | 0,25 | 0,03 | 0,10 | 0,17 | 0,23 | 0,31 | 0,35 |
| 0,55 | 2,00 и более | 0,13 | 0,25 | 0,29 | 0,32 | 0,33 | 0,34 |
| 0,55 | 1,00 | 0,07 | 0,22 | 0,28 | 0,31 | 0,34 | 0,34 |
| 0,55 | 0,50 | 0,02 | 0,15 | 0,23 | 0,28 | 0,32 | 0,34 |
| 0,55 | 0,25 | 0,03 | 0,08 | 0,14 | 0,20 | 0,27 | 0,31 |
| 0,50 | 2,00 и более | 0,11 | 0,22 | 0,26 | 0,28 | 0,30 | 0,31 |
| 0,50 | 1,00 | 0,06 | 0,19 | 0,25 | 0,27 | 0,30 | 0,31 |
| 0,50 | 0,50 | 0,02 | 0,13 | 0,20 | 0,24 | 0,28 | 0,30 |
| 0,50 | 0,25 | 0,02 | 0,07 | 0,12 | 0,17 | 0,23 | 0,27 |
| 0,45 | 2,00 и более | 0,10 | 0,19 | 0,23 | 0,25 | 0,26 | 0,27 |
| 0,45 | 1,00 | 0,05 | 0,16 | 0,21 | 0,24 | 0,26 | 0,27 |
| 0,45 | 0,50 | 0,02 | 0,11 | 0,17 | 0,21 | 0,25 | 0,26 |
| 0,45 | 0,25 | 0,02 | 0,06 | 0,10 | 0,14 | 0,20 | 0,23 |
| 0,40 | 2,00 и более | 0,08 | 0,16 | 0,20 | 0,21 | 0,23 | 0,24 |
| 0,40 | 1,00 | 0,04 | 0,14 | 0,18 | 0,21 | 0,23 | 0,24 |
| 0,40 | 0,50 | 0,01 | 0,09 | 0,14 | 0,18 | 0,21 | 0,23 |
| 0,40 | 0,25 | 0,01 | 0,05 | 0,08 | 0,12 | 0,17 | 0,19 |
| 0,30 | 2,00 и более | 0,06 | 0,11 | 0,14 | 0,15 | 0,17 | 0,17 |
| 0,30 | 1,00 | 0,03 | 0,09 | 0,13 | 0,15 | 0,16 | 0,17 |
| 0,30 | 0,50 | 0,01 | 0,06 | 0,10 | 0,12 | 0,15 | 0,16 |
| 0,30 | 0,25 | 0,01 | 0,03 | 0,06 | 0,08 | 0,11 | 0,14 |
| 0,20 | 2,00 и более | 0,03 | 0,07 | 0,09 | 0,10 | 0,11 | 0,11 |
| 0,20 | 1,00 | 0,02 | 0,06 | 0,08 | 0,09 | 0,11 | 0,11 |
| 0,20 | 0,50 | 0,01 | 0,04 | 0,06 | 0,08 | 0,09 | 0,10 |
| 0,20 | 0,25 | 0,01 | 0,02 | 0,03 | 0,05 | 0,07 | 0,08 |

Примечание – При значении параметров $\rho_{\text{ф}}$, a_1/a_2 , $a_2/H_{\text{р}}$, отличных от приведенных в настоящей таблице, коэффициент $b_{\text{ф}}$ определяют интерполяцией.

Таблица А.7 – Коэффициенты отражения фасадных отделочных материалов

| Наименование | Интегральный коэффициент интегрального отражения света ρ , отн. ед. |
|----------------------------------------------------------------------------------------------------|--------------------------------------------------------------------------|
| Лицевой кирпич | |
| Фасадный белый | 0,70–0,72 |
| Фасадный «слоновая кость» | 0,58–0,60 |
| Фасадный светло-соломенный | 0,52–0,54 |
| Фасадный соломенный | 0,43–0,52 |
| Силикатный серый | 0,40–0,41 |
| Фасадный желтый | 0,33–0,35 |
| Фасадный красный | 0,30–0,32 |
| Фасадный коричневый | 0,13–0,18 |
| Керамогранит | |
| Белый | 0,80–0,87 |
| «Слоновая кость» | 0,64–0,67 |
| Светло-серый | 0,55–0,60 |
| Светло-зеленый | 0,40–0,42 |
| Светло-коричневый | 0,35–0,39 |
| Коричневый | 0,18–0,20 |
| Черный | 0,12–0,15 |
| Примечание – Точные значения коэффициентов отражения света определяют измерениями по ГОСТ Р 56709. | |

Таблица А.8 – Коэффициенты диффузного и зеркального отражения и фасадного остекления¹⁾

| Тип стекла, номинальная толщина | Коэффициент отражения | |
|---------------------------------------------------------------|------------------------|-------------------------|
| | диффузного ρ_d | зеркального ρ_z |
| Стекло без покрытий | | |
| Флоат-стекло, 4 мм | 0,011 | 0,083 |
| Флоат-стекло, 6 мм | 0,023 | 0,084 |
| Стекла с низкоэмиссионными покрытиями | | |
| И-стекла (мягкие покрытия), 4 мм | 0,011–0,058 | 0,037–0,080 |
| К-стекло (твердое покрытие), 4 мм | 0,027 | 0,11 |
| Стекла с мультифункциональными покрытиями | | |
| И-стекла (мультифункциональные покрытия), 4 мм | 0,017–0,020 | 0,054–0,24 |
| К-стекла (мультифункциональные покрытия), 6 мм | 0,023–0,079 | 0,15–0,22 |
| Стекла с солнцезащитными покрытиями | | |
| Солнцезащитное с твердым покрытием (бронзовый оттенок), 6 мм | 0,36 | 0,42 |
| Солнцезащитные с мягкими покрытиями (бронзовый оттенок), 4 мм | 0,12–0,16 | 0,31–0,43 |

| | | |
|-------------------------------------------------------------------------------------------------------------------------------------------------------------------------------------------------------------------------|-----------|-----------|
| Солнцезащитное с твердым покрытием (серебристый оттенок), 6 мм | 0,36 | 0,41 |
| Солнцезащитное с мягким покрытием (серебристый оттенок), 4 мм | 0,43 | 0,38 |
| Солнцезащитное с мягким покрытием (золотой оттенок), 4 мм | 0,26 | 0,34 |
| Солнцезащитные с мягкими покрытиями (голубой оттенок), 4 мм | 0,18–0,20 | 0,31–0,35 |
| Солнцезащитные с мягкими покрытиями (зеленый оттенок), 4 мм | 0,10–0,20 | 0,30–0,46 |
| Солнцезащитные с мягкими покрытиями (серый оттенок), 4 мм | 0,10–0,22 | 0,31–0,43 |
| ¹⁾ Характеристики остекления рассчитывают по ГОСТ EN 410. Для получения характеристик конкретного стекла и стеклопакета необходимо использовать данные производителей либо провести измерения в лаборатории. | | |

Таблица А.9 – Коэффициенты отражения окрашиваемых внутренних поверхностей жилых и общественных помещений

| Цвета окрашиваемых поверхностей и отделочных материалов | Коэффициент отражения, отн. ед. |
|----------------------------------------------------------------------------------------------------|---------------------------------|
| Белый | 0,85–0,87 |
| Белый полуматовый | 0,78–0,82 |
| Слоновая кость | 0,73–0,75 |
| Кремово-белый | 0,55–0,72 |
| Салатовый (желто-зеленый) | 0,54–0,70 |
| Светло-розовый | 0,49–0,69 |
| Светло-бежевый | 0,55–0,62 |
| Светло-желтый | 0,55–0,70 |
| Светло-красный | 0,54–0,56 |
| Светло-серый | 0,53–0,60 |
| Серый | 0,30–0,36 |
| Темно-коричневый | 0,20–0,22 |
| Черный | 0,12–0,15 |
| Примечание – Точные значения коэффициентов отражения света определяют измерениями по ГОСТ Р 56709. | |

Таблица А.10 – Коэффициент k_0 для условной рабочей поверхности на 0,8 м от пола

| Отношение глубины помещения $d_{пн}$ к высоте от уровня УРП до верха окна h_{01} | Средневзвешенный коэффициент ограждения пола, стен, окон и потолка $\rho_{ср}$ | | | | | | | | | | | | | | | |
|------------------------------------------------------------------------------------------------------------------|--------------------------------------------------------------------------------|------|------|------|------|------|------|------|------|------|------|------|------|------|------|------|
| | 0,65 | 0,60 | 0,55 | 0,50 | 0,45 | 0,35 | | | | | | | | | | |
| | Отношение ширины помещения $b_{пн}$ к его глубине $d_{пн}$ | | | | | | | | | | | | | | | |
| | 0,5 | 1,0 | 2,0 | 0,5 | 1,0 | 2,0 | 0,5 | 1,0 | 2,0 | 0,5 | 1,0 | 2,0 | 0,5 | 1,0 | 2,0 | |
| Отношение расстояния расчетной точки от внутренней поверхности наружной стены l_T к глубине помещения $d_{пн}$ | 1,04 | 1,03 | 1,03 | 1,03 | 1,03 | 1,02 | 1,03 | 1,03 | 1,02 | 1,02 | 1,02 | 1,02 | 1,02 | 1,01 | 1,01 | 1,01 |
| 0,10 | 1,75 | 1,67 | 1,52 | 1,66 | 1,59 | 1,46 | 1,56 | 1,51 | 1,39 | 1,47 | 1,42 | 1,33 | 1,37 | 1,34 | 1,26 | 1,19 |
| 0,50 | 3,12 | 2,91 | 2,48 | 2,86 | 2,67 | 2,30 | 2,59 | 2,43 | 2,11 | 2,33 | 2,19 | 1,93 | 2,06 | 1,95 | 1,74 | 1,53 |
| 0,90 | 1,11 | 1,10 | 1,08 | 1,10 | 1,09 | 1,07 | 1,08 | 1,08 | 1,06 | 1,07 | 1,06 | 1,05 | 1,06 | 1,05 | 1,04 | 1,03 |
| 0,10 | 1,36 | 1,33 | 1,25 | 1,32 | 1,29 | 1,22 | 1,27 | 1,25 | 1,19 | 1,23 | 1,20 | 1,16 | 1,18 | 1,16 | 1,13 | 1,09 |
| 0,20 | 1,82 | 1,74 | 1,57 | 1,72 | 1,64 | 1,50 | 1,61 | 1,55 | 1,43 | 1,51 | 1,46 | 1,36 | 1,41 | 1,37 | 1,29 | 1,20 |
| 0,30 | 2,46 | 2,32 | 2,02 | 2,28 | 2,15 | 1,90 | 2,10 | 1,99 | 1,77 | 1,91 | 1,82 | 1,64 | 1,73 | 1,66 | 1,51 | 1,37 |
| 0,40 | 3,25 | 3,02 | 2,57 | 2,97 | 2,77 | 2,38 | 2,68 | 2,52 | 2,18 | 2,40 | 2,26 | 1,98 | 2,12 | 2,01 | 1,79 | 1,56 |
| 0,50 | 4,14 | 3,82 | 3,20 | 3,75 | 3,47 | 2,92 | 3,35 | 3,12 | 2,65 | 2,96 | 2,76 | 2,37 | 2,57 | 2,41 | 2,10 | 1,78 |
| 0,60 | 5,12 | 4,71 | 3,89 | 4,61 | 4,25 | 3,52 | 4,09 | 3,78 | 3,16 | 3,58 | 3,32 | 2,80 | 3,06 | 2,86 | 2,44 | 2,03 |
| 0,70 | 6,20 | 5,68 | 4,64 | 5,55 | 5,09 | 4,18 | 4,90 | 4,51 | 3,73 | 4,25 | 3,92 | 3,27 | 3,60 | 3,34 | 2,82 | 2,30 |
| 0,80 | 7,36 | 6,73 | 5,45 | 6,57 | 6,01 | 4,90 | 5,77 | 5,29 | 4,34 | 4,98 | 4,58 | 3,78 | 4,18 | 3,86 | 3,23 | 2,59 |
| 0,90 | 1,19 | 1,17 | 1,13 | 1,16 | 1,15 | 1,11 | 1,14 | 1,13 | 1,10 | 1,12 | 1,11 | 1,08 | 1,09 | 1,08 | 1,07 | 1,05 |
| 0,10 | 1,61 | 1,55 | 1,42 | 1,53 | 1,48 | 1,37 | 1,45 | 1,41 | 1,32 | 1,38 | 1,34 | 1,27 | 1,30 | 1,27 | 1,21 | 1,15 |
| 0,20 | 2,36 | 2,23 | 1,96 | 2,19 | 2,07 | 1,84 | 2,02 | 1,92 | 1,72 | 1,85 | 1,77 | 1,60 | 1,68 | 1,61 | 1,48 | 1,34 |
| 0,30 | 3,44 | 3,19 | 2,71 | 3,13 | 2,92 | 2,49 | 2,83 | 2,65 | 2,28 | 2,52 | 2,37 | 2,07 | 2,22 | 2,10 | 1,85 | 1,61 |
| 0,40 | 4,74 | 4,37 | 3,62 | 4,28 | 3,95 | 3,29 | 3,81 | 3,53 | 2,97 | 3,34 | 3,11 | 2,64 | 2,87 | 2,68 | 2,31 | 1,94 |
| 0,50 | 6,23 | 5,71 | 4,66 | 5,58 | 5,12 | 4,20 | 4,92 | 4,53 | 3,75 | 4,27 | 3,94 | 3,29 | 3,61 | 3,35 | 2,83 | 2,31 |
| 0,60 | 7,87 | 7,18 | 5,81 | 7,01 | 6,41 | 5,21 | 6,15 | 5,64 | 4,61 | 5,29 | 4,86 | 4,01 | 4,44 | 4,09 | 3,40 | 2,72 |
| 0,70 | | | | | | | | | | | | | | | | |

В НАБОР

| | | | | | | | | | | | | | | | | | | | |
|------|------|-------|-------|------|-------|------|------|------|------|------|------|------|------|------|------|------|------|------|------|
| 5,00 | 0,80 | 9,66 | 8,80 | 7,06 | 8,58 | 7,82 | 6,31 | 7,50 | 6,85 | 5,55 | 6,41 | 5,87 | 4,79 | 5,33 | 4,90 | 4,03 | 3,17 | 2,95 | 2,52 |
| 5,00 | 0,90 | 11,60 | 10,54 | 8,42 | 10,28 | 9,35 | 7,49 | 8,95 | 8,16 | 6,57 | 7,63 | 6,96 | 5,64 | 6,30 | 5,77 | 4,71 | 3,65 | 3,39 | 2,86 |

Примечания

1 При промежуточных значениях $d_{п}/h_{01}$, $l_{п}/d_{п}$, $b_{п}/d_{п}$ и $\rho_{ср}$ коэффициент r_0 определяют интерполяцией и экстраполяцией.

2 Средневзвешенный коэффициент отражения помещения (пола, стен, потолка и окна) рассчитывают по формуле

$$\rho_{ср} = \frac{\rho_{п} S_{п} + \rho_{пот} S_{пот} + \rho_{ст} S_{ст} + \rho_{о} S_{о}}{S_{п} + S_{пот} + S_{ст} + S_{о}},$$

где $\rho_{п}$, $\rho_{ст}$, $\rho_{пот}$, $\rho_{о}$ – коэффициенты отражения материала пола, стен, потолка и окна соответственно (по таблице А.9 или по данным измерений); $S_{п}$, $S_{ст}$, $S_{пот}$, $S_{о}$ – площадь пола, стен, потолка и окна соответственно.

Если коэффициенты отражения света отделки поверхностей помещения неизвестны, то для помещений жилых и общественных зданий средневзвешенный коэффициент отражения $\rho_{ср}$ следует принимать равным 0,55.

В НАБОР

Таблица А.11 – Коэффициент, учитывающий r_0 на полу

| Отношение глубины помещения $d_{п1}$ к высоте от уровня УРП до верха окна h_{01} | Средневзвешенный коэффициент отражения пола, стен, окон и потолка $\rho_{ср}$ | | | | | | | | | | | |
|--------------------------------------------------------------------------------------------------------------------|-------------------------------------------------------------------------------|------|------|------|------|------|------|------|------|------|------|------|
| | 0,65 | | 0,60 | | 0,55 | | 0,50 | | 0,45 | | 0,35 | |
| | 0,5 | 1,0 | 0,5 | 1,0 | 0,5 | 1,0 | 0,5 | 1,0 | 0,5 | 1,0 | 0,5 | 1,0 |
| Отношение расстояния расчетной точки от внутренней поверхности наружной стены $l_{тк}$ к глубине помещения $d_{п}$ | Отношение ширины помещения $b_{п}$ к его глубине $d_{п}$ | | | | | | | | | | | |
| 1,00 | 1,05 | 1,05 | 1,05 | 1,05 | 1,05 | 1,05 | 1,05 | 1,05 | 1,05 | 1,05 | 1,05 | 1,05 |
| 1,00 | 1,54 | 1,48 | 1,36 | 1,46 | 1,41 | 1,31 | 1,39 | 1,34 | 1,25 | 1,31 | 1,27 | 1,20 |
| 1,00 | 2,53 | 2,36 | 2,03 | 2,32 | 2,17 | 1,88 | 2,10 | 1,98 | 1,72 | 1,89 | 1,79 | 1,57 |
| 3,00 | 1,07 | 1,07 | 1,07 | 1,07 | 1,07 | 1,07 | 1,06 | 1,06 | 1,06 | 1,06 | 1,06 | 1,05 |
| 3,00 | 1,05 | 1,05 | 1,05 | 1,04 | 1,04 | 1,04 | 1,04 | 1,04 | 1,04 | 1,03 | 1,03 | 1,03 |
| 3,00 | 1,36 | 1,33 | 1,26 | 1,32 | 1,29 | 1,23 | 1,27 | 1,24 | 1,19 | 1,22 | 1,20 | 1,16 |
| 3,00 | 1,98 | 1,88 | 1,68 | 1,85 | 1,77 | 1,59 | 1,73 | 1,65 | 1,50 | 1,60 | 1,54 | 1,41 |
| 3,00 | 2,74 | 2,56 | 2,21 | 2,51 | 2,36 | 2,05 | 2,29 | 2,16 | 1,89 | 2,06 | 1,95 | 1,73 |
| 3,00 | 3,54 | 3,28 | 2,76 | 3,21 | 2,98 | 2,53 | 2,88 | 2,68 | 2,26 | 2,55 | 2,39 | 2,06 |
| 3,00 | 4,34 | 3,99 | 3,31 | 3,90 | 3,60 | 3,00 | 3,47 | 3,22 | 2,70 | 3,04 | 2,83 | 2,40 |
| 3,00 | 5,13 | 4,71 | 3,86 | 4,60 | 4,23 | 3,48 | 4,06 | 3,74 | 3,11 | 3,53 | 3,26 | 2,73 |
| 3,00 | 5,93 | 5,42 | 4,41 | 5,29 | 4,85 | 3,96 | 4,65 | 4,27 | 3,51 | 4,02 | 3,70 | 3,06 |
| 5,00 | 1,09 | 1,09 | 1,09 | 1,09 | 1,09 | 1,09 | 1,08 | 1,08 | 1,08 | 1,08 | 1,07 | 1,07 |
| 5,00 | 1,07 | 1,07 | 1,07 | 1,06 | 1,06 | 1,06 | 1,06 | 1,06 | 1,06 | 1,05 | 1,05 | 1,05 |
| 5,00 | 1,61 | 1,55 | 1,44 | 1,53 | 1,48 | 1,38 | 1,46 | 1,41 | 1,33 | 1,38 | 1,34 | 1,27 |
| 5,00 | 2,66 | 2,49 | 2,16 | 2,45 | 2,30 | 2,01 | 2,24 | 2,11 | 1,86 | 2,02 | 1,92 | 1,71 |
| 5,00 | 3,94 | 3,65 | 3,05 | 3,57 | 3,31 | 2,79 | 3,19 | 2,97 | 2,52 | 2,82 | 2,63 | 2,26 |
| 5,00 | 5,29 | 4,85 | 3,99 | 4,74 | 4,36 | 3,60 | 4,19 | 3,87 | 3,22 | 3,65 | 3,38 | 2,83 |
| 5,00 | 6,64 | 6,06 | 4,92 | 5,92 | 5,42 | 4,42 | 5,20 | 4,77 | 3,91 | 4,48 | 4,12 | 3,41 |

В НАБОР

| | | | | | | | | | | | | | | | | | | | |
|------|------|------|------|------|------|------|------|------|------|------|------|------|------|------|------|------|------|------|------|
| 5,00 | 0,80 | 7,98 | 7,27 | 5,85 | 7,09 | 6,47 | 5,23 | 6,20 | 5,67 | 4,61 | 5,31 | 4,87 | 3,98 | 4,42 | 4,07 | 3,36 | 2,64 | 2,46 | 2,11 |
| 5,00 | 0,90 | 9,32 | 8,48 | 6,79 | 8,26 | 7,52 | 6,04 | 7,20 | 6,57 | 5,30 | 6,14 | 5,61 | 4,56 | 5,08 | 4,66 | 3,81 | 2,96 | 2,75 | 2,32 |

Примечания

1 При промежуточных значениях $d_{п}/h_{01}$, $l_{п}/d_{п}$, $b_{п}/d_{п}$ и $\rho_{ср}$ коэффициент r_0 определяют интерполяцией и экстраполяцией.

2 Средневзвешенный коэффициент отражения помещения (пола, стен, потолка и окна) рассчитывают по формуле

$$\rho_{ср} = \frac{\rho_{п} S_{п} + \rho_{пот} S_{пот} + \rho_{ст} S_{ст} + \rho_{о} S_{о}}{S_{п} + S_{пот} + S_{ст} + S_{о}},$$

где $\rho_{п}$, $\rho_{ст}$, $\rho_{пот}$, $\rho_{о}$ – коэффициенты отражения материала пола, стен, потолка и окна соответственно (по таблице А.9 или по данным измерений); $S_{п}$, $S_{ст}$, $S_{пот}$, $S_{о}$ – площадь пола, стен, потолка и окна соответственно.

Если коэффициенты отражения света отделки поверхностей помещения неизвестны, то для помещений жилых и общественных зданий средневзвешенный коэффициент отражения $\rho_{ср}$ следует принимать равным 0,55.

В НАБОР

Таблица А.12 – Коэффициент $K_{зд0}$, учитывающий изменение внутренней отраженной составляющей КЕО в помещении при полном закрытии небосвода зданиями при параллельном расположении

| Средневзвешенный коэффициент отражения | | Индекс противостоящего здания в плане z_1 | Значения коэффициента $K_{зд0}$ при значениях индекса противостоящего здания в разрезе z_2 | | | | | |
|----------------------------------------------------------------------------------------------|-------------------------------------------------|---------------------------------------------|----------------------------------------------------------------------------------------------|------|------|------|------|--------------|
| фасада экранирующего здания ρ_f | внутренней поверхности помещения $\rho_{ср}$ | | 0,10 и менее | 0,50 | 1,00 | 1,50 | 2,00 | 4,00 и более |
| Отношение расстояния расчетной точки от наружной стены к глубине помещения $l/d_n = 0,90$ | | | | | | | | |
| 0,65 | 0,55 | 0,5 | 1,00 | 1,54 | 1,62 | 1,58 | 1,46 | 1,10 |
| 0,65 | 0,55 | 2,0 | 1,00 | 1,47 | 1,56 | 1,54 | 1,43 | 1,10 |
| 0,65 | 0,55 | 4,0 | 1,00 | 1,39 | 1,48 | 1,49 | 1,39 | 1,11 |
| 0,65 | 0,50 | 0,5 | 1,00 | 1,47 | 1,56 | 1,53 | 1,42 | 1,08 |
| 0,65 | 0,50 | 2,0 | 1,00 | 1,41 | 1,50 | 1,49 | 1,39 | 1,09 |
| 0,65 | 0,50 | 4,0 | 1,00 | 1,34 | 1,43 | 1,44 | 1,35 | 1,09 |
| 0,65 | 0,45 | 0,5 | 1,00 | 1,40 | 1,49 | 1,48 | 1,38 | 1,06 |
| 0,65 | 0,45 | 2,0 | 1,00 | 1,35 | 1,44 | 1,45 | 1,35 | 1,07 |
| 0,65 | 0,45 | 4,0 | 1,00 | 1,29 | 1,38 | 1,40 | 1,30 | 1,07 |
| 0,65 | 0,40 | 0,5 | 1,00 | 1,34 | 1,43 | 1,44 | 1,34 | 1,04 |
| 0,65 | 0,40 | 2,0 | 1,00 | 1,29 | 1,38 | 1,40 | 1,31 | 1,05 |
| 0,65 | 0,40 | 4,0 | 1,00 | 1,23 | 1,32 | 1,35 | 1,26 | 1,06 |
| 0,60 | 0,55 | 0,5 | 1,00 | 1,59 | 1,68 | 1,62 | 1,51 | 1,12 |
| 0,60 | 0,55 | 2,0 | 1,00 | 1,53 | 1,62 | 1,59 | 1,47 | 1,13 |
| 0,60 | 0,55 | 4,0 | 1,00 | 1,45 | 1,54 | 1,54 | 1,43 | 1,14 |
| 0,60 | 0,50 | 0,5 | 1,00 | 1,53 | 1,61 | 1,58 | 1,47 | 1,10 |
| 0,60 | 0,50 | 2,0 | 1,00 | 1,47 | 1,56 | 1,54 | 1,43 | 1,11 |
| 0,60 | 0,50 | 4,0 | 1,00 | 1,40 | 1,49 | 1,49 | 1,39 | 1,12 |
| 0,60 | 0,45 | 0,5 | 1,00 | 1,46 | 1,55 | 1,53 | 1,42 | 1,08 |
| 0,60 | 0,45 | 2,0 | 1,00 | 1,41 | 1,50 | 1,49 | 1,39 | 1,09 |
| 0,60 | 0,45 | 4,0 | 1,00 | 1,34 | 1,43 | 1,44 | 1,35 | 1,10 |
| 0,60 | 0,40 | 0,5 | 1,00 | 1,40 | 1,48 | 1,48 | 1,38 | 1,06 |
| 0,60 | 0,40 | 2,0 | 1,00 | 1,35 | 1,44 | 1,45 | 1,35 | 1,07 |
| 0,60 | 0,40 | 4,0 | 1,00 | 1,29 | 1,38 | 1,40 | 1,31 | 1,08 |
| 0,50 | 0,55 | 0,5 | 1,00 | 1,71 | 1,79 | 1,72 | 1,59 | 1,16 |
| 0,50 | 0,55 | 2,0 | 1,00 | 1,64 | 1,73 | 1,68 | 1,56 | 1,17 |
| 0,50 | 0,55 | 4,0 | 1,00 | 1,56 | 1,65 | 1,63 | 1,51 | 1,18 |
| 0,50 | 0,50 | 0,5 | 1,00 | 1,64 | 1,73 | 1,67 | 1,55 | 1,14 |
| 0,50 | 0,50 | 2,0 | 1,00 | 1,58 | 1,67 | 1,63 | 1,52 | 1,15 |
| 0,50 | 0,50 | 4,0 | 1,00 | 1,51 | 1,60 | 1,58 | 1,47 | 1,16 |
| 0,50 | 0,45 | 0,5 | 1,00 | 1,57 | 1,66 | 1,62 | 1,51 | 1,12 |
| 0,50 | 0,45 | 2,0 | 1,00 | 1,52 | 1,61 | 1,59 | 1,47 | 1,13 |
| 0,50 | 0,45 | 4,0 | 1,00 | 1,46 | 1,54 | 1,54 | 1,43 | 1,14 |
| 0,50 | 0,40 | 0,5 | 1,00 | 1,51 | 1,60 | 1,58 | 1,47 | 1,10 |
| 0,50 | 0,40 | 2,0 | 1,00 | 1,46 | 1,55 | 1,54 | 1,43 | 1,11 |
| 0,50 | 0,40 | 4,0 | 1,00 | 1,40 | 1,49 | 1,49 | 1,39 | 1,12 |
| 0,40 | 0,55 | 0,5 | 1,00 | 1,82 | 1,91 | 1,81 | 1,67 | 1,21 |

Продолжение Изменения № 2 к СП 367.1325800.2017

| Средневзвешенный коэффициент отражения | | Индекс противостоящего здания в плане z_1 | Значения коэффициента $K_{зд0}$ при значениях индекса противостоящего здания в разрезе z_2 | | | | | |
|------------------------------------------------------------------------------------------------|-------------------------------------------------|---------------------------------------------|----------------------------------------------------------------------------------------------|------|------|------|------|--------------|
| фасада экранирующего здания ρ_f | внутренней поверхности помещения $\rho_{ср}$ | | 0,10 и менее | 0,50 | 1,00 | 1,50 | 2,00 | 4,00 и более |
| 0,40 | 0,55 | 2,0 | 1,00 | 1,76 | 1,85 | 1,77 | 1,64 | 1,21 |
| 0,40 | 0,55 | 4,0 | 1,00 | 1,68 | 1,76 | 1,72 | 1,60 | 1,22 |
| 0,40 | 0,50 | 0,5 | 1,00 | 1,75 | 1,84 | 1,76 | 1,63 | 1,19 |
| 0,40 | 0,50 | 2,0 | 1,00 | 1,70 | 1,78 | 1,73 | 1,60 | 1,19 |
| 0,40 | 0,50 | 4,0 | 1,00 | 1,62 | 1,71 | 1,68 | 1,56 | 1,20 |
| 0,40 | 0,45 | 0,5 | 1,00 | 1,69 | 1,77 | 1,72 | 1,59 | 1,17 |
| 0,40 | 0,45 | 2,0 | 1,00 | 1,64 | 1,72 | 1,68 | 1,56 | 1,17 |
| 0,40 | 0,45 | 4,0 | 1,00 | 1,57 | 1,66 | 1,63 | 1,51 | 1,18 |
| 0,40 | 0,40 | 0,5 | 1,00 | 1,62 | 1,71 | 1,67 | 1,55 | 1,15 |
| 0,40 | 0,40 | 2,0 | 1,00 | 1,58 | 1,66 | 1,63 | 1,52 | 1,15 |
| 0,40 | 0,40 | 4,0 | 1,00 | 1,52 | 1,60 | 1,58 | 1,47 | 1,16 |
| 0,30 | 0,55 | 0,5 | 1,00 | 1,93 | 2,02 | 1,90 | 1,76 | 1,25 |
| 0,30 | 0,55 | 2,0 | 1,00 | 1,87 | 1,96 | 1,87 | 1,72 | 1,26 |
| 0,30 | 0,55 | 4,0 | 1,00 | 1,79 | 1,88 | 1,82 | 1,68 | 1,27 |
| 0,30 | 0,50 | 0,5 | 1,00 | 1,87 | 1,95 | 1,86 | 1,72 | 1,23 |
| 0,30 | 0,50 | 2,0 | 1,00 | 1,81 | 1,90 | 1,82 | 1,68 | 1,24 |
| 0,30 | 0,50 | 4,0 | 1,00 | 1,74 | 1,82 | 1,77 | 1,64 | 1,25 |
| 0,30 | 0,45 | 0,5 | 1,00 | 1,80 | 1,89 | 1,81 | 1,68 | 1,21 |
| 0,30 | 0,45 | 2,0 | 1,00 | 1,75 | 1,84 | 1,77 | 1,64 | 1,22 |
| 0,30 | 0,45 | 4,0 | 1,00 | 1,68 | 1,77 | 1,72 | 1,60 | 1,23 |
| 0,30 | 0,40 | 0,5 | 1,00 | 1,73 | 1,82 | 1,77 | 1,63 | 1,19 |
| 0,30 | 0,40 | 2,0 | 1,00 | 1,69 | 1,78 | 1,73 | 1,60 | 1,20 |
| 0,30 | 0,40 | 4,0 | 1,00 | 1,63 | 1,72 | 1,68 | 1,56 | 1,21 |
| Отношение расстояния расчетной точки от наружной стены к глубине помещения $l_r/d_n = 0,50$ | | | | | | | | |
| 0,65 | 0,55 | 0,5 | 1,00 | 1,28 | 1,37 | 1,33 | 1,26 | 1,06 |
| 0,65 | 0,55 | 2,0 | 1,00 | 1,24 | 1,33 | 1,31 | 1,24 | 1,07 |
| 0,65 | 0,55 | 4,0 | 1,00 | 1,19 | 1,27 | 1,27 | 1,21 | 1,08 |
| 0,65 | 0,50 | 0,5 | 1,00 | 1,24 | 1,33 | 1,30 | 1,23 | 1,05 |
| 0,65 | 0,50 | 2,0 | 1,00 | 1,21 | 1,29 | 1,27 | 1,21 | 1,06 |
| 0,65 | 0,50 | 4,0 | 1,00 | 1,16 | 1,25 | 1,24 | 1,18 | 1,07 |
| 0,65 | 0,45 | 0,5 | 1,00 | 1,20 | 1,29 | 1,26 | 1,20 | 1,05 |
| 0,65 | 0,45 | 2,0 | 1,00 | 1,17 | 1,26 | 1,24 | 1,18 | 1,05 |
| 0,65 | 0,45 | 4,0 | 1,00 | 1,13 | 1,22 | 1,21 | 1,15 | 1,06 |
| 0,65 | 0,40 | 0,5 | 1,00 | 1,16 | 1,25 | 1,23 | 1,17 | 1,04 |
| 0,65 | 0,40 | 2,0 | 1,00 | 1,14 | 1,23 | 1,20 | 1,15 | 1,05 |
| 0,65 | 0,40 | 4,0 | 1,00 | 1,10 | 1,19 | 1,17 | 1,12 | 1,06 |
| 0,60 | 0,55 | 0,5 | 1,00 | 1,31 | 1,40 | 1,36 | 1,28 | 1,07 |
| 0,60 | 0,55 | 2,0 | 1,00 | 1,27 | 1,36 | 1,34 | 1,26 | 1,07 |
| 0,60 | 0,55 | 4,0 | 1,00 | 1,22 | 1,30 | 1,31 | 1,24 | 1,08 |
| 0,60 | 0,50 | 0,5 | 1,00 | 1,27 | 1,36 | 1,33 | 1,25 | 1,06 |
| 0,60 | 0,50 | 2,0 | 1,00 | 1,24 | 1,33 | 1,30 | 1,23 | 1,07 |
| 0,60 | 0,50 | 4,0 | 1,00 | 1,19 | 1,28 | 1,27 | 1,21 | 1,08 |
| 0,60 | 0,45 | 0,5 | 1,00 | 1,23 | 1,32 | 1,29 | 1,23 | 1,05 |

Продолжение Изменения № 2 к СП 367.1325800.2017

| Средневзвешенный коэффициент отражения | | Индекс противостоящего здания в плане z_1 | Значения коэффициента $K_{зл0}$ при значениях индекса противостоящего здания в разрезе z_2 | | | | | |
|------------------------------------------------------------------------------------------------------------------|--------------------------------------------------------|---------------------------------------------|----------------------------------------------------------------------------------------------|------|------|------|------|--------------|
| фасада экранирующего здания $\rho_{\text{ф}}$ | внутренней поверхности помещения $\rho_{\text{ср}}$ | | 0,10 и менее | 0,50 | 1,00 | 1,50 | 2,00 | 4,00 и более |
| 0,60 | 0,45 | 2,0 | 1,00 | 1,20 | 1,29 | 1,27 | 1,21 | 1,06 |
| 0,60 | 0,45 | 4,0 | 1,00 | 1,16 | 1,25 | 1,24 | 1,18 | 1,07 |
| 0,60 | 0,40 | 0,5 | 1,00 | 1,19 | 1,28 | 1,26 | 1,20 | 1,05 |
| 0,60 | 0,40 | 2,0 | 1,00 | 1,17 | 1,26 | 1,24 | 1,18 | 1,05 |
| 0,60 | 0,40 | 4,0 | 1,00 | 1,13 | 1,22 | 1,20 | 1,15 | 1,06 |
| 0,50 | 0,55 | 0,5 | 1,00 | 1,38 | 1,46 | 1,42 | 1,34 | 1,08 |
| 0,50 | 0,55 | 2,0 | 1,00 | 1,33 | 1,42 | 1,40 | 1,32 | 1,09 |
| 0,50 | 0,55 | 4,0 | 1,00 | 1,28 | 1,37 | 1,37 | 1,29 | 1,10 |
| 0,50 | 0,50 | 0,5 | 1,00 | 1,34 | 1,42 | 1,39 | 1,31 | 1,07 |
| 0,50 | 0,50 | 2,0 | 1,00 | 1,30 | 1,39 | 1,37 | 1,29 | 1,08 |
| 0,50 | 0,50 | 4,0 | 1,00 | 1,25 | 1,34 | 1,34 | 1,26 | 1,09 |
| 0,50 | 0,45 | 0,5 | 1,00 | 1,30 | 1,38 | 1,36 | 1,28 | 1,07 |
| 0,50 | 0,45 | 2,0 | 1,00 | 1,26 | 1,35 | 1,33 | 1,26 | 1,07 |
| 0,50 | 0,45 | 4,0 | 1,00 | 1,22 | 1,31 | 1,30 | 1,23 | 1,08 |
| 0,50 | 0,40 | 0,5 | 1,00 | 1,26 | 1,34 | 1,32 | 1,25 | 1,06 |
| 0,50 | 0,40 | 2,0 | 1,00 | 1,23 | 1,32 | 1,30 | 1,23 | 1,07 |
| 0,50 | 0,40 | 4,0 | 1,00 | 1,19 | 1,28 | 1,27 | 1,20 | 1,08 |
| 0,40 | 0,55 | 0,5 | 1,00 | 1,44 | 1,53 | 1,49 | 1,39 | 1,09 |
| 0,40 | 0,55 | 2,0 | 1,00 | 1,40 | 1,48 | 1,46 | 1,37 | 1,10 |
| 0,40 | 0,55 | 4,0 | 1,00 | 1,34 | 1,43 | 1,43 | 1,34 | 1,11 |
| 0,40 | 0,50 | 0,5 | 1,00 | 1,40 | 1,49 | 1,45 | 1,36 | 1,09 |
| 0,40 | 0,50 | 2,0 | 1,00 | 1,36 | 1,45 | 1,43 | 1,34 | 1,09 |
| 0,40 | 0,50 | 4,0 | 1,00 | 1,31 | 1,40 | 1,40 | 1,31 | 1,10 |
| 0,40 | 0,45 | 0,5 | 1,00 | 1,36 | 1,44 | 1,42 | 1,33 | 1,08 |
| 0,40 | 0,45 | 2,0 | 1,00 | 1,33 | 1,41 | 1,40 | 1,31 | 1,09 |
| 0,40 | 0,45 | 4,0 | 1,00 | 1,28 | 1,37 | 1,37 | 1,29 | 1,10 |
| 0,40 | 0,40 | 0,5 | 1,00 | 1,32 | 1,40 | 1,39 | 1,30 | 1,07 |
| 0,40 | 0,40 | 2,0 | 1,00 | 1,29 | 1,38 | 1,36 | 1,28 | 1,08 |
| 0,40 | 0,40 | 4,0 | 1,00 | 1,26 | 1,34 | 1,33 | 1,26 | 1,09 |
| 0,30 | 0,55 | 0,5 | 1,00 | 1,50 | 1,59 | 1,55 | 1,44 | 1,11 |
| 0,30 | 0,55 | 2,0 | 1,00 | 1,46 | 1,54 | 1,53 | 1,42 | 1,11 |
| 0,30 | 0,55 | 4,0 | 1,00 | 1,40 | 1,49 | 1,50 | 1,40 | 1,12 |
| 0,30 | 0,50 | 0,5 | 1,00 | 1,46 | 1,55 | 1,52 | 1,41 | 1,10 |
| 0,30 | 0,50 | 2,0 | 1,00 | 1,42 | 1,51 | 1,49 | 1,39 | 1,11 |
| 0,30 | 0,50 | 4,0 | 1,00 | 1,37 | 1,46 | 1,46 | 1,37 | 1,12 |
| 0,30 | 0,45 | 0,5 | 1,00 | 1,42 | 1,51 | 1,48 | 1,39 | 1,09 |
| 0,30 | 0,45 | 2,0 | 1,00 | 1,39 | 1,47 | 1,46 | 1,37 | 1,10 |
| 0,30 | 0,45 | 4,0 | 1,00 | 1,34 | 1,43 | 1,43 | 1,34 | 1,11 |
| 0,30 | 0,40 | 0,5 | 1,00 | 1,38 | 1,47 | 1,45 | 1,36 | 1,08 |
| 0,30 | 0,40 | 2,0 | 1,00 | 1,35 | 1,44 | 1,43 | 1,34 | 1,09 |
| 0,30 | 0,40 | 4,0 | 1,00 | 1,32 | 1,40 | 1,40 | 1,31 | 1,10 |
| Отношение расстояния расчетной точки от наружной стены к глубине помещения $l_{\text{т}}/d_{\text{п}} = 0,20$ | | | | | | | | |
| 0,65 | 0,55 | 0,5 | 1,00 | 1,10 | 1,18 | 1,14 | 1,10 | 1,03 |

В НАБОР

Продолжение Изменения № 2 к СП 367.1325800.2017

| Средневзвешенный коэффициент отражения | | Индекс противостоящего здания в плане z_1 | Значения коэффициента $K_{зд0}$ при значениях индекса противостоящего здания в разрезе z_2 | | | | | |
|-----------------------------------------|-------------------------------------------------|---------------------------------------------|----------------------------------------------------------------------------------------------|------|------|------|------|--------------|
| фасада экранирующего здания ρ_f | внутренней поверхности помещения $\rho_{ср}$ | | 0,10 и менее | 0,50 | 1,00 | 1,50 | 2,00 | 4,00 и более |
| 0,65 | 0,55 | 2,0 | 1,00 | 1,07 | 1,16 | 1,13 | 1,09 | 1,04 |
| 0,65 | 0,55 | 4,0 | 1,00 | 1,03 | 1,12 | 1,11 | 1,08 | 1,05 |
| 0,65 | 0,50 | 0,5 | 1,00 | 1,07 | 1,16 | 1,12 | 1,08 | 1,03 |
| 0,65 | 0,50 | 2,0 | 1,00 | 1,05 | 1,14 | 1,11 | 1,07 | 1,04 |
| 0,65 | 0,50 | 4,0 | 1,00 | 1,02 | 1,11 | 1,09 | 1,06 | 1,05 |
| 0,65 | 0,45 | 0,5 | 1,00 | 1,05 | 1,14 | 1,10 | 1,06 | 1,04 |
| 0,65 | 0,45 | 2,0 | 1,00 | 1,04 | 1,12 | 1,08 | 1,05 | 1,04 |
| 0,65 | 0,45 | 4,0 | 1,00 | 1,01 | 1,10 | 1,06 | 1,04 | 1,05 |
| 0,65 | 0,40 | 0,5 | 1,00 | 1,03 | 1,12 | 1,07 | 1,04 | 1,04 |
| 0,65 | 0,40 | 2,0 | 1,00 | 1,02 | 1,11 | 1,06 | 1,03 | 1,05 |
| 0,65 | 0,40 | 4,0 | 1,00 | 1,00 | 1,09 | 1,04 | 1,02 | 1,06 |
| 0,60 | 0,55 | 0,5 | 1,00 | 1,11 | 1,19 | 1,16 | 1,11 | 1,03 |
| 0,60 | 0,55 | 2,0 | 1,00 | 1,08 | 1,17 | 1,15 | 1,10 | 1,03 |
| 0,60 | 0,55 | 4,0 | 1,00 | 1,04 | 1,13 | 1,13 | 1,09 | 1,04 |
| 0,60 | 0,50 | 0,5 | 1,00 | 1,09 | 1,17 | 1,14 | 1,10 | 1,03 |
| 0,60 | 0,50 | 2,0 | 1,00 | 1,06 | 1,15 | 1,13 | 1,09 | 1,04 |
| 0,60 | 0,50 | 4,0 | 1,00 | 1,03 | 1,12 | 1,11 | 1,07 | 1,05 |
| 0,60 | 0,45 | 0,5 | 1,00 | 1,06 | 1,15 | 1,12 | 1,08 | 1,03 |
| 0,60 | 0,45 | 2,0 | 1,00 | 1,05 | 1,13 | 1,10 | 1,07 | 1,04 |
| 0,60 | 0,45 | 4,0 | 1,00 | 1,02 | 1,11 | 1,08 | 1,05 | 1,05 |
| 0,60 | 0,40 | 0,5 | 1,00 | 1,04 | 1,13 | 1,09 | 1,06 | 1,04 |
| 0,60 | 0,40 | 2,0 | 1,00 | 1,03 | 1,12 | 1,08 | 1,05 | 1,04 |
| 0,60 | 0,40 | 4,0 | 1,00 | 1,01 | 1,10 | 1,06 | 1,04 | 1,05 |
| 0,50 | 0,55 | 0,5 | 1,00 | 1,13 | 1,22 | 1,21 | 1,15 | 1,02 |
| 0,50 | 0,55 | 2,0 | 1,00 | 1,10 | 1,19 | 1,19 | 1,14 | 1,02 |
| 0,50 | 0,55 | 4,0 | 1,00 | 1,06 | 1,15 | 1,17 | 1,12 | 1,03 |
| 0,50 | 0,50 | 0,5 | 1,00 | 1,11 | 1,20 | 1,18 | 1,13 | 1,02 |
| 0,50 | 0,50 | 2,0 | 1,00 | 1,09 | 1,17 | 1,17 | 1,12 | 1,03 |
| 0,50 | 0,50 | 4,0 | 1,00 | 1,06 | 1,14 | 1,15 | 1,10 | 1,04 |
| 0,50 | 0,45 | 0,5 | 1,00 | 1,09 | 1,17 | 1,16 | 1,11 | 1,02 |
| 0,50 | 0,45 | 2,0 | 1,00 | 1,07 | 1,16 | 1,14 | 1,10 | 1,03 |
| 0,50 | 0,45 | 4,0 | 1,00 | 1,05 | 1,13 | 1,12 | 1,09 | 1,04 |
| 0,50 | 0,40 | 0,5 | 1,00 | 1,07 | 1,15 | 1,13 | 1,09 | 1,03 |
| 0,50 | 0,40 | 2,0 | 1,00 | 1,05 | 1,14 | 1,12 | 1,08 | 1,03 |
| 0,50 | 0,40 | 4,0 | 1,00 | 1,04 | 1,13 | 1,10 | 1,07 | 1,04 |
| 0,40 | 0,55 | 0,5 | 1,00 | 1,15 | 1,24 | 1,25 | 1,18 | 1,01 |
| 0,40 | 0,55 | 2,0 | 1,00 | 1,12 | 1,21 | 1,23 | 1,17 | 1,02 |
| 0,40 | 0,55 | 4,0 | 1,00 | 1,09 | 1,17 | 1,21 | 1,15 | 1,02 |
| 0,40 | 0,50 | 0,5 | 1,00 | 1,13 | 1,22 | 1,22 | 1,16 | 1,01 |
| 0,40 | 0,50 | 2,0 | 1,00 | 1,11 | 1,20 | 1,21 | 1,15 | 1,02 |
| 0,40 | 0,50 | 4,0 | 1,00 | 1,08 | 1,17 | 1,19 | 1,13 | 1,03 |
| 0,40 | 0,45 | 0,5 | 1,00 | 1,11 | 1,20 | 1,20 | 1,14 | 1,01 |
| 0,40 | 0,45 | 2,0 | 1,00 | 1,09 | 1,18 | 1,18 | 1,13 | 1,02 |
| 0,40 | 0,45 | 4,0 | 1,00 | 1,07 | 1,16 | 1,17 | 1,12 | 1,03 |

В НАБОР

| Средневзвешенный коэффициент отражения | | Индекс противостоящего здания в плане z_1 | Значения коэффициента $K_{зд0}$ при значениях индекса противостоящего здания в разрезе z_2 | | | | | |
|-----------------------------------------|-------------------------------------------------|---------------------------------------------|----------------------------------------------------------------------------------------------|------|------|------|------|--------------|
| фасада экранирующего здания ρ_f | внутренней поверхности помещения $\rho_{ср}$ | | 0,10 и менее | 0,50 | 1,00 | 1,50 | 2,00 | 4,00 и более |
| 0,40 | 0,40 | 0,5 | 1,00 | 1,09 | 1,18 | 1,17 | 1,12 | 1,02 |
| 0,40 | 0,40 | 2,0 | 1,00 | 1,08 | 1,16 | 1,16 | 1,11 | 1,02 |
| 0,40 | 0,40 | 4,0 | 1,00 | 1,06 | 1,15 | 1,14 | 1,10 | 1,03 |
| 0,30 | 0,55 | 0,5 | 1,00 | 1,17 | 1,26 | 1,29 | 1,21 | 1,00 |
| 0,30 | 0,55 | 2,0 | 1,00 | 1,15 | 1,23 | 1,27 | 1,20 | 1,01 |
| 0,30 | 0,55 | 4,0 | 1,00 | 1,11 | 1,20 | 1,25 | 1,18 | 1,02 |
| 0,30 | 0,50 | 0,5 | 1,00 | 1,15 | 1,24 | 1,26 | 1,19 | 1,00 |
| 0,30 | 0,50 | 2,0 | 1,00 | 1,13 | 1,22 | 1,25 | 1,18 | 1,01 |
| 0,30 | 0,50 | 4,0 | 1,00 | 1,10 | 1,19 | 1,23 | 1,17 | 1,02 |
| 0,30 | 0,45 | 0,5 | 1,00 | 1,13 | 1,22 | 1,24 | 1,17 | 1,00 |
| 0,30 | 0,45 | 2,0 | 1,00 | 1,11 | 1,20 | 1,23 | 1,16 | 1,01 |
| 0,30 | 0,45 | 4,0 | 1,00 | 1,09 | 1,18 | 1,21 | 1,15 | 1,02 |
| 0,30 | 0,40 | 0,5 | 1,00 | 1,11 | 1,20 | 1,21 | 1,15 | 1,01 |
| 0,30 | 0,40 | 2,0 | 1,00 | 1,10 | 1,19 | 1,20 | 1,14 | 1,01 |
| 0,30 | 0,40 | 4,0 | 1,00 | 1,08 | 1,17 | 1,18 | 1,13 | 1,02 |

Примечание – При значениях параметров ρ_f , $\rho_{ср}$, z_1 , z_2 , l_T/d_n , отличных от приведенных в настоящей таблице, коэффициент $K_{зд0}$ определяют интерполяцией и экстраполяцией.

В НАБОР

Таблица А.13 – Коэффициент $K_{зд0}$, учитывающий изменение внутренней отраженной составляющей КЕО в помещении при полном закрытии небосвода зданиями при Г-образном расположении зданий (схема № 3, рисунок А.4)

| Средневзвешенный коэффициент отражения | | Индекс противостоящего здания в разрезе z_2 | Значения коэффициента $K_{зд0}$ при значениях индекса противостоящего здания в плане z_1 | | | | |
|------------------------------------------------------------------------------------------------------------------|--------------------------------------------------------|-----------------------------------------------|--------------------------------------------------------------------------------------------|------|------|------|-------------|
| фасада экранирующего здания $\rho_{\text{ф}}$ | внутренней поверхности помещения $\rho_{\text{ср}}$ | | 1,0 и менее | 1,5 | 2,0 | 3,0 | 4,0 и более |
| Отношение расстояния расчетной точки от наружной стены к глубине помещения $l_{\text{т}}/d_{\text{п}} = 0,90$ | | | | | | | |
| 0,65 | 0,55 | 0,5 | 1,00 | 0,91 | 0,89 | 0,84 | 0,79 |
| 0,65 | 0,55 | 1,0 | 1,00 | 0,91 | 0,89 | 0,84 | 0,79 |
| 0,65 | 0,55 | 3,0 | 1,00 | 0,90 | 0,88 | 0,83 | 0,78 |
| 0,65 | 0,55 | 6,0 | 1,00 | 0,88 | 0,86 | 0,81 | 0,77 |
| 0,65 | 0,50 | 0,5 | 1,00 | 0,92 | 0,89 | 0,85 | 0,80 |
| 0,65 | 0,50 | 1,0 | 1,00 | 0,92 | 0,89 | 0,85 | 0,80 |
| 0,65 | 0,50 | 3,0 | 1,00 | 0,91 | 0,88 | 0,84 | 0,79 |
| 0,65 | 0,50 | 6,0 | 1,00 | 0,89 | 0,87 | 0,82 | 0,77 |
| 0,65 | 0,45 | 0,5 | 1,00 | 0,92 | 0,90 | 0,85 | 0,81 |
| 0,65 | 0,45 | 1,0 | 1,00 | 0,92 | 0,90 | 0,85 | 0,81 |
| 0,65 | 0,45 | 3,0 | 1,00 | 0,91 | 0,89 | 0,84 | 0,80 |
| 0,65 | 0,45 | 6,0 | 1,00 | 0,90 | 0,87 | 0,83 | 0,78 |
| 0,65 | 0,40 | 0,5 | 1,00 | 0,93 | 0,91 | 0,86 | 0,81 |
| 0,65 | 0,40 | 1,0 | 1,00 | 0,93 | 0,91 | 0,86 | 0,81 |
| 0,65 | 0,40 | 3,0 | 1,00 | 0,92 | 0,90 | 0,85 | 0,80 |
| 0,65 | 0,40 | 6,0 | 1,00 | 0,90 | 0,88 | 0,83 | 0,79 |
| 0,60 | 0,55 | 0,5 | 1,00 | 0,90 | 0,88 | 0,83 | 0,79 |
| 0,60 | 0,55 | 1,0 | 1,00 | 0,90 | 0,88 | 0,83 | 0,79 |
| 0,60 | 0,55 | 3,0 | 1,00 | 0,89 | 0,87 | 0,82 | 0,78 |
| 0,60 | 0,55 | 6,0 | 1,00 | 0,88 | 0,85 | 0,81 | 0,76 |
| 0,60 | 0,50 | 0,5 | 1,00 | 0,91 | 0,89 | 0,84 | 0,79 |
| 0,60 | 0,50 | 1,0 | 1,00 | 0,91 | 0,88 | 0,84 | 0,79 |
| 0,60 | 0,50 | 3,0 | 1,00 | 0,90 | 0,87 | 0,83 | 0,78 |
| 0,60 | 0,50 | 6,0 | 1,00 | 0,88 | 0,86 | 0,81 | 0,77 |
| 0,60 | 0,45 | 0,5 | 1,00 | 0,92 | 0,89 | 0,85 | 0,80 |
| 0,60 | 0,45 | 1,0 | 1,00 | 0,91 | 0,89 | 0,84 | 0,80 |
| 0,60 | 0,45 | 3,0 | 1,00 | 0,90 | 0,88 | 0,83 | 0,79 |
| 0,60 | 0,45 | 6,0 | 1,00 | 0,89 | 0,87 | 0,82 | 0,77 |
| 0,60 | 0,40 | 0,5 | 1,00 | 0,92 | 0,90 | 0,85 | 0,81 |
| 0,60 | 0,40 | 1,0 | 1,00 | 0,92 | 0,90 | 0,85 | 0,81 |
| 0,60 | 0,40 | 3,0 | 1,00 | 0,91 | 0,89 | 0,84 | 0,80 |
| 0,60 | 0,40 | 6,0 | 1,00 | 0,90 | 0,87 | 0,83 | 0,78 |
| 0,50 | 0,55 | 0,5 | 1,00 | 0,89 | 0,87 | 0,82 | 0,77 |
| 0,50 | 0,55 | 1,0 | 1,00 | 0,89 | 0,86 | 0,82 | 0,77 |

Продолжение Изменения № 2 к СП 367.1325800.2017

| Средневзвешенный коэффициент отражения | | Индекс противостоящего здания в разрезе z_2 | Значения коэффициента $K_{зд0}$ при значениях индекса противостоящего здания в плане z_1 | | | | |
|--------------------------------------------------|--------------------------------------------------------|-----------------------------------------------|--------------------------------------------------------------------------------------------|------|------|------|-------------|
| фасада экранирующего здания $\rho_{\text{ф}}$ | внутренней поверхности помещения $\rho_{\text{ср}}$ | | 1,0 и менее | 1,5 | 2,0 | 3,0 | 4,0 и более |
| 0,50 | 0,55 | 3,0 | 1,00 | 0,88 | 0,85 | 0,81 | 0,76 |
| 0,50 | 0,55 | 6,0 | 1,00 | 0,86 | 0,84 | 0,79 | 0,75 |
| 0,50 | 0,50 | 0,5 | 1,00 | 0,90 | 0,87 | 0,83 | 0,78 |
| 0,50 | 0,50 | 1,0 | 1,00 | 0,89 | 0,87 | 0,82 | 0,78 |
| 0,50 | 0,50 | 3,0 | 1,00 | 0,88 | 0,86 | 0,81 | 0,77 |
| 0,50 | 0,50 | 6,0 | 1,00 | 0,87 | 0,85 | 0,80 | 0,75 |
| 0,50 | 0,45 | 0,5 | 1,00 | 0,90 | 0,88 | 0,83 | 0,79 |
| 0,50 | 0,45 | 1,0 | 1,00 | 0,90 | 0,88 | 0,83 | 0,78 |
| 0,50 | 0,45 | 3,0 | 1,00 | 0,89 | 0,87 | 0,82 | 0,77 |
| 0,50 | 0,45 | 6,0 | 1,00 | 0,88 | 0,85 | 0,81 | 0,76 |
| 0,50 | 0,40 | 0,5 | 1,00 | 0,91 | 0,89 | 0,84 | 0,79 |
| 0,50 | 0,40 | 1,0 | 1,00 | 0,91 | 0,88 | 0,84 | 0,79 |
| 0,50 | 0,40 | 3,0 | 1,00 | 0,90 | 0,87 | 0,83 | 0,78 |
| 0,50 | 0,40 | 6,0 | 1,00 | 0,88 | 0,86 | 0,81 | 0,77 |
| 0,40 | 0,55 | 0,5 | 1,00 | 0,88 | 0,85 | 0,81 | 0,76 |
| 0,40 | 0,55 | 1,0 | 1,00 | 0,87 | 0,85 | 0,80 | 0,76 |
| 0,40 | 0,55 | 3,0 | 1,00 | 0,86 | 0,84 | 0,79 | 0,75 |
| 0,40 | 0,55 | 6,0 | 1,00 | 0,85 | 0,82 | 0,78 | 0,73 |
| 0,40 | 0,50 | 0,5 | 1,00 | 0,88 | 0,86 | 0,81 | 0,77 |
| 0,40 | 0,50 | 1,0 | 1,00 | 0,88 | 0,86 | 0,81 | 0,76 |
| 0,40 | 0,50 | 3,0 | 1,00 | 0,87 | 0,85 | 0,80 | 0,75 |
| 0,40 | 0,50 | 6,0 | 1,00 | 0,85 | 0,83 | 0,78 | 0,74 |
| 0,40 | 0,45 | 0,5 | 1,00 | 0,89 | 0,87 | 0,82 | 0,77 |
| 0,40 | 0,45 | 1,0 | 1,00 | 0,89 | 0,86 | 0,82 | 0,77 |
| 0,40 | 0,45 | 3,0 | 1,00 | 0,88 | 0,85 | 0,81 | 0,76 |
| 0,40 | 0,45 | 6,0 | 1,00 | 0,86 | 0,84 | 0,79 | 0,74 |
| 0,40 | 0,40 | 0,5 | 1,00 | 0,89 | 0,87 | 0,83 | 0,78 |
| 0,40 | 0,40 | 1,0 | 1,00 | 0,89 | 0,87 | 0,82 | 0,78 |
| 0,40 | 0,40 | 3,0 | 1,00 | 0,88 | 0,86 | 0,81 | 0,77 |
| 0,40 | 0,40 | 6,0 | 1,00 | 0,87 | 0,84 | 0,80 | 0,75 |
| 0,30 | 0,55 | 0,5 | 1,00 | 0,86 | 0,84 | 0,79 | 0,74 |
| 0,30 | 0,55 | 1,0 | 1,00 | 0,86 | 0,84 | 0,79 | 0,74 |
| 0,30 | 0,55 | 3,0 | 1,00 | 0,85 | 0,83 | 0,78 | 0,73 |
| 0,30 | 0,55 | 6,0 | 1,00 | 0,83 | 0,81 | 0,76 | 0,72 |
| 0,30 | 0,50 | 0,5 | 1,00 | 0,87 | 0,84 | 0,80 | 0,75 |
| 0,30 | 0,50 | 1,0 | 1,00 | 0,86 | 0,84 | 0,80 | 0,75 |
| 0,30 | 0,50 | 3,0 | 1,00 | 0,85 | 0,83 | 0,79 | 0,74 |
| 0,30 | 0,50 | 6,0 | 1,00 | 0,84 | 0,82 | 0,77 | 0,72 |
| 0,30 | 0,45 | 0,5 | 1,00 | 0,86 | 0,86 | 0,84 | 0,82 |
| 0,30 | 0,45 | 1,0 | 1,00 | 0,86 | 0,85 | 0,84 | 0,82 |
| 0,30 | 0,45 | 3,0 | 1,00 | 0,85 | 0,84 | 0,83 | 0,81 |

| Средневзвешенный коэффициент отражения | | Индекс противостоящего здания в разрезе z ₂ | Значения коэффициента K _{зд0} при значениях индекса противостоящего здания в плане z ₁ | | | | |
|-------------------------------------------------------------------------------------------------------------------------|-----------------------------------------------------|--------------------------------------------------------|------------------------------------------------------------------------------------------------------------|------|------|------|-------------|
| фасада экранирующего здания ρ _ф | внутренней поверхности помещения ρ _{ср} | | 1,0 и менее | 1,5 | 2,0 | 3,0 | 4,0 и более |
| 0,30 | 0,45 | 6,0 | 1,00 | 0,84 | 0,83 | 0,81 | 0,79 |
| 0,30 | 0,40 | 0,5 | 1,00 | 0,88 | 0,86 | 0,81 | 0,76 |
| 0,30 | 0,40 | 1,0 | 1,00 | 0,88 | 0,85 | 0,81 | 0,76 |
| 0,30 | 0,40 | 3,0 | 1,00 | 0,87 | 0,84 | 0,80 | 0,75 |
| 0,30 | 0,40 | 6,0 | 1,00 | 0,85 | 0,83 | 0,78 | 0,74 |
| Отношение расстояния расчетной точки от наружной стены к глубине помещения <i>l_r/d_n = 0,70</i> | | | | | | | |
| 0,65 | 0,55 | 0,5 | 1,00 | 0,92 | 0,89 | 0,85 | 0,80 |
| 0,65 | 0,55 | 1,0 | 1,00 | 0,91 | 0,89 | 0,85 | 0,80 |
| 0,65 | 0,55 | 3,0 | 1,00 | 0,90 | 0,88 | 0,84 | 0,79 |
| 0,65 | 0,55 | 6,0 | 1,00 | 0,89 | 0,87 | 0,82 | 0,77 |
| 0,65 | 0,50 | 0,5 | 1,00 | 0,92 | 0,90 | 0,85 | 0,81 |
| 0,65 | 0,50 | 1,0 | 1,00 | 0,92 | 0,90 | 0,85 | 0,81 |
| 0,65 | 0,50 | 3,0 | 1,00 | 0,91 | 0,89 | 0,84 | 0,80 |
| 0,65 | 0,50 | 6,0 | 1,00 | 0,90 | 0,87 | 0,83 | 0,78 |
| 0,65 | 0,45 | 0,5 | 1,00 | 0,93 | 0,91 | 0,86 | 0,81 |
| 0,65 | 0,45 | 1,0 | 1,00 | 0,93 | 0,90 | 0,86 | 0,81 |
| 0,65 | 0,45 | 3,0 | 1,00 | 0,92 | 0,89 | 0,85 | 0,80 |
| 0,65 | 0,45 | 6,0 | 1,00 | 0,90 | 0,88 | 0,83 | 0,79 |
| 0,65 | 0,40 | 0,5 | 1,00 | 0,94 | 0,91 | 0,87 | 0,82 |
| 0,65 | 0,40 | 1,0 | 1,00 | 0,93 | 0,91 | 0,86 | 0,82 |
| 0,65 | 0,40 | 3,0 | 1,00 | 0,92 | 0,90 | 0,85 | 0,81 |
| 0,65 | 0,40 | 6,0 | 1,00 | 0,91 | 0,89 | 0,84 | 0,79 |
| 0,60 | 0,55 | 0,5 | 1,00 | 0,91 | 0,89 | 0,84 | 0,79 |
| 0,60 | 0,55 | 1,0 | 1,00 | 0,91 | 0,88 | 0,84 | 0,79 |
| 0,60 | 0,55 | 3,0 | 1,00 | 0,90 | 0,87 | 0,83 | 0,78 |
| 0,60 | 0,55 | 6,0 | 1,00 | 0,88 | 0,86 | 0,81 | 0,77 |
| 0,60 | 0,50 | 0,5 | 1,00 | 0,92 | 0,89 | 0,85 | 0,80 |
| 0,60 | 0,50 | 1,0 | 1,00 | 0,91 | 0,89 | 0,84 | 0,80 |
| 0,60 | 0,50 | 3,0 | 1,00 | 0,90 | 0,88 | 0,83 | 0,79 |
| 0,60 | 0,50 | 6,0 | 1,00 | 0,89 | 0,87 | 0,82 | 0,77 |
| 0,60 | 0,45 | 0,5 | 1,00 | 0,92 | 0,90 | 0,85 | 0,81 |
| 0,60 | 0,45 | 1,0 | 1,00 | 0,92 | 0,90 | 0,85 | 0,80 |
| 0,60 | 0,45 | 3,0 | 1,00 | 0,91 | 0,89 | 0,84 | 0,79 |
| 0,60 | 0,45 | 6,0 | 1,00 | 0,90 | 0,87 | 0,83 | 0,78 |
| 0,60 | 0,40 | 0,5 | 1,00 | 0,93 | 0,91 | 0,86 | 0,81 |
| 0,60 | 0,40 | 1,0 | 1,00 | 0,93 | 0,90 | 0,86 | 0,81 |
| 0,60 | 0,40 | 3,0 | 1,00 | 0,92 | 0,89 | 0,85 | 0,80 |
| 0,60 | 0,40 | 6,0 | 1,00 | 0,90 | 0,88 | 0,83 | 0,79 |
| 0,50 | 0,55 | 0,5 | 1,00 | 0,90 | 0,87 | 0,83 | 0,78 |
| 0,50 | 0,55 | 1,0 | 1,00 | 0,89 | 0,87 | 0,82 | 0,78 |

В НАБОР

Продолжение Изменения № 2 к СП 367.1325800.2017

| Средневзвешенный коэффициент отражения | | Индекс противостоящего здания в разрезе z_2 | Значения коэффициента $K_{зд0}$ при значениях индекса противостоящего здания в плане z_1 | | | | |
|-------------------------------------------|-------------------------------------------------|-----------------------------------------------|--------------------------------------------------------------------------------------------|------|------|------|-------------|
| фасада экранирующего здания $\rho_{ф}$ | внутренней поверхности помещения $\rho_{ср}$ | | 1,0 и менее | 1,5 | 2,0 | 3,0 | 4,0 и более |
| 0,50 | 0,55 | 3,0 | 1,00 | 0,88 | 0,86 | 0,81 | 0,77 |
| 0,50 | 0,55 | 6,0 | 1,00 | 0,87 | 0,85 | 0,80 | 0,75 |
| 0,50 | 0,50 | 0,5 | 1,00 | 0,90 | 0,88 | 0,83 | 0,79 |
| 0,50 | 0,50 | 1,0 | 1,00 | 0,90 | 0,88 | 0,83 | 0,78 |
| 0,50 | 0,50 | 3,0 | 1,00 | 0,89 | 0,87 | 0,82 | 0,77 |
| 0,50 | 0,50 | 6,0 | 1,00 | 0,87 | 0,85 | 0,81 | 0,76 |
| 0,50 | 0,45 | 0,5 | 1,00 | 0,91 | 0,89 | 0,84 | 0,79 |
| 0,50 | 0,45 | 1,0 | 1,00 | 0,91 | 0,88 | 0,84 | 0,79 |
| 0,50 | 0,45 | 3,0 | 1,00 | 0,90 | 0,87 | 0,83 | 0,78 |
| 0,50 | 0,45 | 6,0 | 1,00 | 0,88 | 0,86 | 0,81 | 0,77 |
| 0,50 | 0,40 | 0,5 | 1,00 | 0,92 | 0,89 | 0,85 | 0,80 |
| 0,50 | 0,40 | 1,0 | 1,00 | 0,91 | 0,89 | 0,84 | 0,80 |
| 0,50 | 0,40 | 3,0 | 1,00 | 0,90 | 0,88 | 0,83 | 0,79 |
| 0,50 | 0,40 | 6,0 | 1,00 | 0,89 | 0,86 | 0,82 | 0,77 |
| 0,40 | 0,55 | 0,5 | 1,00 | 0,88 | 0,86 | 0,81 | 0,77 |
| 0,40 | 0,55 | 1,0 | 1,00 | 0,88 | 0,86 | 0,81 | 0,76 |
| 0,40 | 0,55 | 3,0 | 1,00 | 0,87 | 0,85 | 0,80 | 0,75 |
| 0,40 | 0,55 | 6,0 | 1,00 | 0,85 | 0,83 | 0,78 | 0,74 |
| 0,40 | 0,50 | 0,5 | 1,00 | 0,89 | 0,86 | 0,82 | 0,77 |
| 0,40 | 0,50 | 1,0 | 1,00 | 0,89 | 0,86 | 0,82 | 0,77 |
| 0,40 | 0,50 | 3,0 | 1,00 | 0,88 | 0,85 | 0,81 | 0,76 |
| 0,40 | 0,50 | 6,0 | 1,00 | 0,86 | 0,84 | 0,79 | 0,74 |
| 0,40 | 0,45 | 0,5 | 1,00 | 0,89 | 0,87 | 0,83 | 0,78 |
| 0,40 | 0,45 | 1,0 | 1,00 | 0,89 | 0,87 | 0,82 | 0,78 |
| 0,40 | 0,45 | 3,0 | 1,00 | 0,88 | 0,86 | 0,81 | 0,77 |
| 0,40 | 0,45 | 6,0 | 1,00 | 0,87 | 0,84 | 0,80 | 0,75 |
| 0,40 | 0,40 | 0,5 | 1,00 | 0,90 | 0,88 | 0,83 | 0,79 |
| 0,40 | 0,40 | 1,0 | 1,00 | 0,90 | 0,88 | 0,83 | 0,78 |
| 0,40 | 0,40 | 3,0 | 1,00 | 0,89 | 0,87 | 0,82 | 0,77 |
| 0,40 | 0,40 | 6,0 | 1,00 | 0,87 | 0,85 | 0,80 | 0,76 |
| 0,30 | 0,55 | 0,5 | 1,00 | 0,87 | 0,84 | 0,80 | 0,75 |
| 0,30 | 0,55 | 1,0 | 1,00 | 0,86 | 0,84 | 0,80 | 0,75 |
| 0,30 | 0,55 | 3,0 | 1,00 | 0,85 | 0,83 | 0,79 | 0,74 |
| 0,30 | 0,55 | 6,0 | 1,00 | 0,84 | 0,82 | 0,77 | 0,72 |
| 0,30 | 0,50 | 0,5 | 1,00 | 0,87 | 0,85 | 0,80 | 0,76 |
| 0,30 | 0,50 | 1,0 | 1,00 | 0,87 | 0,85 | 0,80 | 0,76 |
| 0,30 | 0,50 | 3,0 | 1,00 | 0,86 | 0,84 | 0,79 | 0,75 |
| 0,30 | 0,50 | 6,0 | 1,00 | 0,85 | 0,82 | 0,78 | 0,73 |
| 0,30 | 0,45 | 0,5 | 1,00 | 0,88 | 0,86 | 0,81 | 0,76 |
| 0,30 | 0,45 | 1,0 | 1,00 | 0,88 | 0,85 | 0,81 | 0,76 |
| 0,30 | 0,45 | 3,0 | 1,00 | 0,87 | 0,84 | 0,80 | 0,75 |

| Средневзвешенный коэффициент отражения | | Индекс противостоящего здания в разрезе z_2 | Значения коэффициента $K_{зд0}$ при значениях индекса противостоящего здания в плане z_1 | | | | |
|----------------------------------------------------------------------------------------------------|-------------------------------------------------|-----------------------------------------------|--------------------------------------------------------------------------------------------|------|------|------|-------------|
| фасада экранирующего здания $\rho_{ф}$ | внутренней поверхности помещения $\rho_{ср}$ | | 1,0 и менее | 1,5 | 2,0 | 3,0 | 4,0 и более |
| 0,30 | 0,45 | 6,0 | 1,00 | 0,85 | 0,83 | 0,78 | 0,74 |
| 0,30 | 0,40 | 0,5 | 1,00 | 0,89 | 0,86 | 0,82 | 0,77 |
| 0,30 | 0,40 | 1,0 | 1,00 | 0,88 | 0,86 | 0,81 | 0,77 |
| 0,30 | 0,40 | 3,0 | 1,00 | 0,87 | 0,85 | 0,80 | 0,76 |
| 0,30 | 0,40 | 6,0 | 1,00 | 0,86 | 0,84 | 0,79 | 0,74 |
| Отношение расстояния расчетной точки от наружной стены к глубине помещения $l_{т}/d_{п} = 0,50$ | | | | | | | |
| 0,65 | 0,55 | 0,5 | 1,00 | 0,92 | 0,90 | 0,85 | 0,81 |
| 0,65 | 0,55 | 1,0 | 1,00 | 0,92 | 0,90 | 0,85 | 0,81 |
| 0,65 | 0,55 | 3,0 | 1,00 | 0,91 | 0,89 | 0,84 | 0,80 |
| 0,65 | 0,55 | 6,0 | 1,00 | 0,90 | 0,87 | 0,83 | 0,78 |
| 0,65 | 0,50 | 0,5 | 1,00 | 0,93 | 0,91 | 0,86 | 0,81 |
| 0,65 | 0,50 | 1,0 | 1,00 | 0,93 | 0,90 | 0,86 | 0,81 |
| 0,65 | 0,50 | 3,0 | 1,00 | 0,92 | 0,89 | 0,85 | 0,80 |
| 0,65 | 0,50 | 6,0 | 1,00 | 0,90 | 0,88 | 0,83 | 0,79 |
| 0,65 | 0,45 | 0,5 | 1,00 | 0,94 | 0,91 | 0,87 | 0,82 |
| 0,65 | 0,45 | 1,0 | 1,00 | 0,93 | 0,91 | 0,86 | 0,82 |
| 0,65 | 0,45 | 3,0 | 1,00 | 0,92 | 0,90 | 0,85 | 0,81 |
| 0,65 | 0,45 | 6,0 | 1,00 | 0,91 | 0,89 | 0,84 | 0,79 |
| 0,65 | 0,40 | 0,5 | 1,00 | 0,94 | 0,92 | 0,87 | 0,83 |
| 0,65 | 0,40 | 1,0 | 1,00 | 0,94 | 0,92 | 0,87 | 0,82 |
| 0,65 | 0,40 | 3,0 | 1,00 | 0,93 | 0,91 | 0,86 | 0,81 |
| 0,65 | 0,40 | 6,0 | 1,00 | 0,92 | 0,89 | 0,85 | 0,80 |
| 0,60 | 0,55 | 0,5 | 1,00 | 0,92 | 0,89 | 0,85 | 0,80 |
| 0,60 | 0,55 | 1,0 | 1,00 | 0,91 | 0,89 | 0,84 | 0,80 |
| 0,60 | 0,55 | 3,0 | 1,00 | 0,90 | 0,88 | 0,83 | 0,79 |
| 0,60 | 0,55 | 6,0 | 1,00 | 0,89 | 0,87 | 0,82 | 0,77 |
| 0,60 | 0,50 | 0,5 | 1,00 | 0,92 | 0,90 | 0,85 | 0,81 |
| 0,60 | 0,50 | 1,0 | 1,00 | 0,92 | 0,90 | 0,85 | 0,80 |
| 0,60 | 0,50 | 3,0 | 1,00 | 0,91 | 0,89 | 0,84 | 0,79 |
| 0,60 | 0,50 | 6,0 | 1,00 | 0,90 | 0,87 | 0,83 | 0,78 |
| 0,60 | 0,45 | 0,5 | 1,00 | 0,93 | 0,91 | 0,86 | 0,81 |
| 0,60 | 0,45 | 1,0 | 1,00 | 0,93 | 0,90 | 0,86 | 0,81 |
| 0,60 | 0,45 | 3,0 | 1,00 | 0,92 | 0,89 | 0,85 | 0,80 |
| 0,60 | 0,45 | 6,0 | 1,00 | 0,90 | 0,88 | 0,83 | 0,79 |
| 0,60 | 0,40 | 0,5 | 1,00 | 0,94 | 0,91 | 0,87 | 0,82 |
| 0,60 | 0,40 | 1,0 | 1,00 | 0,93 | 0,91 | 0,86 | 0,82 |
| 0,60 | 0,40 | 3,0 | 1,00 | 0,92 | 0,90 | 0,85 | 0,81 |
| 0,60 | 0,40 | 6,0 | 1,00 | 0,91 | 0,89 | 0,84 | 0,79 |
| 0,50 | 0,55 | 0,5 | 1,00 | 0,90 | 0,88 | 0,83 | 0,79 |
| 0,50 | 0,55 | 1,0 | 1,00 | 0,90 | 0,88 | 0,83 | 0,78 |

| Средневзвешенный коэффициент отражения | | Индекс противостоящего здания в разрезе z ₂ | Значения коэффициента K _{зд0} при значениях индекса противостоящего здания в плане z ₁ | | | | |
|-----------------------------------------------|-----------------------------------------------------|--------------------------------------------------------|------------------------------------------------------------------------------------------------------------|------|------|------|-------------|
| фасада экранирующего здания ρ _ф | внутренней поверхности помещения ρ _{ср} | | 1,0 и менее | 1,5 | 2,0 | 3,0 | 4,0 и более |
| 0,50 | 0,55 | 3,0 | 1,00 | 0,89 | 0,87 | 0,82 | 0,77 |
| 0,50 | 0,55 | 6,0 | 1,00 | 0,87 | 0,85 | 0,80 | 0,76 |
| 0,50 | 0,50 | 0,5 | 1,00 | 0,91 | 0,89 | 0,84 | 0,79 |
| 0,50 | 0,50 | 1,0 | 1,00 | 0,91 | 0,88 | 0,84 | 0,79 |
| 0,50 | 0,50 | 3,0 | 1,00 | 0,90 | 0,87 | 0,83 | 0,78 |
| 0,50 | 0,50 | 6,0 | 1,00 | 0,88 | 0,86 | 0,81 | 0,77 |
| 0,50 | 0,45 | 0,5 | 1,00 | 0,92 | 0,89 | 0,85 | 0,80 |
| 0,50 | 0,45 | 1,0 | 1,00 | 0,91 | 0,89 | 0,84 | 0,80 |
| 0,50 | 0,45 | 3,0 | 1,00 | 0,90 | 0,88 | 0,83 | 0,79 |
| 0,50 | 0,45 | 6,0 | 1,00 | 0,89 | 0,86 | 0,82 | 0,77 |
| 0,50 | 0,40 | 0,5 | 1,00 | 0,92 | 0,90 | 0,85 | 0,81 |
| 0,50 | 0,40 | 1,0 | 1,00 | 0,92 | 0,90 | 0,85 | 0,80 |
| 0,50 | 0,40 | 3,0 | 1,00 | 0,91 | 0,89 | 0,84 | 0,79 |
| 0,50 | 0,40 | 6,0 | 1,00 | 0,89 | 0,87 | 0,82 | 0,78 |
| 0,40 | 0,55 | 0,5 | 1,00 | 0,89 | 0,86 | 0,82 | 0,77 |
| 0,40 | 0,55 | 1,0 | 1,00 | 0,89 | 0,86 | 0,82 | 0,77 |
| 0,40 | 0,55 | 3,0 | 1,00 | 0,88 | 0,85 | 0,81 | 0,76 |
| 0,40 | 0,55 | 6,0 | 1,00 | 0,86 | 0,84 | 0,79 | 0,74 |
| 0,40 | 0,50 | 0,5 | 1,00 | 0,89 | 0,87 | 0,82 | 0,78 |
| 0,40 | 0,50 | 1,0 | 1,00 | 0,89 | 0,87 | 0,82 | 0,78 |
| 0,40 | 0,50 | 3,0 | 1,00 | 0,88 | 0,86 | 0,81 | 0,77 |
| 0,40 | 0,50 | 6,0 | 1,00 | 0,87 | 0,84 | 0,80 | 0,75 |
| 0,40 | 0,45 | 0,5 | 1,00 | 0,90 | 0,88 | 0,83 | 0,78 |
| 0,40 | 0,45 | 1,0 | 1,00 | 0,90 | 0,88 | 0,83 | 0,78 |
| 0,40 | 0,45 | 3,0 | 1,00 | 0,89 | 0,87 | 0,82 | 0,77 |
| 0,40 | 0,45 | 6,0 | 1,00 | 0,87 | 0,85 | 0,80 | 0,76 |
| 0,40 | 0,40 | 0,5 | 1,00 | 0,91 | 0,88 | 0,84 | 0,79 |
| 0,40 | 0,40 | 1,0 | 1,00 | 0,91 | 0,88 | 0,84 | 0,79 |
| 0,40 | 0,40 | 3,0 | 1,00 | 0,90 | 0,87 | 0,83 | 0,78 |
| 0,40 | 0,40 | 6,0 | 1,00 | 0,88 | 0,86 | 0,81 | 0,76 |
| 0,30 | 0,55 | 0,5 | 1,00 | 0,87 | 0,85 | 0,80 | 0,76 |
| 0,30 | 0,55 | 1,0 | 1,00 | 0,87 | 0,85 | 0,80 | 0,75 |
| 0,30 | 0,55 | 3,0 | 1,00 | 0,86 | 0,84 | 0,79 | 0,74 |
| 0,30 | 0,55 | 6,0 | 1,00 | 0,85 | 0,82 | 0,78 | 0,73 |
| 0,30 | 0,50 | 0,5 | 1,00 | 0,88 | 0,86 | 0,81 | 0,76 |
| 0,30 | 0,50 | 1,0 | 1,00 | 0,88 | 0,85 | 0,81 | 0,76 |
| 0,30 | 0,50 | 3,0 | 1,00 | 0,87 | 0,84 | 0,80 | 0,75 |
| 0,30 | 0,50 | 6,0 | 1,00 | 0,85 | 0,83 | 0,78 | 0,74 |
| 0,30 | 0,45 | 0,5 | 1,00 | 0,89 | 0,86 | 0,82 | 0,77 |
| 0,30 | 0,45 | 1,0 | 1,00 | 0,88 | 0,86 | 0,81 | 0,77 |
| 0,30 | 0,45 | 3,0 | 1,00 | 0,87 | 0,85 | 0,80 | 0,76 |

Продолжение Изменения № 2 к СП 367.1325800.2017

| Средневзвешенный коэффициент отражения | | Индекс противостоящего здания в разрезе z_2 | Значения коэффициента $K_{зд0}$ при значениях индекса противостоящего здания в плане z_1 | | | | |
|-------------------------------------------|-------------------------------------------------|-----------------------------------------------|--------------------------------------------------------------------------------------------|------|------|------|-------------|
| фасада экранирующего здания $\rho_{ф}$ | внутренней поверхности помещения $\rho_{ср}$ | | 1,0 и менее | 1,5 | 2,0 | 3,0 | 4,0 и более |
| 0,30 | 0,45 | 6,0 | 1,00 | 0,86 | 0,84 | 0,79 | 0,74 |
| 0,30 | 0,40 | 0,5 | 1,00 | 0,89 | 0,87 | 0,82 | 0,78 |
| 0,30 | 0,40 | 1,0 | 1,00 | 0,89 | 0,87 | 0,82 | 0,77 |
| 0,30 | 0,40 | 3,0 | 1,00 | 0,88 | 0,86 | 0,81 | 0,76 |
| 0,30 | 0,40 | 6,0 | 1,00 | 0,87 | 0,84 | 0,80 | 0,75 |

Примечание – При значениях параметров $\rho_{ф}$, $\rho_{ср}$, z_1 , z_2 , l_T/d_n , отличных от приведенных в настоящей таблице, коэффициент $K_{зд0}$ определяют интерполяцией.

Таблица А.14 – Коэффициент $K_{зд0}$, учитывающий изменение внутренней отраженной составляющей КЕО в помещении при полном закрытии небосвода зданиями при П-образной застройке для здания, расположенного между двух параллельных зданий (схема № 7, рисунок А.9)

| Средневзвешенный коэффициент отражения | | Индекс противостоящего здания в разрезе z_2 | Значения коэффициента $K_{зд0}$ при значениях индекса противостоящего здания в плане z_1 | | | | |
|------------------------------------------------------------------------------------------------|-------------------------------------------------|-----------------------------------------------|--------------------------------------------------------------------------------------------|------|------|------|-------------|
| фасада экранирующего здания $\rho_{ф}$ | внутренней поверхности помещения $\rho_{ср}$ | | 1,0 и менее | 1,5 | 2,0 | 3,0 | 4,0 и более |
| Отношение расстояния расчетной точки от наружной стены к глубине помещения $l_T/d_n = 0,90$ | | | | | | | |
| 0,65 | 0,55 | 0,5 | 1,00 | 0,90 | 0,89 | 0,87 | 0,86 |
| 0,65 | 0,55 | 1,0 | 1,00 | 0,90 | 0,89 | 0,87 | 0,85 |
| 0,65 | 0,55 | 3,0 | 1,00 | 0,89 | 0,88 | 0,86 | 0,84 |
| 0,65 | 0,55 | 6,0 | 1,00 | 0,87 | 0,86 | 0,85 | 0,83 |
| 0,65 | 0,50 | 0,5 | 1,00 | 0,91 | 0,90 | 0,88 | 0,86 |
| 0,65 | 0,50 | 1,0 | 1,00 | 0,90 | 0,89 | 0,88 | 0,86 |
| 0,65 | 0,50 | 3,0 | 1,00 | 0,89 | 0,88 | 0,87 | 0,85 |
| 0,65 | 0,50 | 6,0 | 1,00 | 0,88 | 0,87 | 0,85 | 0,84 |
| 0,65 | 0,45 | 0,5 | 1,00 | 0,91 | 0,90 | 0,89 | 0,87 |
| 0,65 | 0,45 | 1,0 | 1,00 | 0,91 | 0,90 | 0,88 | 0,87 |
| 0,65 | 0,45 | 3,0 | 1,00 | 0,90 | 0,89 | 0,87 | 0,86 |
| 0,65 | 0,45 | 6,0 | 1,00 | 0,89 | 0,88 | 0,86 | 0,84 |
| 0,65 | 0,40 | 0,5 | 1,00 | 0,92 | 0,91 | 0,89 | 0,87 |
| 0,65 | 0,40 | 1,0 | 1,00 | 0,92 | 0,91 | 0,89 | 0,87 |
| 0,65 | 0,40 | 3,0 | 1,00 | 0,91 | 0,90 | 0,88 | 0,86 |
| 0,65 | 0,40 | 6,0 | 1,00 | 0,89 | 0,88 | 0,87 | 0,85 |
| 0,60 | 0,55 | 0,5 | 1,00 | 0,89 | 0,88 | 0,87 | 0,85 |
| 0,60 | 0,55 | 1,0 | 1,00 | 0,89 | 0,88 | 0,86 | 0,85 |

| Средневзвешенный коэффициент отражения | | Индекс противостоящего здания в разрезе z ₂ | Значения коэффициента K _{зд0} при значениях индекса противостоящего здания в плане z ₁ | | | | |
|-----------------------------------------------|-----------------------------------------------------|--------------------------------------------------------|------------------------------------------------------------------------------------------------------------|------|------|------|-------------|
| фасада экранирующего здания ρ _ф | внутренней поверхности помещения ρ _{ср} | | 1,0 и менее | 1,5 | 2,0 | 3,0 | 4,0 и более |
| 0,60 | 0,55 | 3,0 | 1,00 | 0,88 | 0,87 | 0,85 | 0,84 |
| 0,60 | 0,55 | 6,0 | 1,00 | 0,87 | 0,86 | 0,84 | 0,82 |
| 0,60 | 0,50 | 0,5 | 1,00 | 0,90 | 0,89 | 0,87 | 0,85 |
| 0,60 | 0,50 | 1,0 | 1,00 | 0,90 | 0,89 | 0,87 | 0,85 |
| 0,60 | 0,50 | 3,0 | 1,00 | 0,89 | 0,88 | 0,86 | 0,84 |
| 0,60 | 0,50 | 6,0 | 1,00 | 0,87 | 0,86 | 0,85 | 0,83 |
| 0,60 | 0,45 | 0,5 | 1,00 | 0,90 | 0,90 | 0,88 | 0,86 |
| 0,60 | 0,45 | 1,0 | 1,00 | 0,90 | 0,89 | 0,88 | 0,86 |
| 0,60 | 0,45 | 3,0 | 1,00 | 0,89 | 0,88 | 0,87 | 0,85 |
| 0,60 | 0,45 | 6,0 | 1,00 | 0,88 | 0,87 | 0,85 | 0,84 |
| 0,60 | 0,40 | 0,5 | 1,00 | 0,91 | 0,90 | 0,88 | 0,87 |
| 0,60 | 0,40 | 1,0 | 1,00 | 0,91 | 0,90 | 0,88 | 0,86 |
| 0,60 | 0,40 | 3,0 | 1,00 | 0,90 | 0,89 | 0,87 | 0,86 |
| 0,60 | 0,40 | 6,0 | 1,00 | 0,89 | 0,88 | 0,86 | 0,84 |
| 0,50 | 0,55 | 0,5 | 1,00 | 0,88 | 0,87 | 0,85 | 0,84 |
| 0,50 | 0,55 | 1,0 | 1,00 | 0,88 | 0,87 | 0,85 | 0,83 |
| 0,50 | 0,55 | 3,0 | 1,00 | 0,87 | 0,86 | 0,84 | 0,82 |
| 0,50 | 0,55 | 6,0 | 1,00 | 0,85 | 0,84 | 0,83 | 0,81 |
| 0,50 | 0,50 | 0,5 | 1,00 | 0,89 | 0,88 | 0,86 | 0,84 |
| 0,50 | 0,50 | 1,0 | 1,00 | 0,88 | 0,87 | 0,86 | 0,84 |
| 0,50 | 0,50 | 3,0 | 1,00 | 0,87 | 0,86 | 0,85 | 0,83 |
| 0,50 | 0,50 | 6,0 | 1,00 | 0,86 | 0,85 | 0,83 | 0,82 |
| 0,50 | 0,45 | 0,5 | 1,00 | 0,89 | 0,88 | 0,87 | 0,85 |
| 0,50 | 0,45 | 1,0 | 1,00 | 0,89 | 0,88 | 0,86 | 0,85 |
| 0,50 | 0,45 | 3,0 | 1,00 | 0,88 | 0,87 | 0,85 | 0,84 |
| 0,50 | 0,45 | 6,0 | 1,00 | 0,87 | 0,86 | 0,84 | 0,82 |
| 0,50 | 0,40 | 0,5 | 1,00 | 0,90 | 0,89 | 0,87 | 0,85 |
| 0,50 | 0,40 | 1,0 | 1,00 | 0,90 | 0,89 | 0,87 | 0,85 |
| 0,50 | 0,40 | 3,0 | 1,00 | 0,89 | 0,88 | 0,86 | 0,84 |
| 0,50 | 0,40 | 6,0 | 1,00 | 0,87 | 0,86 | 0,85 | 0,83 |
| 0,40 | 0,55 | 0,5 | 1,00 | 0,87 | 0,86 | 0,84 | 0,82 |
| 0,40 | 0,55 | 1,0 | 1,00 | 0,86 | 0,85 | 0,84 | 0,82 |
| 0,40 | 0,55 | 3,0 | 1,00 | 0,85 | 0,84 | 0,83 | 0,81 |
| 0,40 | 0,55 | 6,0 | 1,00 | 0,84 | 0,83 | 0,81 | 0,80 |
| 0,40 | 0,50 | 0,5 | 1,00 | 0,87 | 0,86 | 0,85 | 0,83 |
| 0,40 | 0,50 | 1,0 | 1,00 | 0,87 | 0,86 | 0,84 | 0,83 |
| 0,40 | 0,50 | 3,0 | 1,00 | 0,86 | 0,85 | 0,83 | 0,82 |
| 0,40 | 0,50 | 6,0 | 1,00 | 0,85 | 0,84 | 0,82 | 0,80 |
| 0,40 | 0,45 | 0,5 | 1,00 | 0,88 | 0,87 | 0,85 | 0,83 |
| 0,40 | 0,45 | 1,0 | 1,00 | 0,88 | 0,87 | 0,85 | 0,83 |
| 0,40 | 0,45 | 3,0 | 1,00 | 0,87 | 0,86 | 0,84 | 0,82 |

В НАБОР

| Средневзвешенный коэффициент отражения | | Индекс противостоящего здания в разрезе z ₂ | Значения коэффициента K _{зд0} при значениях индекса противостоящего здания в плане z ₁ | | | | |
|------------------------------------------------------------------------------------------------|-----------------------------------------------------|--------------------------------------------------------|------------------------------------------------------------------------------------------------------------|------|------|------|-------------|
| фасада экранирующего здания ρ _ф | внутренней поверхности помещения ρ _{ср} | | 1,0 и менее | 1,5 | 2,0 | 3,0 | 4,0 и более |
| 0,40 | 0,45 | 6,0 | 1,00 | 0,85 | 0,84 | 0,83 | 0,81 |
| 0,40 | 0,40 | 0,5 | 1,00 | 0,88 | 0,88 | 0,86 | 0,84 |
| 0,40 | 0,40 | 1,0 | 1,00 | 0,88 | 0,87 | 0,86 | 0,84 |
| 0,40 | 0,40 | 3,0 | 1,00 | 0,87 | 0,86 | 0,85 | 0,83 |
| 0,40 | 0,40 | 6,0 | 1,00 | 0,86 | 0,85 | 0,83 | 0,81 |
| 0,30 | 0,55 | 0,5 | 1,00 | 0,85 | 0,84 | 0,83 | 0,81 |
| 0,30 | 0,55 | 1,0 | 1,00 | 0,85 | 0,84 | 0,82 | 0,81 |
| 0,30 | 0,55 | 3,0 | 1,00 | 0,84 | 0,83 | 0,81 | 0,80 |
| 0,30 | 0,55 | 6,0 | 1,00 | 0,83 | 0,82 | 0,80 | 0,78 |
| 0,30 | 0,50 | 0,5 | 1,00 | 0,86 | 0,85 | 0,83 | 0,81 |
| 0,30 | 0,50 | 1,0 | 1,00 | 0,86 | 0,85 | 0,83 | 0,81 |
| 0,30 | 0,50 | 3,0 | 1,00 | 0,85 | 0,84 | 0,82 | 0,80 |
| 0,30 | 0,50 | 6,0 | 1,00 | 0,83 | 0,82 | 0,81 | 0,79 |
| 0,30 | 0,45 | 0,5 | 1,00 | 0,86 | 0,86 | 0,84 | 0,82 |
| 0,30 | 0,45 | 1,0 | 1,00 | 0,86 | 0,85 | 0,84 | 0,82 |
| 0,30 | 0,45 | 3,0 | 1,00 | 0,85 | 0,84 | 0,83 | 0,81 |
| 0,30 | 0,45 | 6,0 | 1,00 | 0,84 | 0,83 | 0,81 | 0,79 |
| 0,30 | 0,40 | 0,5 | 1,00 | 0,87 | 0,86 | 0,84 | 0,83 |
| 0,30 | 0,40 | 1,0 | 1,00 | 0,87 | 0,86 | 0,84 | 0,82 |
| 0,30 | 0,40 | 3,0 | 1,00 | 0,86 | 0,85 | 0,83 | 0,82 |
| 0,30 | 0,40 | 6,0 | 1,00 | 0,84 | 0,84 | 0,82 | 0,80 |
| Отношение расстояния расчетной точки от наружной стены к глубине помещения $l_T/d_n = 0,70$ | | | | | | | |
| 0,65 | 0,55 | 0,5 | 1,00 | 0,90 | 0,90 | 0,88 | 0,86 |
| 0,65 | 0,55 | 1,0 | 1,00 | 0,90 | 0,89 | 0,88 | 0,86 |
| 0,65 | 0,55 | 3,0 | 1,00 | 0,89 | 0,88 | 0,87 | 0,85 |
| 0,65 | 0,55 | 6,0 | 1,00 | 0,88 | 0,87 | 0,85 | 0,84 |
| 0,65 | 0,50 | 0,5 | 1,00 | 0,91 | 0,90 | 0,88 | 0,87 |
| 0,65 | 0,50 | 1,0 | 1,00 | 0,91 | 0,90 | 0,88 | 0,87 |
| 0,65 | 0,50 | 3,0 | 1,00 | 0,90 | 0,89 | 0,87 | 0,86 |
| 0,65 | 0,50 | 6,0 | 1,00 | 0,89 | 0,88 | 0,86 | 0,84 |
| 0,65 | 0,45 | 0,5 | 1,00 | 0,92 | 0,91 | 0,89 | 0,87 |
| 0,65 | 0,45 | 1,0 | 1,00 | 0,91 | 0,91 | 0,89 | 0,87 |
| 0,65 | 0,45 | 3,0 | 1,00 | 0,91 | 0,90 | 0,88 | 0,86 |
| 0,65 | 0,45 | 6,0 | 1,00 | 0,89 | 0,88 | 0,87 | 0,85 |
| 0,65 | 0,40 | 0,5 | 1,00 | 0,92 | 0,91 | 0,90 | 0,88 |
| 0,65 | 0,40 | 1,0 | 1,00 | 0,92 | 0,91 | 0,90 | 0,88 |
| 0,65 | 0,40 | 3,0 | 1,00 | 0,91 | 0,90 | 0,89 | 0,87 |
| 0,65 | 0,40 | 6,0 | 1,00 | 0,90 | 0,89 | 0,87 | 0,85 |
| 0,60 | 0,55 | 0,5 | 1,00 | 0,90 | 0,89 | 0,87 | 0,85 |
| 0,60 | 0,55 | 1,0 | 1,00 | 0,90 | 0,89 | 0,87 | 0,85 |

В НАБОР

| Средневзвешенный коэффициент отражения | | Индекс противостоящего здания в разрезе z_2 | Значения коэффициента $K_{здо}$ при значениях индекса противостоящего здания в плане z_1 | | | | |
|-------------------------------------------|-------------------------------------------------|-----------------------------------------------|--------------------------------------------------------------------------------------------|------|------|------|-------------|
| фасада экранирующего здания $\rho_{ф}$ | внутренней поверхности помещения $\rho_{ср}$ | | 1,0 и менее | 1,5 | 2,0 | 3,0 | 4,0 и более |
| 0,60 | 0,55 | 3,0 | 1,00 | 0,89 | 0,88 | 0,86 | 0,84 |
| 0,60 | 0,55 | 6,0 | 1,00 | 0,87 | 0,86 | 0,85 | 0,83 |
| 0,60 | 0,50 | 0,5 | 1,00 | 0,90 | 0,90 | 0,88 | 0,86 |
| 0,60 | 0,50 | 1,0 | 1,00 | 0,90 | 0,89 | 0,88 | 0,86 |
| 0,60 | 0,50 | 3,0 | 1,00 | 0,89 | 0,88 | 0,87 | 0,85 |
| 0,60 | 0,50 | 6,0 | 1,00 | 0,88 | 0,87 | 0,85 | 0,83 |
| 0,60 | 0,45 | 0,5 | 1,00 | 0,91 | 0,90 | 0,88 | 0,87 |
| 0,60 | 0,45 | 1,0 | 1,00 | 0,91 | 0,90 | 0,88 | 0,86 |
| 0,60 | 0,45 | 3,0 | 1,00 | 0,90 | 0,89 | 0,87 | 0,86 |
| 0,60 | 0,45 | 6,0 | 1,00 | 0,88 | 0,88 | 0,86 | 0,84 |
| 0,60 | 0,40 | 0,5 | 1,00 | 0,92 | 0,91 | 0,89 | 0,87 |
| 0,60 | 0,40 | 1,0 | 1,00 | 0,91 | 0,91 | 0,89 | 0,87 |
| 0,60 | 0,40 | 3,0 | 1,00 | 0,91 | 0,90 | 0,88 | 0,86 |
| 0,60 | 0,40 | 6,0 | 1,00 | 0,89 | 0,88 | 0,86 | 0,85 |
| 0,50 | 0,55 | 0,5 | 1,00 | 0,88 | 0,88 | 0,86 | 0,84 |
| 0,50 | 0,55 | 1,0 | 1,00 | 0,88 | 0,87 | 0,86 | 0,84 |
| 0,50 | 0,55 | 3,0 | 1,00 | 0,87 | 0,86 | 0,85 | 0,83 |
| 0,50 | 0,55 | 6,0 | 1,00 | 0,86 | 0,85 | 0,83 | 0,82 |
| 0,50 | 0,50 | 0,5 | 1,00 | 0,89 | 0,88 | 0,86 | 0,85 |
| 0,50 | 0,50 | 1,0 | 1,00 | 0,89 | 0,88 | 0,86 | 0,85 |
| 0,50 | 0,50 | 3,0 | 1,00 | 0,88 | 0,87 | 0,85 | 0,84 |
| 0,50 | 0,50 | 6,0 | 1,00 | 0,87 | 0,86 | 0,84 | 0,82 |
| 0,50 | 0,45 | 0,5 | 1,00 | 0,90 | 0,89 | 0,87 | 0,85 |
| 0,50 | 0,45 | 1,0 | 1,00 | 0,89 | 0,89 | 0,87 | 0,85 |
| 0,50 | 0,45 | 3,0 | 1,00 | 0,89 | 0,88 | 0,86 | 0,84 |
| 0,50 | 0,45 | 6,0 | 1,00 | 0,87 | 0,86 | 0,85 | 0,83 |
| 0,50 | 0,40 | 0,5 | 1,00 | 0,90 | 0,89 | 0,88 | 0,86 |
| 0,50 | 0,40 | 1,0 | 1,00 | 0,90 | 0,89 | 0,87 | 0,86 |
| 0,50 | 0,40 | 3,0 | 1,00 | 0,89 | 0,88 | 0,87 | 0,85 |
| 0,50 | 0,40 | 6,0 | 1,00 | 0,88 | 0,87 | 0,85 | 0,83 |
| 0,40 | 0,55 | 0,5 | 1,00 | 0,87 | 0,86 | 0,85 | 0,83 |
| 0,40 | 0,55 | 1,0 | 1,00 | 0,87 | 0,86 | 0,84 | 0,83 |
| 0,40 | 0,55 | 3,0 | 1,00 | 0,86 | 0,85 | 0,83 | 0,82 |
| 0,40 | 0,55 | 6,0 | 1,00 | 0,85 | 0,84 | 0,82 | 0,80 |
| 0,40 | 0,50 | 0,5 | 1,00 | 0,88 | 0,87 | 0,85 | 0,83 |
| 0,40 | 0,50 | 1,0 | 1,00 | 0,88 | 0,87 | 0,85 | 0,83 |
| 0,40 | 0,50 | 3,0 | 1,00 | 0,87 | 0,86 | 0,84 | 0,82 |
| 0,40 | 0,50 | 6,0 | 1,00 | 0,85 | 0,84 | 0,83 | 0,81 |
| 0,40 | 0,45 | 0,5 | 1,00 | 0,88 | 0,88 | 0,86 | 0,84 |
| 0,40 | 0,45 | 1,0 | 1,00 | 0,88 | 0,87 | 0,86 | 0,84 |
| 0,40 | 0,45 | 3,0 | 1,00 | 0,87 | 0,86 | 0,85 | 0,83 |

| Средневзвешенный коэффициент отражения | | Индекс противостоящего здания в разрезе z ₂ | Значения коэффициента K _{зд0} при значениях индекса противостоящего здания в плане z ₁ | | | | |
|------------------------------------------------------------------------------------------------|-----------------------------------------------------|--------------------------------------------------------|------------------------------------------------------------------------------------------------------------|------|------|------|-------------|
| фасада экранирующего здания ρ _ф | внутренней поверхности помещения ρ _{сп} | | 1,0 и менее | 1,5 | 2,0 | 3,0 | 4,0 и более |
| 0,40 | 0,45 | 6,0 | 1,00 | 0,86 | 0,85 | 0,83 | 0,81 |
| 0,40 | 0,40 | 0,5 | 1,00 | 0,89 | 0,88 | 0,86 | 0,85 |
| 0,40 | 0,40 | 1,0 | 1,00 | 0,89 | 0,88 | 0,86 | 0,84 |
| 0,40 | 0,40 | 3,0 | 1,00 | 0,88 | 0,87 | 0,85 | 0,83 |
| 0,40 | 0,40 | 6,0 | 1,00 | 0,86 | 0,86 | 0,84 | 0,82 |
| 0,30 | 0,55 | 0,5 | 1,00 | 0,86 | 0,85 | 0,83 | 0,81 |
| 0,30 | 0,55 | 1,0 | 1,00 | 0,86 | 0,85 | 0,83 | 0,81 |
| 0,30 | 0,55 | 3,0 | 1,00 | 0,85 | 0,84 | 0,82 | 0,80 |
| 0,30 | 0,55 | 6,0 | 1,00 | 0,83 | 0,82 | 0,81 | 0,79 |
| 0,30 | 0,50 | 0,5 | 1,00 | 0,86 | 0,86 | 0,84 | 0,82 |
| 0,30 | 0,50 | 1,0 | 1,00 | 0,86 | 0,85 | 0,84 | 0,82 |
| 0,30 | 0,50 | 3,0 | 1,00 | 0,85 | 0,84 | 0,83 | 0,81 |
| 0,30 | 0,50 | 6,0 | 1,00 | 0,84 | 0,83 | 0,81 | 0,79 |
| 0,30 | 0,45 | 0,5 | 1,00 | 0,87 | 0,86 | 0,84 | 0,83 |
| 0,30 | 0,45 | 1,0 | 1,00 | 0,87 | 0,86 | 0,84 | 0,82 |
| 0,30 | 0,45 | 3,0 | 1,00 | 0,86 | 0,85 | 0,83 | 0,81 |
| 0,30 | 0,45 | 6,0 | 1,00 | 0,84 | 0,84 | 0,82 | 0,80 |
| 0,30 | 0,40 | 0,5 | 1,00 | 0,88 | 0,87 | 0,85 | 0,83 |
| 0,30 | 0,40 | 1,0 | 1,00 | 0,87 | 0,87 | 0,85 | 0,83 |
| 0,30 | 0,40 | 3,0 | 1,00 | 0,86 | 0,86 | 0,84 | 0,82 |
| 0,30 | 0,40 | 6,0 | 1,00 | 0,85 | 0,84 | 0,82 | 0,81 |
| Отношение расстояния расчетной точки от наружной стены к глубине помещения $l_r/d_n = 0,50$ | | | | | | | |
| 0,65 | 0,55 | 0,5 | 1,00 | 0,91 | 0,90 | 0,88 | 0,87 |
| 0,65 | 0,55 | 1,0 | 1,00 | 0,91 | 0,90 | 0,88 | 0,86 |
| 0,65 | 0,55 | 3,0 | 1,00 | 0,90 | 0,89 | 0,87 | 0,86 |
| 0,65 | 0,55 | 6,0 | 1,00 | 0,88 | 0,88 | 0,86 | 0,84 |
| 0,65 | 0,50 | 0,5 | 1,00 | 0,92 | 0,91 | 0,89 | 0,87 |
| 0,65 | 0,50 | 1,0 | 1,00 | 0,91 | 0,91 | 0,89 | 0,87 |
| 0,65 | 0,50 | 3,0 | 1,00 | 0,91 | 0,90 | 0,88 | 0,86 |
| 0,65 | 0,50 | 6,0 | 1,00 | 0,89 | 0,88 | 0,87 | 0,85 |
| 0,65 | 0,45 | 0,5 | 1,00 | 0,92 | 0,91 | 0,90 | 0,88 |
| 0,65 | 0,45 | 1,0 | 1,00 | 0,92 | 0,91 | 0,89 | 0,88 |
| 0,65 | 0,45 | 3,0 | 1,00 | 0,91 | 0,90 | 0,89 | 0,87 |
| 0,65 | 0,45 | 6,0 | 1,00 | 0,90 | 0,89 | 0,87 | 0,85 |
| 0,65 | 0,40 | 0,5 | 1,00 | 0,93 | 0,92 | 0,90 | 0,89 |
| 0,65 | 0,40 | 1,0 | 1,00 | 0,93 | 0,92 | 0,90 | 0,88 |
| 0,65 | 0,40 | 3,0 | 1,00 | 0,92 | 0,91 | 0,89 | 0,87 |
| 0,65 | 0,40 | 6,0 | 1,00 | 0,90 | 0,89 | 0,88 | 0,86 |
| 0,60 | 0,55 | 0,5 | 1,00 | 0,90 | 0,90 | 0,88 | 0,86 |
| 0,60 | 0,55 | 1,0 | 1,00 | 0,90 | 0,89 | 0,88 | 0,86 |

| Средневзвешенный коэффициент отражения | | Индекс противостоящего здания в разрезе z_2 | Значения коэффициента $K_{зд0}$ при значениях индекса противостоящего здания в плане z_1 | | | | |
|-------------------------------------------|-------------------------------------------------|-----------------------------------------------|--------------------------------------------------------------------------------------------|------|------|------|-------------|
| фасада экранирующего здания $\rho_{ф}$ | внутренней поверхности помещения $\rho_{ср}$ | | 1,0 и менее | 1,5 | 2,0 | 3,0 | 4,0 и более |
| 0,60 | 0,55 | 3,0 | 1,00 | 0,89 | 0,88 | 0,87 | 0,85 |
| 0,60 | 0,55 | 6,0 | 1,00 | 0,88 | 0,87 | 0,85 | 0,83 |
| 0,60 | 0,50 | 0,5 | 1,00 | 0,91 | 0,90 | 0,88 | 0,87 |
| 0,60 | 0,50 | 1,0 | 1,00 | 0,91 | 0,90 | 0,88 | 0,86 |
| 0,60 | 0,50 | 3,0 | 1,00 | 0,90 | 0,89 | 0,87 | 0,85 |
| 0,60 | 0,50 | 6,0 | 1,00 | 0,88 | 0,88 | 0,86 | 0,84 |
| 0,60 | 0,45 | 0,5 | 1,00 | 0,92 | 0,91 | 0,89 | 0,87 |
| 0,60 | 0,45 | 1,0 | 1,00 | 0,91 | 0,91 | 0,89 | 0,87 |
| 0,60 | 0,45 | 3,0 | 1,00 | 0,90 | 0,90 | 0,88 | 0,86 |
| 0,60 | 0,45 | 6,0 | 1,00 | 0,89 | 0,88 | 0,86 | 0,85 |
| 0,60 | 0,40 | 0,5 | 1,00 | 0,92 | 0,91 | 0,90 | 0,88 |
| 0,60 | 0,40 | 1,0 | 1,00 | 0,92 | 0,91 | 0,89 | 0,88 |
| 0,60 | 0,40 | 3,0 | 1,00 | 0,91 | 0,90 | 0,88 | 0,87 |
| 0,60 | 0,40 | 6,0 | 1,00 | 0,90 | 0,89 | 0,87 | 0,85 |
| 0,50 | 0,55 | 0,5 | 1,00 | 0,89 | 0,88 | 0,86 | 0,85 |
| 0,50 | 0,55 | 1,0 | 1,00 | 0,89 | 0,88 | 0,86 | 0,84 |
| 0,50 | 0,55 | 3,0 | 1,00 | 0,88 | 0,87 | 0,85 | 0,84 |
| 0,50 | 0,55 | 6,0 | 1,00 | 0,86 | 0,86 | 0,84 | 0,82 |
| 0,50 | 0,50 | 0,5 | 1,00 | 0,90 | 0,89 | 0,87 | 0,85 |
| 0,50 | 0,50 | 1,0 | 1,00 | 0,89 | 0,89 | 0,87 | 0,85 |
| 0,50 | 0,50 | 3,0 | 1,00 | 0,89 | 0,88 | 0,86 | 0,84 |
| 0,50 | 0,50 | 6,0 | 1,00 | 0,87 | 0,86 | 0,84 | 0,83 |
| 0,50 | 0,45 | 0,5 | 1,00 | 0,90 | 0,89 | 0,88 | 0,86 |
| 0,50 | 0,45 | 1,0 | 1,00 | 0,90 | 0,89 | 0,87 | 0,86 |
| 0,50 | 0,45 | 3,0 | 1,00 | 0,89 | 0,88 | 0,87 | 0,85 |
| 0,50 | 0,45 | 6,0 | 1,00 | 0,88 | 0,87 | 0,85 | 0,83 |
| 0,50 | 0,40 | 0,5 | 1,00 | 0,91 | 0,90 | 0,88 | 0,87 |
| 0,50 | 0,40 | 1,0 | 1,00 | 0,91 | 0,90 | 0,88 | 0,86 |
| 0,50 | 0,40 | 3,0 | 1,00 | 0,90 | 0,89 | 0,87 | 0,85 |
| 0,50 | 0,40 | 6,0 | 1,00 | 0,88 | 0,87 | 0,86 | 0,84 |
| 0,40 | 0,55 | 0,5 | 1,00 | 0,88 | 0,87 | 0,85 | 0,83 |
| 0,40 | 0,55 | 1,0 | 1,00 | 0,87 | 0,87 | 0,85 | 0,83 |
| 0,40 | 0,55 | 3,0 | 1,00 | 0,87 | 0,86 | 0,84 | 0,82 |
| 0,40 | 0,55 | 6,0 | 1,00 | 0,85 | 0,84 | 0,83 | 0,81 |
| 0,40 | 0,50 | 0,5 | 1,00 | 0,88 | 0,87 | 0,86 | 0,84 |
| 0,40 | 0,50 | 1,0 | 1,00 | 0,88 | 0,87 | 0,85 | 0,84 |
| 0,40 | 0,50 | 3,0 | 1,00 | 0,87 | 0,86 | 0,85 | 0,83 |
| 0,40 | 0,50 | 6,0 | 1,00 | 0,86 | 0,85 | 0,83 | 0,81 |
| 0,40 | 0,45 | 0,5 | 1,00 | 0,89 | 0,88 | 0,86 | 0,85 |
| 0,40 | 0,45 | 1,0 | 1,00 | 0,89 | 0,88 | 0,86 | 0,84 |
| 0,40 | 0,45 | 3,0 | 1,00 | 0,88 | 0,87 | 0,85 | 0,83 |

В НАБОР

| Средневзвешенный коэффициент отражения | | Индекс противостоящего здания в разрезе z_2 | Значения коэффициента $K_{зд0}$ при значениях индекса противостоящего здания в плане z_1 | | | | |
|-------------------------------------------|-------------------------------------------------|-----------------------------------------------|--------------------------------------------------------------------------------------------|------|------|------|-------------|
| фасада экранирующего здания $\rho_{ф}$ | внутренней поверхности помещения $\rho_{ср}$ | | 1,0 и менее | 1,5 | 2,0 | 3,0 | 4,0 и более |
| 0,40 | 0,45 | 6,0 | 1,00 | 0,86 | 0,86 | 0,84 | 0,82 |
| 0,40 | 0,40 | 0,5 | 1,00 | 0,90 | 0,89 | 0,87 | 0,85 |
| 0,40 | 0,40 | 1,0 | 1,00 | 0,89 | 0,88 | 0,87 | 0,85 |
| 0,40 | 0,40 | 3,0 | 1,00 | 0,88 | 0,88 | 0,86 | 0,84 |
| 0,40 | 0,40 | 6,0 | 1,00 | 0,87 | 0,86 | 0,84 | 0,83 |
| 0,30 | 0,55 | 0,5 | 1,00 | 0,86 | 0,86 | 0,84 | 0,82 |
| 0,30 | 0,55 | 1,0 | 1,00 | 0,86 | 0,85 | 0,84 | 0,82 |
| 0,30 | 0,55 | 3,0 | 1,00 | 0,85 | 0,84 | 0,83 | 0,81 |
| 0,30 | 0,55 | 6,0 | 1,00 | 0,84 | 0,83 | 0,81 | 0,79 |
| 0,30 | 0,50 | 0,5 | 1,00 | 0,87 | 0,86 | 0,84 | 0,83 |
| 0,30 | 0,50 | 1,0 | 1,00 | 0,87 | 0,86 | 0,84 | 0,82 |
| 0,30 | 0,50 | 3,0 | 1,00 | 0,86 | 0,85 | 0,83 | 0,81 |
| 0,30 | 0,50 | 6,0 | 1,00 | 0,84 | 0,84 | 0,82 | 0,80 |
| 0,30 | 0,45 | 0,5 | 1,00 | 0,88 | 0,87 | 0,85 | 0,83 |
| 0,30 | 0,45 | 1,0 | 1,00 | 0,87 | 0,87 | 0,85 | 0,83 |
| 0,30 | 0,45 | 3,0 | 1,00 | 0,86 | 0,86 | 0,84 | 0,82 |
| 0,30 | 0,45 | 6,0 | 1,00 | 0,85 | 0,84 | 0,82 | 0,81 |
| 0,30 | 0,40 | 0,5 | 1,00 | 0,88 | 0,87 | 0,86 | 0,84 |
| 0,30 | 0,40 | 1,0 | 1,00 | 0,88 | 0,87 | 0,85 | 0,84 |
| 0,30 | 0,40 | 3,0 | 1,00 | 0,87 | 0,86 | 0,84 | 0,83 |
| 0,30 | 0,40 | 6,0 | 1,00 | 0,86 | 0,85 | 0,83 | 0,81 |

Примечание – При значениях параметров $\rho_{ф}$, $\rho_{ср}$, z_1 , z_2 , l_T/d_n , отличных от приведенных в настоящей таблице, коэффициент $K_{зд0}$ определяют интерполяцией.

Таблица А.15 – Коэффициент $K_{зд0}$, учитывающий изменение внутренней отраженной составляющей КЕО в помещении при полном закрытии небосвода зданиями при П-образной застройке для одного из параллельных зданий (схема № 8, рисунок А.10)

| Средневзвешенный коэффициент отражения | | Индекс противостоящего здания в плане z_1 | Значения коэффициента $K_{зд0}$ при значениях индекса противостоящего здания в разрезе z_2 | | | | | |
|---------------------------------------------------------------------------------------------|-----------------------------------------------|---------------------------------------------|----------------------------------------------------------------------------------------------|------|------|------|------|-------------|
| фасада экранирующего здания $\rho_{ф}$ | внутренних поверхностей помещения $\rho_{ср}$ | | 0,10 и менее | 0,5 | 1,0 | 1,5 | 2 | 4,0 и более |
| Отношение расстояния расчетной точки от наружной стены к глубине помещения $l_T/d_n = 0,90$ | | | | | | | | |
| 0,65 | 0,55 | 0,5 | 1,00 | 1,34 | 1,41 | 1,37 | 1,27 | 0,96 |
| 0,65 | 0,55 | 2 | 1,00 | 1,28 | 1,36 | 1,34 | 1,25 | 0,96 |
| 0,65 | 0,55 | 4 | 1,00 | 1,21 | 1,29 | 1,30 | 1,21 | 0,97 |
| 0,65 | 0,5 | 0,5 | 1,00 | 1,28 | 1,36 | 1,33 | 1,24 | 0,94 |
| 0,65 | 0,5 | 2 | 1,00 | 1,23 | 1,31 | 1,30 | 1,21 | 0,94 |
| 0,65 | 0,5 | 4 | 1,00 | 1,17 | 1,24 | 1,26 | 1,17 | 0,95 |
| 0,65 | 0,45 | 0,5 | 1,00 | 1,22 | 1,30 | 1,29 | 1,20 | 0,92 |
| 0,65 | 0,45 | 2 | 1,00 | 1,18 | 1,25 | 1,26 | 1,17 | 0,93 |
| 0,65 | 0,45 | 4 | 1,00 | 1,12 | 1,20 | 1,21 | 1,14 | 0,94 |
| 0,65 | 0,4 | 0,5 | 1,00 | 1,17 | 1,24 | 1,25 | 1,17 | 0,90 |
| 0,65 | 0,4 | 2 | 1,00 | 1,13 | 1,20 | 1,22 | 1,14 | 0,91 |
| 0,65 | 0,4 | 4 | 1,00 | 1,07 | 1,15 | 1,17 | 1,10 | 0,92 |
| 0,6 | 0,55 | 0,5 | 1,00 | 1,39 | 1,46 | 1,41 | 1,31 | 0,97 |
| 0,6 | 0,55 | 2 | 1,00 | 1,33 | 1,41 | 1,38 | 1,28 | 0,98 |
| 0,6 | 0,55 | 4 | 1,00 | 1,26 | 1,34 | 1,34 | 1,24 | 0,99 |
| 0,6 | 0,5 | 0,5 | 1,00 | 1,33 | 1,40 | 1,37 | 1,28 | 0,96 |
| 0,6 | 0,5 | 2 | 1,00 | 1,28 | 1,36 | 1,34 | 1,25 | 0,96 |
| 0,6 | 0,5 | 4 | 1,00 | 1,22 | 1,29 | 1,30 | 1,21 | 0,97 |
| 0,6 | 0,45 | 0,5 | 1,00 | 1,27 | 1,35 | 1,33 | 1,24 | 0,94 |
| 0,6 | 0,45 | 2 | 1,00 | 1,23 | 1,30 | 1,30 | 1,21 | 0,95 |
| 0,6 | 0,45 | 4 | 1,00 | 1,17 | 1,25 | 1,26 | 1,17 | 0,95 |
| 0,6 | 0,4 | 0,5 | 1,00 | 1,21 | 1,29 | 1,29 | 1,20 | 0,92 |
| 0,6 | 0,4 | 2 | 1,00 | 1,18 | 1,25 | 1,26 | 1,17 | 0,93 |
| 0,6 | 0,4 | 4 | 1,00 | 1,12 | 1,20 | 1,22 | 1,14 | 0,94 |
| 0,5 | 0,55 | 0,5 | 1,00 | 1,48 | 1,56 | 1,49 | 1,38 | 1,01 |
| 0,5 | 0,55 | 2 | 1,00 | 1,43 | 1,51 | 1,46 | 1,35 | 1,02 |
| 0,5 | 0,55 | 4 | 1,00 | 1,36 | 1,44 | 1,42 | 1,32 | 1,03 |
| 0,5 | 0,5 | 0,5 | 1,00 | 1,43 | 1,50 | 1,45 | 1,35 | 0,99 |
| 0,5 | 0,5 | 2 | 1,00 | 1,38 | 1,45 | 1,42 | 1,32 | 1,00 |
| 0,5 | 0,5 | 4 | 1,00 | 1,31 | 1,39 | 1,38 | 1,28 | 1,01 |
| 0,5 | 0,45 | 0,5 | 1,00 | 1,37 | 1,45 | 1,41 | 1,31 | 0,98 |
| 0,5 | 0,45 | 2 | 1,00 | 1,33 | 1,40 | 1,38 | 1,28 | 0,98 |
| 0,5 | 0,45 | 4 | 1,00 | 1,27 | 1,34 | 1,34 | 1,24 | 0,99 |
| 0,5 | 0,4 | 0,5 | 1,00 | 1,31 | 1,39 | 1,37 | 1,28 | 0,96 |
| 0,5 | 0,4 | 2 | 1,00 | 1,27 | 1,35 | 1,34 | 1,25 | 0,97 |

В НАБОР

| Средневзвешенный коэффициент отражения | | Индекс противостоящего здания в плане z_1 | Значения коэффициента $K_{зд0}$ при значениях индекса противостоящего здания в разрезе z_2 | | | | | |
|---------------------------------------------------------------------------------------------|------------------------------------------------------|---------------------------------------------|----------------------------------------------------------------------------------------------|------|------|------|------|-------------|
| фасада экранирующего здания $\rho_{\text{ф}}$ | внутренних поверхностей помещений $\rho_{\text{ср}}$ | | 0,10 и менее | 0,5 | 1,0 | 1,5 | 2 | 4,0 и более |
| 0,5 | 0,4 | 4 | 1,00 | 1,22 | 1,30 | 1,30 | 1,21 | 0,97 |
| 0,4 | 0,55 | 0,5 | 1,00 | 1,58 | 1,66 | 1,58 | 1,46 | 1,05 |
| 0,4 | 0,55 | 2 | 1,00 | 1,53 | 1,61 | 1,54 | 1,43 | 1,06 |
| 0,4 | 0,55 | 4 | 1,00 | 1,46 | 1,53 | 1,50 | 1,39 | 1,06 |
| 0,4 | 0,5 | 0,5 | 1,00 | 1,52 | 1,60 | 1,54 | 1,42 | 1,03 |
| 0,4 | 0,5 | 2 | 1,00 | 1,48 | 1,55 | 1,50 | 1,39 | 1,04 |
| 0,4 | 0,5 | 4 | 1,00 | 1,41 | 1,49 | 1,46 | 1,35 | 1,05 |
| 0,4 | 0,45 | 0,5 | 1,00 | 1,47 | 1,54 | 1,49 | 1,39 | 1,01 |
| 0,4 | 0,45 | 2 | 1,00 | 1,42 | 1,50 | 1,46 | 1,36 | 1,02 |
| 0,4 | 0,45 | 4 | 1,00 | 1,37 | 1,44 | 1,42 | 1,32 | 1,03 |
| 0,4 | 0,4 | 0,5 | 1,00 | 1,41 | 1,49 | 1,45 | 1,35 | 1,00 |
| 0,4 | 0,4 | 2 | 1,00 | 1,37 | 1,45 | 1,42 | 1,32 | 1,00 |
| 0,4 | 0,4 | 4 | 1,00 | 1,32 | 1,40 | 1,38 | 1,28 | 1,01 |
| 0,3 | 0,55 | 0,5 | 1,00 | 1,68 | 1,76 | 1,66 | 1,53 | 1,09 |
| 0,3 | 0,55 | 2 | 1,00 | 1,63 | 1,70 | 1,62 | 1,50 | 1,09 |
| 0,3 | 0,55 | 4 | 1,00 | 1,56 | 1,63 | 1,58 | 1,46 | 1,10 |
| 0,3 | 0,5 | 0,5 | 1,00 | 1,62 | 1,70 | 1,62 | 1,49 | 1,07 |
| 0,3 | 0,5 | 2 | 1,00 | 1,57 | 1,65 | 1,58 | 1,46 | 1,08 |
| 0,3 | 0,5 | 4 | 1,00 | 1,51 | 1,59 | 1,54 | 1,43 | 1,08 |
| 0,3 | 0,45 | 0,5 | 1,00 | 1,57 | 1,64 | 1,58 | 1,46 | 1,05 |
| 0,3 | 0,45 | 2 | 1,00 | 1,52 | 1,60 | 1,54 | 1,43 | 1,06 |
| 0,3 | 0,45 | 4 | 1,00 | 1,46 | 1,54 | 1,50 | 1,39 | 1,07 |
| 0,3 | 0,4 | 0,5 | 1,00 | 1,51 | 1,59 | 1,54 | 1,42 | 1,04 |
| 0,3 | 0,4 | 2 | 1,00 | 1,47 | 1,55 | 1,50 | 1,39 | 1,04 |
| 0,3 | 0,4 | 4 | 1,00 | 1,42 | 1,49 | 1,46 | 1,35 | 1,05 |
| Отношение расстояния расчетной точки от наружной стены к глубине помещения $l_r/d_n = 0,50$ | | | | | | | | |
| 0,65 | 0,55 | 0,5 | 1,00 | 1,12 | 1,19 | 1,16 | 1,09 | 0,92 |
| 0,65 | 0,55 | 2 | 1,00 | 1,08 | 1,16 | 1,14 | 1,08 | 0,93 |
| 0,65 | 0,55 | 4 | 1,00 | 1,03 | 1,11 | 1,11 | 1,05 | 0,94 |
| 0,65 | 0,5 | 0,5 | 1,00 | 1,08 | 1,16 | 1,13 | 1,07 | 0,92 |
| 0,65 | 0,5 | 2 | 1,00 | 1,05 | 1,13 | 1,11 | 1,05 | 0,92 |
| 0,65 | 0,5 | 4 | 1,00 | 1,01 | 1,08 | 1,08 | 1,03 | 0,93 |
| 0,65 | 0,45 | 0,5 | 1,00 | 1,05 | 1,12 | 1,10 | 1,04 | 0,91 |
| 0,65 | 0,45 | 2 | 1,00 | 1,02 | 1,10 | 1,08 | 1,03 | 0,92 |
| 0,65 | 0,45 | 4 | 1,00 | 0,98 | 1,06 | 1,05 | 1,00 | 0,92 |
| 0,65 | 0,4 | 0,5 | 1,00 | 1,01 | 1,09 | 1,07 | 1,02 | 0,90 |
| 0,65 | 0,4 | 2 | 1,00 | 0,99 | 1,07 | 1,05 | 1,00 | 0,91 |
| 0,65 | 0,4 | 4 | 1,00 | 0,96 | 1,04 | 1,02 | 0,98 | 0,92 |
| 0,6 | 0,55 | 0,5 | 1,00 | 1,14 | 1,22 | 1,18 | 1,12 | 0,93 |
| 0,6 | 0,55 | 2 | 1,00 | 1,11 | 1,18 | 1,16 | 1,10 | 0,93 |
| 0,6 | 0,55 | 4 | 1,00 | 1,06 | 1,13 | 1,14 | 1,08 | 0,94 |

В НАБОР

| Средневзвешенный коэффициент отражения | | Индекс противостоящего здания в плане z_1 | Значения коэффициента $K_{зд0}$ при значениях индекса противостоящего здания в разрезе z_2 | | | | | |
|-----------------------------------------------|------------------------------------------------------|---------------------------------------------|----------------------------------------------------------------------------------------------|------|------|------|------|-------------|
| фасада экранирующего здания $\rho_{\text{ф}}$ | внутренних поверхностей помещения $\rho_{\text{ср}}$ | | 0,10 и менее | 0,5 | 1,0 | 1,5 | 2 | 4,0 и более |
| 0,6 | 0,5 | 0,5 | 1,00 | 1,11 | 1,19 | 1,15 | 1,09 | 0,92 |
| 0,6 | 0,5 | 2 | 1,00 | 1,08 | 1,15 | 1,13 | 1,07 | 0,93 |
| 0,6 | 0,5 | 4 | 1,00 | 1,03 | 1,11 | 1,11 | 1,05 | 0,94 |
| 0,6 | 0,45 | 0,5 | 1,00 | 1,07 | 1,15 | 1,13 | 1,07 | 0,92 |
| 0,6 | 0,45 | 2 | 1,00 | 1,05 | 1,12 | 1,10 | 1,05 | 0,92 |
| 0,6 | 0,45 | 4 | 1,00 | 1,01 | 1,09 | 1,08 | 1,03 | 0,93 |
| 0,6 | 0,4 | 0,5 | 1,00 | 1,04 | 1,12 | 1,10 | 1,04 | 0,91 |
| 0,6 | 0,4 | 2 | 1,00 | 1,02 | 1,09 | 1,08 | 1,02 | 0,92 |
| 0,6 | 0,4 | 4 | 1,00 | 0,99 | 1,06 | 1,05 | 1,00 | 0,92 |
| 0,5 | 0,55 | 0,5 | 1,00 | 1,20 | 1,27 | 1,24 | 1,16 | 0,94 |
| 0,5 | 0,55 | 2 | 1,00 | 1,16 | 1,24 | 1,22 | 1,15 | 0,95 |
| 0,5 | 0,55 | 4 | 1,00 | 1,11 | 1,19 | 1,19 | 1,12 | 0,95 |
| 0,5 | 0,5 | 0,5 | 1,00 | 1,16 | 1,24 | 1,21 | 1,14 | 0,93 |
| 0,5 | 0,5 | 2 | 1,00 | 1,13 | 1,21 | 1,19 | 1,12 | 0,94 |
| 0,5 | 0,5 | 4 | 1,00 | 1,09 | 1,16 | 1,16 | 1,10 | 0,95 |
| 0,5 | 0,45 | 0,5 | 1,00 | 1,13 | 1,20 | 1,18 | 1,11 | 0,93 |
| 0,5 | 0,45 | 2 | 1,00 | 1,10 | 1,18 | 1,16 | 1,10 | 0,93 |
| 0,5 | 0,45 | 4 | 1,00 | 1,06 | 1,14 | 1,13 | 1,07 | 0,94 |
| 0,5 | 0,4 | 0,5 | 1,00 | 1,09 | 1,17 | 1,15 | 1,09 | 0,92 |
| 0,5 | 0,4 | 2 | 1,00 | 1,07 | 1,15 | 1,13 | 1,07 | 0,93 |
| 0,5 | 0,4 | 4 | 1,00 | 1,04 | 1,12 | 1,10 | 1,05 | 0,94 |
| 0,4 | 0,55 | 0,5 | 1,00 | 1,25 | 1,33 | 1,29 | 1,21 | 0,95 |
| 0,4 | 0,55 | 2 | 1,00 | 1,21 | 1,29 | 1,27 | 1,19 | 0,96 |
| 0,4 | 0,55 | 4 | 1,00 | 1,17 | 1,24 | 1,25 | 1,17 | 0,97 |
| 0,4 | 0,5 | 0,5 | 1,00 | 1,22 | 1,29 | 1,27 | 1,18 | 0,94 |
| 0,4 | 0,5 | 2 | 1,00 | 1,18 | 1,26 | 1,24 | 1,17 | 0,95 |
| 0,4 | 0,5 | 4 | 1,00 | 1,14 | 1,22 | 1,22 | 1,14 | 0,96 |
| 0,4 | 0,45 | 0,5 | 1,00 | 1,18 | 1,26 | 1,24 | 1,16 | 0,94 |
| 0,4 | 0,45 | 2 | 1,00 | 1,15 | 1,23 | 1,22 | 1,14 | 0,94 |
| 0,4 | 0,45 | 4 | 1,00 | 1,12 | 1,19 | 1,19 | 1,12 | 0,95 |
| 0,4 | 0,4 | 0,5 | 1,00 | 1,15 | 1,22 | 1,21 | 1,14 | 0,93 |
| 0,4 | 0,4 | 2 | 1,00 | 1,12 | 1,20 | 1,19 | 1,12 | 0,94 |
| 0,4 | 0,4 | 4 | 1,00 | 1,09 | 1,17 | 1,16 | 1,09 | 0,95 |
| 0,3 | 0,55 | 0,5 | 1,00 | 1,30 | 1,38 | 1,35 | 1,26 | 0,96 |
| 0,3 | 0,55 | 2 | 1,00 | 1,27 | 1,34 | 1,33 | 1,24 | 0,97 |
| 0,3 | 0,55 | 4 | 1,00 | 1,22 | 1,29 | 1,30 | 1,21 | 0,98 |
| 0,3 | 0,5 | 0,5 | 1,00 | 1,27 | 1,35 | 1,32 | 1,23 | 0,96 |
| 0,3 | 0,5 | 2 | 1,00 | 1,24 | 1,31 | 1,30 | 1,21 | 0,96 |
| 0,3 | 0,5 | 4 | 1,00 | 1,19 | 1,27 | 1,27 | 1,19 | 0,97 |
| 0,3 | 0,45 | 0,5 | 1,00 | 1,23 | 1,31 | 1,29 | 1,21 | 0,95 |
| 0,3 | 0,45 | 2 | 1,00 | 1,21 | 1,28 | 1,27 | 1,19 | 0,96 |
| 0,3 | 0,45 | 4 | 1,00 | 1,17 | 1,25 | 1,24 | 1,17 | 0,96 |

| Средневзвешенный коэффициент отражения | | Индекс противостоящего здания в плане z_1 | Значения коэффициента $K_{зд0}$ при значениях индекса противостоящего здания в разрезе z_2 | | | | | |
|---------------------------------------------------------------------------------------------|------------------------------------------------------|---------------------------------------------|----------------------------------------------------------------------------------------------|------|------|------|------|-------------|
| фасада экранирующего здания $\rho_{\text{ф}}$ | внутренних поверхностей помещения $\rho_{\text{ср}}$ | | 0,10 и менее | 0,5 | 1,0 | 1,5 | 2 | 4,0 и более |
| 0,3 | 0,4 | 0,5 | 1,00 | 1,20 | 1,28 | 1,26 | 1,18 | 0,94 |
| 0,3 | 0,4 | 2 | 1,00 | 1,18 | 1,25 | 1,24 | 1,16 | 0,95 |
| 0,3 | 0,4 | 4 | 1,00 | 1,15 | 1,22 | 1,21 | 1,14 | 0,96 |
| Отношение расстояния расчетной точки от наружной стены к глубине помещения $l_r/d_n = 0,10$ | | | | | | | | |
| 0,65 | 0,55 | 0,5 | 1,00 | 0,90 | 0,97 | 0,94 | 0,91 | 0,89 |
| 0,65 | 0,55 | 2 | 1,00 | 0,88 | 0,95 | 0,93 | 0,91 | 0,90 |
| 0,65 | 0,55 | 4 | 1,00 | 0,85 | 0,93 | 0,92 | 0,90 | 0,90 |
| 0,65 | 0,5 | 0,5 | 1,00 | 0,88 | 0,96 | 0,92 | 0,90 | 0,89 |
| 0,65 | 0,5 | 2 | 1,00 | 0,87 | 0,95 | 0,91 | 0,89 | 0,90 |
| 0,65 | 0,5 | 4 | 1,00 | 0,85 | 0,93 | 0,90 | 0,88 | 0,91 |
| 0,65 | 0,45 | 0,5 | 1,00 | 0,87 | 0,95 | 0,91 | 0,88 | 0,90 |
| 0,65 | 0,45 | 2 | 1,00 | 0,86 | 0,94 | 0,90 | 0,88 | 0,91 |
| 0,65 | 0,45 | 4 | 1,00 | 0,85 | 0,92 | 0,88 | 0,87 | 0,91 |
| 0,65 | 0,4 | 0,5 | 1,00 | 0,86 | 0,94 | 0,89 | 0,87 | 0,91 |
| 0,65 | 0,4 | 2 | 1,00 | 0,85 | 0,93 | 0,88 | 0,86 | 0,91 |
| 0,65 | 0,4 | 4 | 1,00 | 0,84 | 0,92 | 0,87 | 0,86 | 0,92 |
| 0,6 | 0,55 | 0,5 | 1,00 | 0,90 | 0,98 | 0,96 | 0,92 | 0,88 |
| 0,6 | 0,55 | 2 | 1,00 | 0,88 | 0,96 | 0,95 | 0,92 | 0,89 |
| 0,6 | 0,55 | 4 | 1,00 | 0,85 | 0,93 | 0,93 | 0,91 | 0,90 |
| 0,6 | 0,5 | 0,5 | 1,00 | 0,89 | 0,97 | 0,94 | 0,91 | 0,89 |
| 0,6 | 0,5 | 2 | 1,00 | 0,87 | 0,95 | 0,93 | 0,90 | 0,89 |
| 0,6 | 0,5 | 4 | 1,00 | 0,85 | 0,93 | 0,92 | 0,89 | 0,90 |
| 0,6 | 0,45 | 0,5 | 1,00 | 0,88 | 0,95 | 0,92 | 0,89 | 0,89 |
| 0,6 | 0,45 | 2 | 1,00 | 0,87 | 0,94 | 0,91 | 0,89 | 0,90 |
| 0,6 | 0,45 | 4 | 1,00 | 0,85 | 0,93 | 0,90 | 0,88 | 0,91 |
| 0,6 | 0,4 | 0,5 | 1,00 | 0,86 | 0,94 | 0,90 | 0,88 | 0,90 |
| 0,6 | 0,4 | 2 | 1,00 | 0,86 | 0,93 | 0,89 | 0,88 | 0,90 |
| 0,6 | 0,4 | 4 | 1,00 | 0,85 | 0,92 | 0,88 | 0,87 | 0,91 |
| 0,5 | 0,55 | 0,5 | 1,00 | 0,91 | 0,99 | 0,98 | 0,94 | 0,87 |
| 0,5 | 0,55 | 2 | 1,00 | 0,89 | 0,97 | 0,98 | 0,94 | 0,87 |
| 0,5 | 0,55 | 4 | 1,00 | 0,86 | 0,94 | 0,96 | 0,93 | 0,88 |
| 0,5 | 0,5 | 0,5 | 1,00 | 0,90 | 0,97 | 0,97 | 0,93 | 0,87 |
| 0,5 | 0,5 | 2 | 1,00 | 0,88 | 0,96 | 0,96 | 0,92 | 0,88 |
| 0,5 | 0,5 | 4 | 1,00 | 0,86 | 0,94 | 0,95 | 0,91 | 0,89 |
| 0,5 | 0,45 | 0,5 | 1,00 | 0,88 | 0,96 | 0,95 | 0,91 | 0,88 |
| 0,5 | 0,45 | 2 | 1,00 | 0,87 | 0,95 | 0,94 | 0,91 | 0,88 |
| 0,5 | 0,45 | 4 | 1,00 | 0,86 | 0,94 | 0,93 | 0,90 | 0,89 |
| 0,5 | 0,4 | 0,5 | 1,00 | 0,87 | 0,95 | 0,93 | 0,90 | 0,88 |
| 0,5 | 0,4 | 2 | 1,00 | 0,87 | 0,94 | 0,92 | 0,90 | 0,89 |
| 0,5 | 0,4 | 4 | 1,00 | 0,86 | 0,93 | 0,91 | 0,89 | 0,90 |
| 0,4 | 0,55 | 0,5 | 1,00 | 0,92 | 1,00 | 1,01 | 0,96 | 0,85 |

В НАБОР

| Средневзвешенный коэффициент отражения | | Индекс противостоящего здания в плане z_1 | Значения коэффициента $K_{зд0}$ при значениях индекса противостоящего здания в разрезе z_2 | | | | | |
|----------------------------------------|-----------------------------------------------|---------------------------------------------|----------------------------------------------------------------------------------------------|------|------|------|------|-------------|
| фасада экранирующего здания ρ_f | внутренних поверхностей помещения $\rho_{ср}$ | | 0,10 и менее | 0,5 | 1,0 | 1,5 | 2 | 4,0 и более |
| 0,4 | 0,55 | 2 | 1,00 | 0,90 | 0,98 | 1,00 | 0,96 | 0,86 |
| 0,4 | 0,55 | 4 | 1,00 | 0,87 | 0,95 | 0,99 | 0,95 | 0,87 |
| 0,4 | 0,5 | 0,5 | 1,00 | 0,91 | 0,98 | 1,00 | 0,95 | 0,86 |
| 0,4 | 0,5 | 2 | 1,00 | 0,89 | 0,97 | 0,99 | 0,94 | 0,86 |
| 0,4 | 0,5 | 4 | 1,00 | 0,87 | 0,95 | 0,97 | 0,93 | 0,87 |
| 0,4 | 0,45 | 0,5 | 1,00 | 0,89 | 0,97 | 0,98 | 0,93 | 0,86 |
| 0,4 | 0,45 | 2 | 1,00 | 0,88 | 0,96 | 0,97 | 0,93 | 0,87 |
| 0,4 | 0,45 | 4 | 1,00 | 0,87 | 0,94 | 0,96 | 0,92 | 0,88 |
| 0,4 | 0,4 | 0,5 | 1,00 | 0,88 | 0,96 | 0,96 | 0,92 | 0,87 |
| 0,4 | 0,4 | 2 | 1,00 | 0,87 | 0,95 | 0,95 | 0,92 | 0,87 |
| 0,4 | 0,4 | 4 | 1,00 | 0,87 | 0,94 | 0,94 | 0,91 | 0,88 |
| 0,3 | 0,55 | 0,5 | 1,00 | 0,93 | 1,00 | 1,04 | 0,98 | 0,84 |
| 0,3 | 0,55 | 2 | 1,00 | 0,91 | 0,98 | 1,03 | 0,98 | 0,84 |
| 0,3 | 0,55 | 4 | 1,00 | 0,88 | 0,96 | 1,02 | 0,97 | 0,85 |
| 0,3 | 0,5 | 0,5 | 1,00 | 0,91 | 0,99 | 1,02 | 0,97 | 0,84 |
| 0,3 | 0,5 | 2 | 1,00 | 0,90 | 0,98 | 1,02 | 0,96 | 0,85 |
| 0,3 | 0,5 | 4 | 1,00 | 0,88 | 0,95 | 1,00 | 0,95 | 0,86 |
| 0,3 | 0,45 | 0,5 | 1,00 | 0,90 | 0,98 | 1,01 | 0,95 | 0,85 |
| 0,3 | 0,45 | 2 | 1,00 | 0,89 | 0,97 | 1,00 | 0,95 | 0,85 |
| 0,3 | 0,45 | 4 | 1,00 | 0,88 | 0,95 | 0,99 | 0,94 | 0,86 |
| 0,3 | 0,4 | 0,5 | 1,00 | 0,89 | 0,97 | 0,99 | 0,94 | 0,85 |
| 0,3 | 0,4 | 2 | 1,00 | 0,88 | 0,96 | 0,98 | 0,94 | 0,86 |
| 0,3 | 0,4 | 4 | 1,00 | 0,87 | 0,95 | 0,97 | 0,93 | 0,87 |

Примечание – При значениях параметров ρ_f , $\rho_{ср}$, z_1 , z_2 , l_T/d_n , отличных от приведенных в настоящей таблице, коэффициент $K_{зд0}$ определяют интерполяцией.

Таблица А.16 – Коэффициент $K_{зд0}$, учитывающий изменение внутренней отраженной составляющей КЕО в помещении при полном закрытии небосвода зданиями при застройке в форме замкнутого двора (схема № 9, рисунок А.11)

| Средневзвешенный коэффициент отражения | | Индекс противостоящего здания в плане z_1 | Значения коэффициента $K_{зд0}$ при значениях индекса противостоящего здания в разрезе z_2 | | | | | |
|---------------------------------------------------------------------------------------------|----------------------------------------------|---------------------------------------------|----------------------------------------------------------------------------------------------|------|------|------|------|--------------|
| фасада экранирующего здания ρ_f | внутренней поверхности помещения $\rho_{ср}$ | | 0,10 и менее | 0,50 | 1,00 | 1,50 | 2,00 | 4,00 и более |
| Отношение расстояния расчетной точки от наружной стены к глубине помещения $l_T/d_n = 0,90$ | | | | | | | | |
| 0,65 | 0,55 | 0,5 | 1,00 | 1,21 | 1,27 | 1,26 | 1,22 | 1,03 |
| 0,65 | 0,55 | 2,0 | 1,00 | 1,42 | 1,48 | 1,45 | 1,38 | 1,10 |

| Средневзвешенный коэффициент отражения | | Индекс противостоящего здания в плане z_1 | Значения коэффициента $K_{зд0}$ при значениях индекса противостоящего здания в разрезе z_2 | | | | | |
|--------------------------------------------------|--------------------------------------------------------|---------------------------------------------|----------------------------------------------------------------------------------------------|------|------|------|------|--------------|
| фасада экранирующего здания $\rho_{\text{ф}}$ | внутренней поверхности помещения $\rho_{\text{ср}}$ | | 0,10 и менее | 0,50 | 1,00 | 1,50 | 2,00 | 4,00 и более |
| 0,65 | 0,55 | 4,0 | 1,00 | 1,71 | 1,77 | 1,70 | 1,59 | 1,18 |
| 0,65 | 0,50 | 0,5 | 1,00 | 1,18 | 1,25 | 1,24 | 1,20 | 1,02 |
| 0,65 | 0,50 | 2,0 | 1,00 | 1,40 | 1,46 | 1,42 | 1,36 | 1,09 |
| 0,65 | 0,50 | 4,0 | 1,00 | 1,68 | 1,75 | 1,67 | 1,57 | 1,17 |
| 0,65 | 0,45 | 0,5 | 1,00 | 1,16 | 1,22 | 1,21 | 1,17 | 1,01 |
| 0,65 | 0,45 | 2,0 | 1,00 | 1,38 | 1,44 | 1,40 | 1,34 | 1,08 |
| 0,65 | 0,45 | 4,0 | 1,00 | 1,66 | 1,73 | 1,65 | 1,55 | 1,16 |
| 0,65 | 0,40 | 0,5 | 1,00 | 1,14 | 1,20 | 1,19 | 1,15 | 1,00 |
| 0,65 | 0,40 | 2,0 | 1,00 | 1,35 | 1,42 | 1,38 | 1,31 | 1,06 |
| 0,65 | 0,40 | 4,0 | 1,00 | 1,64 | 1,70 | 1,62 | 1,53 | 1,15 |
| 0,60 | 0,55 | 0,5 | 1,00 | 1,23 | 1,30 | 1,28 | 1,24 | 1,04 |
| 0,60 | 0,55 | 2,0 | 1,00 | 1,46 | 1,53 | 1,48 | 1,41 | 1,12 |
| 0,60 | 0,55 | 4,0 | 1,00 | 1,77 | 1,84 | 1,75 | 1,64 | 1,22 |
| 0,60 | 0,50 | 0,5 | 1,00 | 1,21 | 1,27 | 1,26 | 1,21 | 1,03 |
| 0,60 | 0,50 | 2,0 | 1,00 | 1,44 | 1,50 | 1,46 | 1,39 | 1,11 |
| 0,60 | 0,50 | 4,0 | 1,00 | 1,75 | 1,81 | 1,72 | 1,62 | 1,21 |
| 0,60 | 0,45 | 0,5 | 1,00 | 1,19 | 1,25 | 1,24 | 1,19 | 1,02 |
| 0,60 | 0,45 | 2,0 | 1,00 | 1,42 | 1,48 | 1,43 | 1,37 | 1,09 |
| 0,60 | 0,45 | 4,0 | 1,00 | 1,72 | 1,79 | 1,70 | 1,60 | 1,20 |
| 0,60 | 0,40 | 0,5 | 1,00 | 1,16 | 1,23 | 1,21 | 1,17 | 1,01 |
| 0,60 | 0,40 | 2,0 | 1,00 | 1,39 | 1,46 | 1,41 | 1,34 | 1,08 |
| 0,60 | 0,40 | 4,0 | 1,00 | 1,70 | 1,76 | 1,67 | 1,57 | 1,18 |
| 0,50 | 0,55 | 0,5 | 1,00 | 1,29 | 1,36 | 1,33 | 1,27 | 1,05 |
| 0,50 | 0,55 | 2,0 | 1,00 | 1,55 | 1,62 | 1,55 | 1,47 | 1,15 |
| 0,50 | 0,55 | 4,0 | 1,00 | 1,90 | 1,97 | 1,84 | 1,73 | 1,29 |
| 0,50 | 0,50 | 0,5 | 1,00 | 1,26 | 1,33 | 1,30 | 1,25 | 1,04 |
| 0,50 | 0,50 | 2,0 | 1,00 | 1,53 | 1,59 | 1,52 | 1,45 | 1,14 |
| 0,50 | 0,50 | 4,0 | 1,00 | 1,87 | 1,94 | 1,82 | 1,71 | 1,27 |
| 0,50 | 0,45 | 0,5 | 1,00 | 1,24 | 1,30 | 1,28 | 1,23 | 1,03 |
| 0,50 | 0,45 | 2,0 | 1,00 | 1,50 | 1,56 | 1,50 | 1,43 | 1,13 |
| 0,50 | 0,45 | 4,0 | 1,00 | 1,85 | 1,91 | 1,79 | 1,69 | 1,26 |
| 0,50 | 0,40 | 0,5 | 1,00 | 1,21 | 1,27 | 1,25 | 1,21 | 1,02 |
| 0,50 | 0,40 | 2,0 | 1,00 | 1,47 | 1,53 | 1,47 | 1,40 | 1,12 |
| 0,50 | 0,40 | 4,0 | 1,00 | 1,82 | 1,88 | 1,77 | 1,67 | 1,25 |
| 0,40 | 0,55 | 0,5 | 1,00 | 1,35 | 1,41 | 1,37 | 1,31 | 1,06 |
| 0,40 | 0,55 | 2,0 | 1,00 | 1,64 | 1,71 | 1,61 | 1,53 | 1,19 |
| 0,40 | 0,55 | 4,0 | 1,00 | 2,03 | 2,10 | 1,94 | 1,82 | 1,35 |
| 0,40 | 0,50 | 0,5 | 1,00 | 1,32 | 1,38 | 1,34 | 1,29 | 1,05 |
| 0,40 | 0,50 | 2,0 | 1,00 | 1,61 | 1,67 | 1,59 | 1,51 | 1,18 |
| 0,40 | 0,50 | 4,0 | 1,00 | 2,00 | 2,07 | 1,92 | 1,80 | 1,34 |
| 0,40 | 0,45 | 0,5 | 1,00 | 1,29 | 1,35 | 1,32 | 1,26 | 1,04 |
| 0,40 | 0,45 | 2,0 | 1,00 | 1,58 | 1,64 | 1,57 | 1,49 | 1,17 |
| 0,40 | 0,45 | 4,0 | 1,00 | 1,97 | 2,03 | 1,89 | 1,78 | 1,33 |
| 0,40 | 0,40 | 0,5 | 1,00 | 1,25 | 1,32 | 1,29 | 1,24 | 1,03 |

В НАБОР

| Средневзвешенный коэффициент отражения | | Индекс противостоящего здания в плане z_1 | Значения коэффициента $K_{зд0}$ при значениях индекса противостоящего здания в разрезе z_2 | | | | | |
|------------------------------------------------------------------------------------------------|----------------------------------------------|---------------------------------------------|----------------------------------------------------------------------------------------------|------|------|------|------|--------------|
| фасада экранирующего здания R_f | внутренней поверхности помещения $R_{ср}$ | | 0,10 и менее | 0,50 | 1,00 | 1,50 | 2,00 | 4,00 и более |
| 0,40 | 0,40 | 2,0 | 1,00 | 1,55 | 1,61 | 1,54 | 1,46 | 1,15 |
| 0,40 | 0,40 | 4,0 | 1,00 | 1,94 | 2,00 | 1,87 | 1,76 | 1,32 |
| 0,30 | 0,55 | 0,5 | 1,00 | 1,41 | 1,47 | 1,41 | 1,34 | 1,08 |
| 0,30 | 0,55 | 2,0 | 1,00 | 1,73 | 1,79 | 1,68 | 1,59 | 1,22 |
| 0,30 | 0,55 | 4,0 | 1,00 | 2,16 | 2,23 | 2,04 | 1,92 | 1,42 |
| 0,30 | 0,50 | 0,5 | 1,00 | 1,37 | 1,43 | 1,39 | 1,32 | 1,06 |
| 0,30 | 0,50 | 2,0 | 1,00 | 1,70 | 1,76 | 1,66 | 1,57 | 1,21 |
| 0,30 | 0,50 | 4,0 | 1,00 | 2,13 | 2,19 | 2,01 | 1,89 | 1,41 |
| 0,30 | 0,45 | 0,5 | 1,00 | 1,34 | 1,40 | 1,36 | 1,30 | 1,05 |
| 0,30 | 0,45 | 2,0 | 1,00 | 1,66 | 1,72 | 1,63 | 1,54 | 1,20 |
| 0,30 | 0,45 | 4,0 | 1,00 | 2,09 | 2,16 | 1,99 | 1,87 | 1,40 |
| 0,30 | 0,40 | 0,5 | 1,00 | 1,30 | 1,37 | 1,34 | 1,28 | 1,04 |
| 0,30 | 0,40 | 2,0 | 1,00 | 1,63 | 1,69 | 1,61 | 1,52 | 1,19 |
| 0,30 | 0,40 | 4,0 | 1,00 | 2,06 | 2,12 | 1,97 | 1,85 | 1,39 |
| Отношение расстояния расчетной точки от наружной стены к глубине помещения $l_T/d_n = 0,50$ | | | | | | | | |
| 0,65 | 0,55 | 0,5 | 1,00 | 1,12 | 1,17 | 1,13 | 1,11 | 1,03 |
| 0,65 | 0,55 | 2,0 | 1,00 | 1,21 | 1,26 | 1,24 | 1,19 | 1,01 |
| 0,65 | 0,55 | 4,0 | 1,00 | 1,33 | 1,39 | 1,38 | 1,30 | 0,99 |
| 0,65 | 0,50 | 0,5 | 1,00 | 1,11 | 1,16 | 1,12 | 1,10 | 1,03 |
| 0,65 | 0,50 | 2,0 | 1,00 | 1,20 | 1,25 | 1,22 | 1,18 | 1,01 |
| 0,65 | 0,50 | 4,0 | 1,00 | 1,32 | 1,38 | 1,36 | 1,29 | 0,99 |
| 0,65 | 0,45 | 0,5 | 1,00 | 1,10 | 1,15 | 1,10 | 1,09 | 1,03 |
| 0,65 | 0,45 | 2,0 | 1,00 | 1,19 | 1,24 | 1,20 | 1,17 | 1,01 |
| 0,65 | 0,45 | 4,0 | 1,00 | 1,31 | 1,37 | 1,35 | 1,27 | 0,99 |
| 0,65 | 0,40 | 0,5 | 1,00 | 1,09 | 1,14 | 1,08 | 1,07 | 1,02 |
| 0,65 | 0,40 | 2,0 | 1,00 | 1,18 | 1,23 | 1,19 | 1,15 | 1,01 |
| 0,65 | 0,40 | 4,0 | 1,00 | 1,30 | 1,36 | 1,33 | 1,26 | 0,98 |
| 0,60 | 0,55 | 0,5 | 1,00 | 1,13 | 1,19 | 1,14 | 1,12 | 1,03 |
| 0,60 | 0,55 | 2,0 | 1,00 | 1,24 | 1,29 | 1,26 | 1,21 | 1,02 |
| 0,60 | 0,55 | 4,0 | 1,00 | 1,39 | 1,44 | 1,42 | 1,34 | 1,02 |
| 0,60 | 0,50 | 0,5 | 1,00 | 1,12 | 1,17 | 1,13 | 1,11 | 1,03 |
| 0,60 | 0,50 | 2,0 | 1,00 | 1,23 | 1,28 | 1,25 | 1,20 | 1,02 |
| 0,60 | 0,50 | 4,0 | 1,00 | 1,37 | 1,43 | 1,40 | 1,32 | 1,02 |
| 0,60 | 0,45 | 0,5 | 1,00 | 1,11 | 1,16 | 1,11 | 1,10 | 1,02 |
| 0,60 | 0,45 | 2,0 | 1,00 | 1,22 | 1,27 | 1,23 | 1,19 | 1,02 |
| 0,60 | 0,45 | 4,0 | 1,00 | 1,36 | 1,42 | 1,39 | 1,31 | 1,01 |
| 0,60 | 0,40 | 0,5 | 1,00 | 1,10 | 1,15 | 1,10 | 1,08 | 1,02 |
| 0,60 | 0,40 | 2,0 | 1,00 | 1,21 | 1,26 | 1,22 | 1,18 | 1,02 |
| 0,60 | 0,40 | 4,0 | 1,00 | 1,35 | 1,40 | 1,37 | 1,30 | 1,01 |
| 0,50 | 0,55 | 0,5 | 1,00 | 1,16 | 1,22 | 1,17 | 1,14 | 1,03 |
| 0,50 | 0,55 | 2,0 | 1,00 | 1,30 | 1,36 | 1,31 | 1,26 | 1,05 |
| 0,50 | 0,55 | 4,0 | 1,00 | 1,49 | 1,54 | 1,50 | 1,42 | 1,07 |
| 0,50 | 0,50 | 0,5 | 1,00 | 1,15 | 1,20 | 1,16 | 1,13 | 1,02 |

В НАБОР

| Средневзвешенный коэффициент отражения | | Индекс противостоящего здания в плане z_1 | Значения коэффициента $K_{зд0}$ при значениях индекса противостоящего здания в разрезе z_2 | | | | | |
|------------------------------------------------------------------------------------------------|--------------------------------------------------------|---------------------------------------------|----------------------------------------------------------------------------------------------|------|------|------|------|--------------|
| фасада экранирующего здания $\rho_{\text{ф}}$ | внутренней поверхности помещения $\rho_{\text{ср}}$ | | 0,10 и менее | 0,50 | 1,00 | 1,50 | 2,00 | 4,00 и более |
| 0,50 | 0,50 | 2,0 | 1,00 | 1,29 | 1,34 | 1,30 | 1,25 | 1,04 |
| 0,50 | 0,50 | 4,0 | 1,00 | 1,48 | 1,53 | 1,49 | 1,40 | 1,07 |
| 0,50 | 0,45 | 0,5 | 1,00 | 1,13 | 1,19 | 1,14 | 1,12 | 1,02 |
| 0,50 | 0,45 | 2,0 | 1,00 | 1,27 | 1,33 | 1,28 | 1,23 | 1,04 |
| 0,50 | 0,45 | 4,0 | 1,00 | 1,46 | 1,51 | 1,47 | 1,39 | 1,07 |
| 0,50 | 0,40 | 0,5 | 1,00 | 1,12 | 1,17 | 1,13 | 1,10 | 1,02 |
| 0,50 | 0,40 | 2,0 | 1,00 | 1,26 | 1,31 | 1,27 | 1,22 | 1,04 |
| 0,50 | 0,40 | 4,0 | 1,00 | 1,45 | 1,50 | 1,46 | 1,38 | 1,06 |
| 0,40 | 0,55 | 0,5 | 1,00 | 1,20 | 1,25 | 1,20 | 1,16 | 1,02 |
| 0,40 | 0,55 | 2,0 | 1,00 | 1,37 | 1,42 | 1,36 | 1,31 | 1,07 |
| 0,40 | 0,55 | 4,0 | 1,00 | 1,60 | 1,65 | 1,58 | 1,49 | 1,13 |
| 0,40 | 0,50 | 0,5 | 1,00 | 1,18 | 1,23 | 1,18 | 1,15 | 1,02 |
| 0,40 | 0,50 | 2,0 | 1,00 | 1,35 | 1,40 | 1,35 | 1,29 | 1,07 |
| 0,40 | 0,50 | 4,0 | 1,00 | 1,58 | 1,63 | 1,57 | 1,48 | 1,12 |
| 0,40 | 0,45 | 0,5 | 1,00 | 1,16 | 1,21 | 1,17 | 1,14 | 1,02 |
| 0,40 | 0,45 | 2,0 | 1,00 | 1,33 | 1,38 | 1,33 | 1,28 | 1,06 |
| 0,40 | 0,45 | 4,0 | 1,00 | 1,56 | 1,61 | 1,55 | 1,47 | 1,12 |
| 0,40 | 0,40 | 0,5 | 1,00 | 1,14 | 1,19 | 1,15 | 1,13 | 1,02 |
| 0,40 | 0,40 | 2,0 | 1,00 | 1,31 | 1,36 | 1,32 | 1,27 | 1,06 |
| 0,40 | 0,40 | 4,0 | 1,00 | 1,54 | 1,59 | 1,54 | 1,45 | 1,12 |
| 0,30 | 0,55 | 0,5 | 1,00 | 1,23 | 1,28 | 1,23 | 1,19 | 1,02 |
| 0,30 | 0,55 | 2,0 | 1,00 | 1,43 | 1,48 | 1,42 | 1,35 | 1,09 |
| 0,30 | 0,55 | 4,0 | 1,00 | 1,70 | 1,75 | 1,67 | 1,57 | 1,18 |
| 0,30 | 0,50 | 0,5 | 1,00 | 1,20 | 1,26 | 1,21 | 1,17 | 1,02 |
| 0,30 | 0,50 | 2,0 | 1,00 | 1,41 | 1,46 | 1,40 | 1,34 | 1,09 |
| 0,30 | 0,50 | 4,0 | 1,00 | 1,68 | 1,73 | 1,65 | 1,56 | 1,18 |
| 0,30 | 0,45 | 0,5 | 1,00 | 1,18 | 1,24 | 1,20 | 1,16 | 1,02 |
| 0,30 | 0,45 | 2,0 | 1,00 | 1,39 | 1,44 | 1,39 | 1,33 | 1,08 |
| 0,30 | 0,45 | 4,0 | 1,00 | 1,66 | 1,71 | 1,64 | 1,54 | 1,17 |
| 0,30 | 0,40 | 0,50 | 1,00 | 1,16 | 1,21 | 1,18 | 1,15 | 1,01 |
| 0,30 | 0,40 | 2,0 | 1,00 | 1,36 | 1,42 | 1,37 | 1,31 | 1,08 |
| 0,30 | 0,40 | 4,0 | 1,00 | 1,63 | 1,69 | 1,62 | 1,53 | 1,17 |
| Отношение расстояния расчетной точки от наружной стены к глубине помещения $l_r/d_n = 0,20$ | | | | | | | | |
| 0,65 | 0,55 | 0,5 | 1,00 | 1,05 | 1,10 | 1,03 | 1,03 | 1,03 |
| 0,65 | 0,55 | 2,0 | 1,00 | 1,05 | 1,10 | 1,08 | 1,05 | 0,95 |
| 0,65 | 0,55 | 4,0 | 1,00 | 1,05 | 1,10 | 1,13 | 1,08 | 0,85 |
| 0,65 | 0,50 | 0,5 | 1,00 | 1,05 | 1,10 | 1,02 | 1,02 | 1,03 |
| 0,65 | 0,50 | 2,0 | 1,00 | 1,05 | 1,10 | 1,07 | 1,04 | 0,95 |
| 0,65 | 0,50 | 4,0 | 1,00 | 1,05 | 1,10 | 1,13 | 1,07 | 0,85 |
| 0,65 | 0,45 | 0,5 | 1,00 | 1,05 | 1,09 | 1,01 | 1,02 | 1,04 |
| 0,65 | 0,45 | 2,0 | 1,00 | 1,05 | 1,10 | 1,06 | 1,04 | 0,96 |
| 0,65 | 0,45 | 4,0 | 1,00 | 1,05 | 1,10 | 1,12 | 1,07 | 0,86 |
| 0,65 | 0,40 | 0,5 | 1,00 | 1,05 | 1,09 | 1,01 | 1,01 | 1,04 |

Продолжение Изменения № 2 к СП 367.1325800.2017

| Средневзвешенный коэффициент отражения | | Индекс противостоящего здания в плане z ₁ | Значения коэффициента K _{зд0} при значениях индекса противостоящего здания в разрезе z ₂ | | | | | |
|-----------------------------------------------|-----------------------------------------------------|------------------------------------------------------|--------------------------------------------------------------------------------------------------------------|------|------|------|------|--------------|
| фасада экранирующего здания ρ _ф | внутренней поверхности помещения ρ _{ср} | | 0,10 и менее | 0,50 | 1,00 | 1,50 | 2,00 | 4,00 и более |
| 0,65 | 0,40 | 2,0 | 1,00 | 1,05 | 1,10 | 1,05 | 1,03 | 0,96 |
| 0,65 | 0,40 | 4,0 | 1,00 | 1,05 | 1,10 | 1,11 | 1,06 | 0,86 |
| 0,60 | 0,55 | 0,5 | 1,00 | 1,06 | 1,10 | 1,04 | 1,04 | 1,02 |
| 0,60 | 0,55 | 2,0 | 1,00 | 1,07 | 1,12 | 1,10 | 1,07 | 0,96 |
| 0,60 | 0,55 | 4,0 | 1,00 | 1,10 | 1,14 | 1,17 | 1,11 | 0,87 |
| 0,60 | 0,50 | 0,5 | 1,00 | 1,05 | 1,10 | 1,03 | 1,03 | 1,03 |
| 0,60 | 0,50 | 2,0 | 1,00 | 1,07 | 1,12 | 1,09 | 1,06 | 0,96 |
| 0,60 | 0,50 | 4,0 | 1,00 | 1,09 | 1,14 | 1,16 | 1,10 | 0,87 |
| 0,60 | 0,45 | 0,5 | 1,00 | 1,05 | 1,10 | 1,02 | 1,02 | 1,03 |
| 0,60 | 0,45 | 2,0 | 1,00 | 1,07 | 1,11 | 1,08 | 1,06 | 0,96 |
| 0,60 | 0,45 | 4,0 | 1,00 | 1,09 | 1,14 | 1,15 | 1,10 | 0,88 |
| 0,60 | 0,40 | 0,5 | 1,00 | 1,05 | 1,10 | 1,01 | 1,02 | 1,03 |
| 0,60 | 0,40 | 2,0 | 1,00 | 1,07 | 1,11 | 1,07 | 1,05 | 0,97 |
| 0,60 | 0,40 | 4,0 | 1,00 | 1,09 | 1,14 | 1,15 | 1,09 | 0,88 |
| 0,50 | 0,55 | 0,5 | 1,00 | 1,07 | 1,11 | 1,06 | 1,05 | 1,01 |
| 0,50 | 0,55 | 2,0 | 1,00 | 1,12 | 1,16 | 1,14 | 1,10 | 0,97 |
| 0,50 | 0,55 | 4,0 | 1,00 | 1,18 | 1,23 | 1,24 | 1,18 | 0,91 |
| 0,50 | 0,50 | 0,5 | 1,00 | 1,06 | 1,11 | 1,05 | 1,04 | 1,01 |
| 0,50 | 0,50 | 2,0 | 1,00 | 1,11 | 1,16 | 1,13 | 1,10 | 0,97 |
| 0,50 | 0,50 | 4,0 | 1,00 | 1,18 | 1,22 | 1,24 | 1,17 | 0,92 |
| 0,50 | 0,45 | 0,5 | 1,00 | 1,06 | 1,10 | 1,04 | 1,03 | 1,02 |
| 0,50 | 0,45 | 2,0 | 1,00 | 1,11 | 1,15 | 1,12 | 1,09 | 0,98 |
| 0,50 | 0,45 | 4,0 | 1,00 | 1,17 | 1,22 | 1,23 | 1,17 | 0,92 |
| 0,50 | 0,40 | 0,5 | 1,00 | 1,05 | 1,10 | 1,03 | 1,03 | 1,02 |
| 0,50 | 0,40 | 2,0 | 1,00 | 1,10 | 1,15 | 1,11 | 1,08 | 0,98 |
| 0,50 | 0,40 | 4,0 | 1,00 | 1,16 | 1,21 | 1,22 | 1,16 | 0,92 |
| 0,40 | 0,55 | 0,5 | 1,00 | 1,08 | 1,13 | 1,07 | 1,06 | 0,99 |
| 0,40 | 0,55 | 2,0 | 1,00 | 1,16 | 1,21 | 1,18 | 1,14 | 0,98 |
| 0,40 | 0,55 | 4,0 | 1,00 | 1,27 | 1,31 | 1,32 | 1,24 | 0,95 |
| 0,40 | 0,50 | 0,5 | 1,00 | 1,07 | 1,12 | 1,06 | 1,05 | 1,00 |
| 0,40 | 0,50 | 2,0 | 1,00 | 1,15 | 1,20 | 1,17 | 1,13 | 0,98 |
| 0,40 | 0,50 | 4,0 | 1,00 | 1,26 | 1,30 | 1,31 | 1,24 | 0,96 |
| 0,40 | 0,45 | 0,5 | 1,00 | 1,06 | 1,11 | 1,06 | 1,05 | 1,00 |
| 0,40 | 0,45 | 2,0 | 1,00 | 1,14 | 1,19 | 1,16 | 1,13 | 0,99 |
| 0,40 | 0,45 | 4,0 | 1,00 | 1,25 | 1,30 | 1,30 | 1,23 | 0,96 |
| 0,40 | 0,40 | 0,5 | 1,00 | 1,05 | 1,10 | 1,05 | 1,04 | 1,01 |
| 0,40 | 0,40 | 2,0 | 1,00 | 1,13 | 1,18 | 1,15 | 1,12 | 0,99 |
| 0,40 | 0,40 | 4,0 | 1,00 | 1,24 | 1,29 | 1,29 | 1,23 | 0,97 |
| 0,30 | 0,55 | 0,5 | 1,00 | 1,09 | 1,14 | 1,09 | 1,07 | 0,98 |
| 0,30 | 0,55 | 2,0 | 1,00 | 1,20 | 1,25 | 1,22 | 1,17 | 0,99 |
| 0,30 | 0,55 | 4,0 | 1,00 | 1,35 | 1,40 | 1,39 | 1,31 | 1,00 |
| 0,30 | 0,50 | 0,5 | 1,00 | 1,08 | 1,13 | 1,08 | 1,06 | 0,99 |
| 0,30 | 0,50 | 2,0 | 1,00 | 1,19 | 1,24 | 1,21 | 1,17 | 0,99 |
| 0,30 | 0,50 | 4,0 | 1,00 | 1,34 | 1,39 | 1,38 | 1,31 | 1,00 |

В НАБОР

| Средневзвешенный коэффициент отражения | | Индекс противостоящего здания в плане z_1 | Значения коэффициента $K_{зд0}$ при значениях индекса противостоящего здания в разрезе z_2 | | | | | |
|--------------------------------------------------|--------------------------------------------------------|---------------------------------------------|----------------------------------------------------------------------------------------------|------|------|------|------|--------------|
| фасада экранирующего здания $\rho_{\text{ф}}$ | внутренней поверхности помещения $\rho_{\text{ср}}$ | | 0,10 и менее | 0,50 | 1,00 | 1,50 | 2,00 | 4,00 и более |
| 0,30 | 0,45 | 0,5 | 1,00 | 1,07 | 1,11 | 1,07 | 1,06 | 0,99 |
| 0,30 | 0,45 | 2,0 | 1,00 | 1,18 | 1,23 | 1,20 | 1,16 | 1,00 |
| 0,30 | 0,45 | 4,0 | 1,00 | 1,33 | 1,37 | 1,37 | 1,30 | 1,01 |
| 0,30 | 0,40 | 0,5 | 1,00 | 1,05 | 1,10 | 1,06 | 1,05 | 0,99 |
| 0,30 | 0,40 | 2,0 | 1,00 | 1,17 | 1,21 | 1,19 | 1,15 | 1,00 |
| 0,30 | 0,40 | 4,0 | 1,00 | 1,32 | 1,36 | 1,36 | 1,29 | 1,01 |

Примечание – При значениях параметров $\rho_{\text{ф}}$, $\rho_{\text{ср}}$, z_1 , z_2 , $l/d_{\text{п}}$, отличных от приведенных в настоящей таблице, коэффициент $K_{зд0}$ определяют интерполяцией и экстраполяцией.

Таблица А.17 – Коэффициенты пропускания и отражения строительных стекол, применяемых в оконных и дверных блоках¹⁾

| Тип стекла, номинальная толщина | Коэффициент пропускания света τ , отн. ед. | Коэффициент отражения света, отн. ед. | |
|--------------------------------------------------------------------------------------------------------------|-------------------------------------------------|---------------------------------------|-----------------------|
| | | стороной с покрытием | стороной без покрытия |
| Стекло листовое бесцветное ²⁾ | | | |
| Флоат-стекло, 4–12 мм | 0,87–0,91 | – | 0,08 |
| Стекло многослойное бесцветное ³⁾ | | | |
| Флоат-стекло, 6,38–17,52 мм | 0,84–0,89 | – | 0,08 |
| Стекла с покрытиями | | | |
| Стекла с низкоэмиссионными мягкими покрытиями (толщиной 4 мм) ⁴⁾ | 0,76–0,90 | 0,04–0,14 | 0,05–0,18 |
| Стекла с солнцезащитным мягким покрытием для применения в стеклопакете, 6 мм ⁵⁾ | 0,08–0,67 | 0,10–0,51 | 0,10–0,43 |
| Стекла с солнцезащитным твердым покрытием для применения в стеклопакете и моноостеклении, 6 мм ⁶⁾ | 0,08–0,70 | 0,10–0,51 | 0,05–0,41 |
| Стекло листовое, окрашенное в массу, 6 мм ⁷⁾ | 0,35–0,73 | – | 0,05–0,07 |
| Стекла с мультифункциональными мягкими покрытиями, 6 мм ⁵⁾ | 0,16–0,88 | 0,03–0,37 | 0,05–0,47 |

¹⁾ Характеристики остекления (без учета его непрозрачных частей) рассчитывают по ГОСТ EN 410. Для получения характеристик конкретного остекления необходимо использовать данные производителей либо данные измерений в лаборатории.
²⁾ По ГОСТ 111.
³⁾ По ГОСТ 30826.
⁴⁾ По ГОСТ 31364.
⁵⁾ По ГОСТ 33086.
⁶⁾ По ГОСТ 33017.
⁷⁾ По ГОСТ 32997.

Таблица А.18 – Значения коэффициента пропускания наиболее распространенных стеклопакетов τ_1

| Формула остекления | τ_1 , отн. ед. |
|-----------------------------------------------------------------------------------------------------------------------------------------------------------------------------------------------------------------------------------------------------------------------------------------------------------------------------------------------------------------------------------------------------------------------------------------------------------------------------|------------------------|
| 4М1 | 0,90–0,92 |
| 6М1 | 0,88–0,91 |
| 4М1-16-4М1 | 0,81–0,83 |
| 4М1-16-4М1-16-4М1 | 0,74–0,76 |
| 6М1-16-4М1-12-4М1 | 0,73 |
| 4К | 0,81; 0,82 |
| 4М1-16Ar-К4 | 0,74; 0,75 |
| 4М1-16Ar-К6 | 0,73 |
| 4К-16-4М1-16-К4 | 0,63 |
| 6СК-16-6М1 | 0,60 |
| 6СК-16-К6 | 0,56 |
| 6СК-16-И6 | 0,58 |
| 6СК-16-4М1-12-4М1 | 0,56 |
| 4М1-16-И4 | 0,70; 0,78; 0,80; 0,81 |
| 4М1-16-И6 | 0,77 |
| 4И-16-4М1-16-И4 | 0,56; 0,71–0,74 |
| 4М1-12-4М1-12-И4 | 0,73 |
| 4И-12-4М1-12-И4 | 0,55; 0,71–0,74 |
| 6И-16-4М1-16-И6 | 0,71 |
| 4СИ-16-4М1 | 0,67; 0,71; 0,75 |
| 6СИ-16-4М1 | 0,40–0,71; 0,74 |
| 6СИ-16-4М1-12-4М1 | 0,36–0,64 |
| <p>Примечания</p> <p>1 Формулы стеклопакетов – в соответствии с ГОСТ 24866.</p> <p>2 СИ – солнцезащитное и низкоэмиссионное И-стекло. СК – солнцезащитное и низкоэмиссионное К-стекло.</p> <p>3 Дискретные и интервальные значения коэффициента светопропускания соответствуют номенклатуре стеклопакетов и обусловлены различиями в светотехнических характеристиках.</p> <p>Расстояние между стеклами в стеклопакете не влияет на светопропускание и указано условно.</p> | |

Таблица А.19 – Значения коэффициента τ_2

| Вид переплета | Значение τ_2 |
|--------------------------------------------------------------------------------|-------------------|
| Переплеты для окон жилых, общественных и вспомогательных зданий: | |
| - деревянные: | |
| - одинарные | 0,8 |
| - спаренные | 0,75 |
| - двойные раздельные | 0,65 |
| - с тройным остеклением | 0,5 |
| - металлические: | |
| - одинарные | 0,9 |
| - спаренные | 0,85 |
| - двойные раздельные | 0,8 |
| - с тройным остеклением | 0,7 |
| Стекложелезобетонные панели с пустотелыми стеклянными блоками при толщине шва: | |


В НАБОР

Продолжение Изменения № 2 к СП 367.1325800.2017

| Вид переплета | Значение τ_2 |
|-----------------|-------------------|
| - 20 мм и менее | 0,9 |
| - более 20 мм | 0,85 |

Примечание – Значения коэффициентов τ_1 и τ_2 для светопропускающего материала и переплетов, не указанных в таблицах А.17 и А.18, следует определять по ГОСТ 26602.4.

Т а б л и ц а А.20 – Значения коэффициентов τ_3 , учитывающего потери света в несущих конструкциях, и τ_4 , учитывающего потери света в солнцезащитных устройствах

| Несущие конструкции покрытий | Коэффициент τ_3 , учитывающий потери света в несущих конструкциях | Солнцезащитные устройства, изделия и материалы | Коэффициент τ_4 , учитывающий потери света в солнцезащитных устройствах |
|------------------------------------------|------------------------------------------------------------------------|--------------------------------------------------------------------------------------------------------------------------------------|--------------------------------------------------------------------------------------|
| Стальные фермы | 0,9 | Убирающиеся регулируемые жалюзи и шторы (межстекольные, внутренние, наружные) | 1,0 |
| Железобетонные и деревянные фермы и арки | 0,8 | Стационарные жалюзи и экраны с защитным углом не более 45° при расположении пластин жалюзи или экранов от угла 90° к плоскости окна: |  |
| | | - горизонтальные - вертикальные | |

Т а б л и ц а А.21 – Значения коэффициента K , учитывающего потери света в помещениях с балконами

| Глубина помещения, м | Точка нормирования в помещении | Значения K для помещения с балконом глубиной, м | | | | | |
|----------------------|--------------------------------|---------------------------------------------------|------|------|------|------|------|
| | | 0,50 | 1,00 | 1,50 | 2,00 | 2,50 | 3,00 |
| 3,00 | В центре | 0,90 | 0,70 | 0,56 | 0,46 | 0,40 | 0,36 |
| | 1 м от стены | 0,91 | 0,78 | 0,67 | 0,55 | 0,50 | 0,47 |
| 4,50 | В центре | 0,88 | 0,70 | 0,56 | 0,48 | 0,42 | 0,38 |
| | 1 м от стены | 0,90 | 0,78 | 0,69 | 0,59 | 0,54 | 0,52 |
| 6,00 | В центре | 0,88 | 0,71 | 0,58 | 0,50 | 0,44 | 0,39 |
| | 1 м от стены | 0,90 | 0,79 | 0,70 | 0,61 | 0,56 | 0,53 |

Примечание – Значение коэффициента K для помещений с другой глубиной следует принимать по интерполяции и экстраполяции.

В НАБОР

Продолжение Изменения № 2 к СП 367.1325800.2017

Таблица А.22 – Значения коэффициента K , учитывающего потери света в помещениях с лоджиями

| Глубина помещения, м | Точка нормирования в помещении | Значения K для помещения с лоджией глубиной, м | | | | | |
|----------------------|--------------------------------|--------------------------------------------------|------|------|------|------|------|
| | | 0,50 | 1,00 | 1,50 | 2,00 | 2,50 | 3,00 |
| 3,00 | В центре | 0,84 | 0,66 | 0,48 | 0,33 | 0,25 | 0,18 |
| | 1 м от стены | 0,94 | 0,70 | 0,54 | 0,41 | 0,31 | 0,25 |
| 4,50 | В центре | 0,86 | 0,70 | 0,54 | 0,38 | 0,30 | 0,24 |
| | 1 м от стены | 0,95 | 0,75 | 0,62 | 0,49 | 0,39 | 0,32 |
| 6,00 | В центре | 0,86 | 0,72 | 0,56 | 0,42 | 0,32 | 0,26 |
| | 1 м от стены | 0,94 | 0,77 | 0,65 | 0,54 | 0,45 | 0,38 |

Примечание – Значение коэффициента K для помещений с другой глубиной следует принимать по интерполяции и экстраполяции.

Таблица А.23 – Значения коэффициента K , учитывающего потери света в помещениях с горизонтальными козырьками

| Глубина помещения, м | Точка нормирования в помещении | Значения K для помещения с горизонтальным козырьком глубиной, м | | | | | |
|----------------------|--------------------------------|-------------------------------------------------------------------|------|------|------|------|------|
| | | 0,50 | 1,00 | 1,50 | 2,00 | 2,50 | 3,00 |
| 3,00 | В центре | 0,88 | 0,68 | 0,54 | 0,42 | 0,35 | 0,29 |
| | 1 м от стены | 0,89 | 0,70 | 0,60 | 0,49 | 0,42 | 0,36 |
| 4,50 | В центре | 0,89 | 0,70 | 0,56 | 0,46 | 0,38 | 0,31 |
| | 1 м от стены | 0,93 | 0,74 | 0,66 | 0,55 | 0,49 | 0,42 |
| 6,00 | В центре | 0,89 | 0,71 | 0,58 | 0,48 | 0,41 | 0,34 |
| | 1 м от стены | 0,93 | 0,76 | 0,66 | 0,58 | 0,52 | 0,46 |

Примечание – Значение коэффициента K для помещений с другой глубиной следует принимать по интерполяции и экстраполяции.

Таблица А.24 – Значения коэффициента K , учитывающего потери света в помещениях с вертикальными экранами

| Глубина помещения, м | Точка нормирования в помещении | Значения K для помещения с вертикальным экраном глубиной, м | | |
|----------------------|--------------------------------|---------------------------------------------------------------|------|------|
| | | 1,00 | 2,00 | 3,00 |
| 3,00 | В центре | 0,96 | 0,94 | 0,93 |
| | 1 м от стены | 0,97 | 0,96 | 0,94 |
| 4,50 | В центре | 0,94 | 0,92 | 0,91 |
| | 1 м от стены | 0,97 | 0,95 | 0,94 |
| 6,00 | В центре | 0,96 | 0,94 | 0,92 |
| | 1 м от стены | 0,98 | 0,96 | 0,94 |

Примечание – Значение коэффициента K для помещений с другой глубиной следует принимать по интерполяции и экстраполяции.

Таблица А.25 – Значения коэффициента r_2

| Отношение высоты помещения, принимае- мой от УРП до нижней границы остекления, h_{ϕ} к ширине пролета l_1 | Средневзвешенный коэффициент отражения пола, стен и потолка | | | | | | | | | | | |
|---------------------------------------------------------------------------------------------------------------------------------------------|-------------------------------------------------------------|------|-------------------|--------------------------|------|-------------------|--------------------------|------|-------------------|--------------------------|-----|-------------------|
| | $\rho_{\text{ср}} = 0,55$ | | | $\rho_{\text{ср}} = 0,5$ | | | $\rho_{\text{ср}} = 0,4$ | | | $\rho_{\text{ср}} = 0,3$ | | |
| | Число пролетов | | | | | | | | | | | |
| | 1 | 2 | 3 и бо- лее | 1 | 2 | 3 и бо- лее | 1 | 2 | 3 и бо- лее | 1 | 2 | 3 и бо- лее |
| 2 | 1,75 | 1,55 | 1,18 | 1,7 | 1,5 | 1,15 | 1,6 | 1,4 | 1,1 | 1,4 | 1,1 | 1,05 |
| 1 | 1,55 | 1,45 | 1,18 | 1,5 | 1,4 | 1,15 | 1,4 | 1,3 | 1,1 | 1,3 | 1,1 | 1,05 |
| 0,75 | 1,50 | 1,4 | 1,18 | 1,45 | 1,35 | 1,15 | 1,35 | 1,25 | 1,1 | 1,25 | 1,1 | 1,05 |
| 0,5 | 1,45 | 1,35 | 1,18 | 1,4 | 1,3 | 1,15 | 1,3 | 1,2 | 1,1 | 1,2 | 1,1 | 1,05 |
| 0,25 | 1,40 | 1,30 | 1,18 | 1,35 | 1,25 | 1,15 | 1,25 | 1,15 | 1,1 | 1,15 | 1,1 | 1,05 |

Примечания
 1 В помещениях с зенитными и шахтными фонарями h_{ϕ} соответствует h_p (расчетная высота от УРП до нижней грани остекления фонаря).
 2 В однопролетных помещениях ширина пролета l_1 соответствует ширине помещения b_p .

Таблица А.26 – Значения коэффициента k_{ϕ}

| Тип фонаря | Значение k_{ϕ} |
|----------------------------------------------------------------|---------------------|
| Световые проемы в плоскости покрытия, ленточные | 1,0 |
| Световые проемы в плоскости покрытия, штучные | 1,1 |
| Фонари с наклонным двусторонним остеклением (трапециевидные) | 1,15 |
| Фонари с вертикальным двусторонним остеклением (прямоугольные) | 1,2 |
| Шедовые фонари с односторонним наклонным остеклением | 1,3 |
| Шедовые фонари с односторонним вертикальным остеклением | 1,4 |

Геометрический КЕО ε_{vi} в какой-либо точке помещения от неба МКО при верхнем освещении определяют по формуле

$$\varepsilon_{vi} = 0,01(n_1 n_2)_i, \quad (\text{A.12})$$

где n_1 – число лучей по графику I, проходящих от неба в расчетную точку через i -й световой проем на поперечном разрезе помещения;

n_2 – число лучей по графику II, проходящих от неба в расчетную точку через i -й световой проем на продольном разрезе помещения.

А.3 Параметры для различных схем застройки

А.3.1 В случае, когда проектируемое здание и экранирующее его здание расположены не параллельно (т. е. отличаются по схеме застройки от схемы № 1), их необходимо привести к эквивалентной схеме с параллельным расположением по схеме № 1. Ниже рассмотрены наиболее часто встречающиеся схемы застройки и приведение их к схеме № 1 с эквивалентными параметрами. По параметрам схем, приведенным к параметрам схемы № 1, определяют значения средней относительной яркости экранирующих зданий и коэффициент $K_{зд}$, учитывающий изменение внутренней отраженной составляющей КЕО в помещении при наличии противостоящих зданий.

А.3.2 Схема № 2. Противостоящее (экранирующее) здание расположено под углом к исследуемому зданию (рисунки А.2, А.3)

1 Накладывают график П для расчета КЕО на план исследуемого помещения (рисунок А.3) таким образом, чтобы его вертикальная ось совместилась с характерным разрезом помещения, а полюс графика 0 совместился с расчетной точкой С. Подсчитывают по графику П число лучей, проходящих от части фасада (участок I–II) экранирующего здания через световой проем.

2 Отмечают точку C_1 , расположенную на середине участка I–II экранирующего здания.

3 Строят условную затеняющую плоскость в плане, равную проекции плоскости фасада экранирующего здания на плоскость, параллельную фасаду исследуемого здания (помещения) и проходящую через точку C_1 .

4 Определяют расстояние l_3 от фасада исследуемого здания (помещения) до условной затеняющей плоскости (рисунок А.2).

5 Определяют расчетную высоту H_p от уровня пола исследуемого помещения до верха парапета или других затеняющих элементов экранирующего здания.

6 Вычисляют отношение расстояния между исследуемым помещением и условной затеняющей плоскостью к длине условной затеняющей плоскости l_3/a_3 .

7 Вычисляют отношение длины условной затеняющей плоскости к

расчетной высоте экранирующего здания a_3/H_p .

8 Определяют значение средней относительной яркости фасада экранирующего здания по таблицам А.2–А.6.

9 Вычисляют индекс экранирующего здания в плане z_1 по формуле

$$z_1 = \frac{a_3(l'_T + \Delta_{CT})}{(l_3 + l'_T + \Delta_{CT})b_0}. \quad (\text{A.13})$$

10 Вычисляют индекс экранирующего здания в разрезе z_2 по формуле

$$z_2 = \frac{H_p(l_T + \Delta_{CT})}{(l_3 + l_T + \Delta_{CT})(h_0 + h_{пд})}. \quad (\text{A.14})$$

11 Определяют значение коэффициента $K_{зд0}$ по таблице А.13.

А.3.3 Схема № 3. Т-образное расположение зданий (рисунки А.4, А.5)

Определение параметров застройки по схеме № 3 аналогично определению параметров застройки по схеме № 2, за исключением пункта 3. Строят условную затеняющую плоскость в плане, равную проекции видимой из расчетной точки части экранирующего здания, находящегося в пределах светового угла (участок II–III), на плоскость, параллельную плоскости фасада исследуемого здания (помещения) и проходящую через точку C_1 (середина участка I–II).

А.3.4 Схема № 4. Экранирующее здание со сложной конфигурацией в плане (рисунок А.6)

1 Вычисляют расстояние $C-C_1$ от исследуемого помещения до условной затеняющей плоскости, параллельной плоскости фасада, по формуле

$$l_3 = \frac{l_1 a_1 + l_2 a_2}{a_1 + a_2}, \quad (\text{A.15})$$

где l_1 и l_2 – расстояния от исследуемого помещения до части длины здания a_1 и до части длины здания a_2 .

2 Строят лучи $C-I$ и $C-II$, соединяющие расчетную точку в плане с крайними точками горизонтальной проекции плоскости фасада экранирующего здания.

3 Определяют длину условной затеняющей плоскости a_3 , равную отрезку I–II по рисунку А.6.

4 Вычисляют параметры застройки для схемы № 4 применительно к условной затеняющей плоскости длиной a_3 и расстоянием l_3 и суммарной шириной окон, включая простенки $b_{с.п.}$, по формулам (А.13) и (А.14).

А.3.5 Схема № 5. Экранирующее здание со сложной конфигурацией по высоте (рисунок А.7)

1 Вычисляют параметры застройки по формулам:

$$z_{11} = \frac{a_1(l_T + \Delta_{CT})}{(l_1 + l'_T + \Delta_{CT})b_0}, \quad (\text{A.16})$$

$$z_{12} = \frac{a_2(l_T + \Delta_{CT})}{(l_2 + l'_T + \Delta_{CT})b_0}, \quad (\text{A.17})$$

$$z_{21} = \frac{H_{p1}(l_T + \Delta_{CT})}{(l_1 + l_T + \Delta_{CT})(h_0 + h_{нд})}, \quad (\text{A.18})$$

$$z_{22} = \frac{H_{p2}(l_T + \Delta_{CT})}{(l_2 + l_T + \Delta_{CT})(h_0 + h_{нд})}. \quad (\text{A.19})$$

2 Определяют коэффициенты $b_{\phi 1}$, $K_{зд1}$ для части здания высотой H_{p1} и длиной l_1 и коэффициенты $b_{\phi 2}$, $K_{зд2}$ для части здания высотой H_{p2} и длиной l_2 по таблицам А.2–А.6 и А.12–А.16.

3 Определяют произведение средневзвешенных коэффициентов b_{ϕ} и $K_{зд}$ от всего экранирующего здания по формуле

$$b_{\phi}K_{зд} = \frac{b_{\phi 1}K_{зд1}\varepsilon_{зд1} + b_{\phi 2}K_{зд2}\varepsilon_{зд2}}{\varepsilon_{зд1} + \varepsilon_{зд2}}, \quad (\text{A.20})$$

где $b_{\phi 1}$ и $b_{\phi 2}$ – средняя относительная яркость фасадов отдельных частей здания;

$K_{зд1}$ и $K_{зд2}$ – коэффициенты, учитывающие изменения внутренней отраженной составляющей КЕО в помещении при наличии каждой из отдельных частей экранирующего здания;

$\varepsilon_{зд1}$ и $\varepsilon_{зд2}$ – геометрические коэффициенты участков фасадов экранирующих частей зданий, видимых из расчетной точки через световой проем.

А.3.6 Схема № 6. Смешанное расположение экранирующих зданий (рисунок А.8)

1 Строят условные затеняющие плоскости для экранирующих зданий a_1 и a_4 .

2 Вычисляют параметры застройки z_1 и z_2 применительно к каждому экранирующему зданию a_2 и a_3 и каждой условной затеняющей плоскости зданий a_1 и a_4 .

3 Определяют коэффициенты $b_{\phi 1}$, $b_{\phi 2}$, $b_{\phi 3}$, $b_{\phi 4}$ и коэффициенты $K_{зд1}$, $K_{зд2}$, $K_{зд3}$, $K_{зд4}$ для каждого из экранирующих зданий a_2 и a_3 и для каждой из условных

затеняющих плоскостей зданий a_1 и a_4 в отдельности.

4 Определяют сумму произведений значений геометрических КЕО $\varepsilon_{зди}$ на коэффициенты $b_{\phi i}$ и $K_{зди}$ по формуле

$$\sum_{i=1}^4 (\varepsilon_{зди} b_{\phi i} K_{зди}) = \varepsilon_{зд1} b_{\phi 1} K_{зд1} + \varepsilon_{зд2} b_{\phi 2} K_{зд2} + \varepsilon_{зд3} b_{\phi 3} K_{зд3} + \varepsilon_{зд4} b_{\phi 4} K_{зд4}, \quad (\text{A.21})$$

где $b_{\phi 1}$, $b_{\phi 2}$, $b_{\phi 3}$ и $b_{\phi 4}$ – средняя относительная яркость фасадов каждого из отдельных экранирующих зданий;

$K_{зд1}$, $K_{зд2}$, $K_{зд3}$, $K_{зд4}$ – коэффициенты, учитывающие изменения внутренней отраженной составляющей КЕО в помещении при наличии каждого из отдельных экранирующих зданий;

$\varepsilon_{зд1}$, $\varepsilon_{зд2}$, $\varepsilon_{зд3}$, $\varepsilon_{зд4}$ – геометрические коэффициенты естественного освещения участков фасадов экранирующих зданий, видимых из расчетной точки через световой проем.

А.3.7 Схема № 7. П-образная застройка с расчетным зданием, расположенным между двух параллельных зданий (рисунок А.9)

Определение параметров застройки по схеме № 7 аналогично определению параметров застройки по схеме № 2, за исключением пункта 3. Строят условную затеняющую плоскость в плане, равную проекции видимой из расчетной точки части каждого экранирующего здания, находящегося в пределах светового угла (участок II–III), на плоскость, параллельную плоскости фасада исследуемого здания (помещения) и проходящую через точку C_1 (середина участка I–II), как на рисунке А.7.

Вычисляют параметры застройки z_1 и z_2 применительно к каждому экранирующему зданию.

А.3.8 Схема № 8. П-образная застройка с расчетной точкой в одном из параллельных зданий (рисунок А.10)

Определение параметров застройки по схеме № 8 аналогично определению параметров застройки по схеме № 2, за исключением пункта 3 для параллельного здания. Строят условную затеняющую плоскость в плане, равную проекции

видимой из расчетной точки части каждого экранирующего здания, находящегося в пределах светового угла (участок II–III), на плоскость, параллельную плоскости фасада исследуемого здания (помещения) и проходящую через точку C_1 (середина участка I–II), как на рисунке А.7.

Вычисляют параметры застройки z_1 и z_2 применительно к каждому экранирующему зданию.

А.3.9 Схема № 9. Застройки в форме замкнутого двора (рисунок А.11)

Определение параметров застройки по схеме № 9 аналогично определению параметров застройки по схеме № 2, за исключением пункта 3 для параллельного здания. Строят условную затеняющую плоскость в плане, равную проекции видимой из расчетной точки части каждого экранирующего здания, находящегося в пределах светового угла (участок II–III), на плоскость, параллельную плоскости фасада исследуемого здания (помещения) и проходящую через точку C_1 (середина участка I–II), как на рисунке А.7.

Вычисляют параметры застройки z_1 и z_2 применительно к каждому экранирующему зданию.».

Дополнить приложением В в следующей редакции:

«Приложение В

Расчет КЕО от световодов естественного света инженерным методом

В.1 В настоящем разделе приведен пример расчета КЕО от световодов в общественном помещении. Проектируемое помещение имеет высоту потолка 2,80 м и размеры в плане 6×6 м. В нем расположены четыре световода естественного света диаметром 700 мм в соответствии с рисунком В.1.

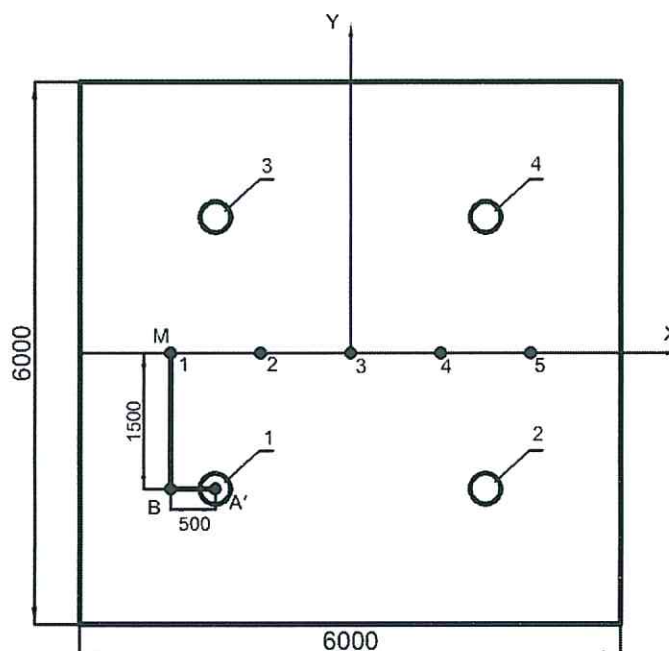


Рисунок В.1 – Схема расположения рассеивателей световодов естественного света на плане помещения

Применяемые световоды имеют следующие характеристики:

$r = 0,35$ м – радиус цилиндрической световой шахты;

$h = 4,5$ м – высота световой шахты;

$\rho = 0,92$ – коэффициент отражения зеркального покрытия световодной трубы (по данным производителя);

$\tau_{11} = 0,89$ – коэффициент светопропускания входного устройства световода (по данным производителя);

$\tau_{12} = 0,83$ – коэффициент светопропускания выходного рассеивателя световода (по данным производителя).

В.2 Для круглого или прямоугольного диффузного излучателя геометрический КЕО $\varepsilon_{\text{св}}$, в процентах, в расчетной точке помещения определяют по формуле

$$\varepsilon_{\text{св}} = K_{\text{по}} [(180 - \alpha)/180] \sin^2(\theta/2) \cdot 100, \quad (\text{В.1})$$

где θ – угол между осью световода и световым лучом (угол входа света) согласно рисунку 8.16;

α – угол отклонения оси трубы от зенита.

В.3 Общий коэффициент передачи светового потока световодом определяют по формуле

$$K_{\text{по}} = \tau_{11} \cdot \tau_{12} \cdot K_{\text{п}} = 0,89 \cdot 0,83 \cdot 0,6 = 0,44. \quad (\text{В.2})$$

Коэффициент передачи светового потока $K_{\text{п}}$ зависит от коэффициента отражения зеркального покрытия световодной трубы ρ и от отношения длины световода L к его диаметру D и определяется по таблице 8.2. В данном случае отношение $L/D = 6,43 - K_{\text{п}} = 0,6$.

В.4 По формуле (В.1) находят значение геометрического КЕО $\varepsilon_{\text{св}}$ от световодов в расчетной точке номер 1:

$$\varepsilon_{\text{св1-1}} = 0,44[(180 - 0)/180] \cdot \sin^2(12,42/2) \cdot 100 = 0,51. \quad (\text{В.3})$$

Аналогично определяют значения геометрического КЕО от световодов в точках с номерами 2, 3 и 4: $\varepsilon_{\text{св2-1}} = 0,23$; $\varepsilon_{\text{св3-1}} = 0,51$; $\varepsilon_{\text{св4-1}} = 0,23$.

Далее находят суммарное значение геометрического КЕО от системы четырех световодов в расчетной точке номер 1 помещения.

Повторяют вычисления для расчетных точек с номерами 2, 3, 4, 5: $\Sigma\varepsilon_{\text{св2}} = 1,66$; $\Sigma\varepsilon_{\text{св3}} = 1,72$; $\Sigma\varepsilon_{\text{св4}} = 1,66$; $\Sigma\varepsilon_{\text{св5}} = 1,48$.

В.5 Среднее значение геометрического КЕО от системы световодов на линии пересечения условной рабочей поверхности (0,8 м от пола) и плоскости характерного вертикального разреза помещения определяют по формуле

$$\varepsilon_{\text{св.ср}} = (\Sigma\varepsilon_{\text{св1}} + \Sigma\varepsilon_{\text{св2}} + \Sigma\varepsilon_{\text{св3}} + \Sigma\varepsilon_{\text{св4}} + \Sigma\varepsilon_{\text{св5}} + \dots + \Sigma\varepsilon_{\text{свN}})/N = 1,60. \quad (\text{В.4})$$

Коэффициент естественной освещенности в расчетной точке $e_{\text{р}}^{\text{в}}$ определяют по формуле

$$e_{p}^B = C_N \cdot [\sum \varepsilon_{св} + \varepsilon_{св.ср} \cdot (r_2 - 1)] \cdot MF, \quad (B.5)$$

$$e_{p1}^B = 1 \cdot [1,48 + 1,60 \cdot (1,40 - 1)] \cdot 0,67 = 1,42. \quad (B.6)$$

Коэффициент светового климата для Московской области принимают по таблице 5.1 СП 52.13330.2016 $C_N = 1$. Коэффициент r_2 принимают по таблице А.25 настоящего свода правил.

Повторяют вычисления для расчетных точек с номерами 2, 3, 4, 5: $e_{p2}^B = 1,54$; $e_{p3}^B = 1,58$; $e_{p4}^B = 1,54$; $e_{p5}^B = 1,42$.

В.6 Среднее значение КЕО $e_{ср}$ при верхнем или комбинированном освещении определяют по формуле

$$e_{ср} = \frac{1}{N-1} \left(\frac{e_1 + e_N}{2} + \sum_{i=2}^{N-1} e_i \right) = \frac{1}{5-1} \left(\frac{1,42 + 1,42}{2} + 4,66 \right) = 1,52. \quad (B.7)$$

».

Библиография. Исключить.

Ключевые слова. Изложить в новой редакции:

«Ключевые слова: жилые и общественные здания, естественное освещение, совмещенное освещение, проектирование, световоды естественного света».